

АЗЭРБАЙЧАН ССР ЕЛМЛЭР АКАДЕМИЯСЫ
АКАДЕМИЯ НАУК АЗЕРБАЙДЖАНСКОЙ ССР

МЭРҮЗЭЛЭР ДОКЛАДЫ

ТОМ XXII ЧИЛД

12

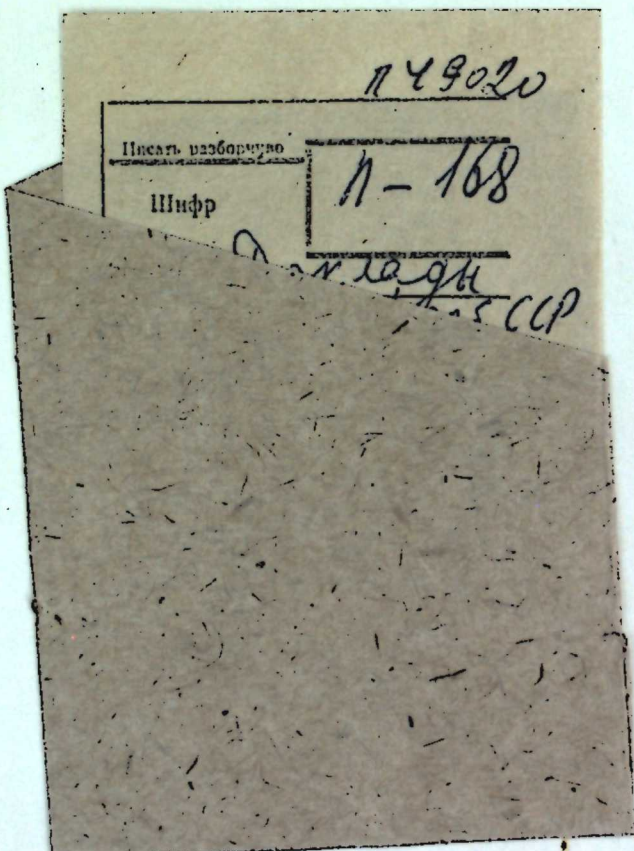
АЗЭРБАЙЧАН ССР ЕЛМЛЭР АКАДЕМИЯСЫ НЭШРИЈАТЫ
ИЗДАТЕЛЬСТВО АКАДЕМИИ НАУК АЗЕРБАЙДЖАНСКОЙ ССР
Бакы—1966—Баку

А З Э Р Б А Й Ч А Н С С Р Е Л М Л Э Р А К А Д Е М И Я С А
АКАДЕМИЯ НАУК АЗЕРБАЙДЖАНСКОЙ ССР

МЭ'РУЗЭЛЭР ДОКЛАДЫ

ТОМ XXII ЧИЛД

№ 12



А З Э Р Б А Й Ч А Н С С Р Е Л М Л Э Р А К А Д Е М И Я С А
ИЗДАТЕЛЬСТВО АКАДЕМИИ НАУК АЗЕРБАЙДЖАНСКОЙ ССР
БАКУ—1966—БАКУ

ДОБЫЧА НЕФТИ

С. А. КУНДИН, А. К. КУРБАНОВ, Г. Л. КОРНИЕНКО, А. М. НАГИЕВ

**ЭКСПЕРИМЕНТАЛЬНОЕ ИЗУЧЕНИЕ ПЕРИОДИЧЕСКОЙ
ЭКСПЛУАТАЦИИ НАКЛОННОГО ПЛАСТА
НА ГРАВИТАЦИОННО-ГАЗОВОМ РЕЖИМЕ**

(Представлено академиком АН Азербайджанской ССР З. И. Халиловым)

В настоящей работе изучается процесс, возникающий в наклонном замкнутом нефтяном пласте, при периодической эксплуатации его без поддержания давления.

Проведенные ранее экспериментальные исследования [1] показали, что сила тяжести оказывает существенное влияние на характеристики процесса истощения наклонного пласта. При достаточно медленных темпах истощения в залежи за счет сегрегации образуется вторичная газовая шапка и режим растворенного газа переходит в гравитационно-газовый. Было также установлено, что нефтеотдача наклонного пласта на этом режиме зависит от темпа истощения, с его уменьшением нефтеотдача возрастает и при некотором темпе истощения практически достигает нефтеотдачи, получаемой на газонапорном режиме. В то же время при уменьшении темпа истощения значительно возрастает и срок разработки залежи. Представлялось целесообразным выяснить в экспериментах, можно ли путем периодической эксплуатации залежи уменьшить срок ее разработки, сохранив достигнутый за счет уменьшения темпа истощения прирост в нефтеотдаче. Помимо этой задачи, целью настоящей работы являлось также изучение принципиальных особенностей данного процесса.

Опыты проводились на экспериментальной установке, схема и конструкция которой описаны в работе [4].

Модель пласта представляла собой цилиндрическую трубу длиной 6 м и диаметром 28,8 мм, заполненную несцементированным кварцевым песком проницаемостью 1,75 дарси и пористостью 0,33. Объем пор модели был равен 1350 см³. Модель была установлена под углом 30° к горизонтали.

В качестве модели нефти использовался керосин вязкостью 2,5 сп, с удельным весом 0,833 г/см³ и поверхностным натяжением на границе с газом $\sigma=30$ дин/см. В жидкости был растворен углекислый газ при давлении насыщения 30 ати.

Опыты проводились следующим образом. Модель пласта вакуумировалась и заполнялась вакуумированным керосином, который затем

пЧ9020
Центральная научная
БИБЛИОТЕКА
Академии наук Киргизской ССР

РЕДАКЦИОННАЯ КОЛЛЕГИЯ: З. И. Халилов (главный редактор), Ш. А. Азизбеков, В. Р. Волобуев, Д. М. Гусейнов, И. А. Гусейнов, М. А. Дадашзаде (зам. главного редактора), М. А. Далин, Ч. М. Джуварлы, С. М. Куллев, М. Ф. Нагиев (зам. главного редактора), М. А. Топчибашев, Г. Г. Зейналов (ответственный секретарь).

Адрес: г. Баку, Коммунистическая, 10. Редакция «Докладов Академии наук Азербайджанской ССР».

вытеснялся газированным керосином при давлении большем, чем давление насыщения. Процесс заполнения модели пласта газированной жидкостью считался законченным, когда выходящая из модели пласта жидкость имела тот же газовый фактор, что и жидкость на входе в пласт. После этого из нижней части модели пласта производился периодически отбор жидкости и газа, т. е. некоторое время жидкость и газ отбирались из модели, затем выходной вентиль запирался.

Соотношения между продолжительностью периодов эксплуатации и остановки от опыта к опыту менялись. Продолжительность периода остановки задавалась. Продолжительность же периода эксплуатации определялась величиной газового фактора. Первый период эксплуатации заканчивался в тот момент, когда величина газового фактора начинала заметно превышать начальное газосодержание. В последующих периодах эксплуатация велась до ограниченного значения газового фактора, но их значения несколько превышали значение газового фактора в предыдущий период.

Перепад давления в процессе эксплуатации поддерживался примерно постоянным и менялся от опыта к опыту.

Было проведено две серии опытов с разным перепадом давления в период эксплуатации.

Опыты в каждой серии отличались различной продолжительностью периода остановок.

Оценка соответствующей продолжительности остановок в натуральных условиях производилась по формуле:

$$t_n = t_u \left[\frac{\frac{k \cdot \Delta \gamma \cdot \sin \alpha}{m \cdot \mu_{\text{ж}} \cdot L}}{\frac{k \cdot \Delta \gamma \cdot \sin \alpha}{m \cdot \mu_{\text{ж}} \cdot L}} \right]^m$$

Здесь:

t — продолжительность остановки;

$\Delta \gamma$ — разность удельных весов нефти и газа;

k — проницаемость пласта;

$\mu_{\text{ж}}$ — вязкость жидкости;

L — длина пласта;

m — пористость;

Индекс „ m “ относится к параметрам модели, а индекс „ n “ к параметрам натуры.

Результаты опытов представлены на рис. 1, 2, 3 и 4.

На рис. 1 показана динамика изменения основных характеристик: коэффициента нефтеотдачи η , газового фактора Γ и безразмерного давления $\bar{P} = \frac{P_k}{P_n}$ на контуре пласта в зависимости от времени разработки t при периодической эксплуатации.

Из приведенных графиков видно, что при периодической эксплуатации, как и следовало ожидать, давление уменьшается ступенями: в периоды эксплуатации оно снижается, в периоды остановок или сохраняется неизменным, или же в некоторых периодах несколько возрастает. Интересен характер изменения газового фактора: в периоды эксплуатации он возрастает, а после остановки резко снижается. Это свидетельствует о том, что за время остановки происходит сегрегация — газ вслыхивает в верхнюю часть пласта. На рис. 2 приведены зависимости $\eta(t)$ для двух серий опытов с разным перепадом давле-

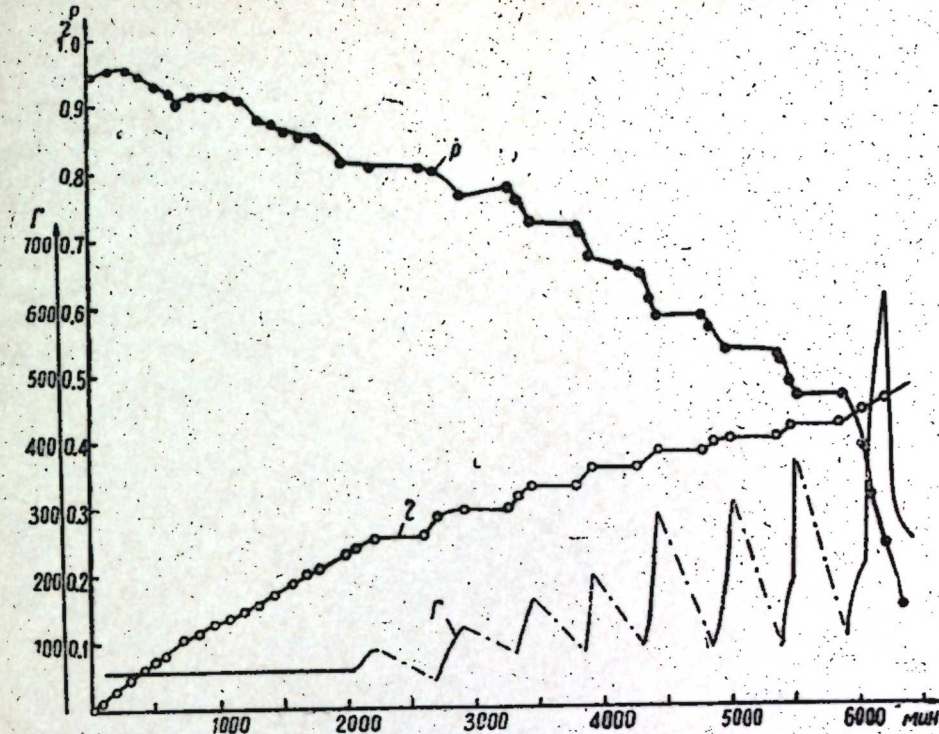


Рис. 1. Периодическая эксплуатация: $\Delta t=6$ ч; $\Delta p=0,25$ атм; $\pi_1=1,3$.

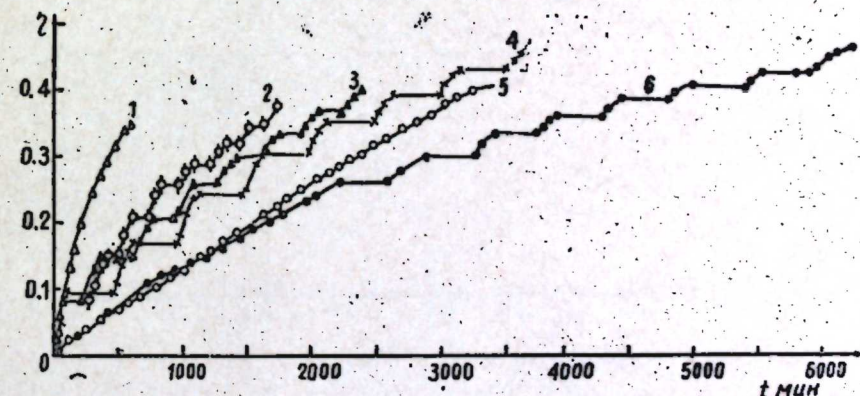


Рис. 2. 1—непрерывная эксплуатация $\Delta t=0$; 2—периодическая эксплуатация $\Delta t=2$ ч; 3—периодическая $\Delta t=3$ ч; 4—периодическая $\Delta t=6$ ч; $\Delta p=0,9$ атм; 5—непрерывная эксплуатация $\pi_1=4,5$; 6—периодическая эксплуатация $\Delta t=6$ ч $\{ \Delta p=0,25 \text{ атм} ; \pi_1=1,3 \}$.

ния в период эксплуатации: в одной серии перепад был равен $\Delta p=0,9$ атм, во второй — $\Delta p=0,25$ атм. При этих перепадах давления критерий $\pi_1 = \frac{\Delta p}{\Delta \gamma \cdot L \cdot \sin \alpha}$, характеризующий отношение гидродинамических сил к силе тяжести, соответственно был равен $\pi_1=4,5$ и $\pi_1=1,3$.

Как отмечалось в работе [1], такие значения π_1 характерны для натурного пласта со следующими параметрами: $L=1000$ м, $\gamma_n=0,8$

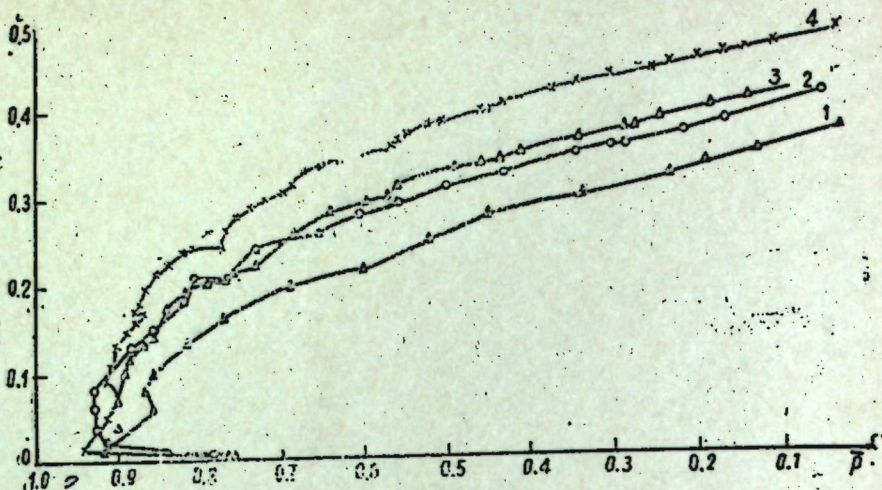


Рис. 3. Влияние продолжительности остановок Δt на нефтеотдачу при периодической эксплуатации. $\Delta p=0,9$ атм; $\pi_1=4,5$; 1— $\Delta t=0$ ч; 2— $\Delta t=2$ ч; 3— $\Delta t=3$ ч; 4— $\Delta t=6$ ч.

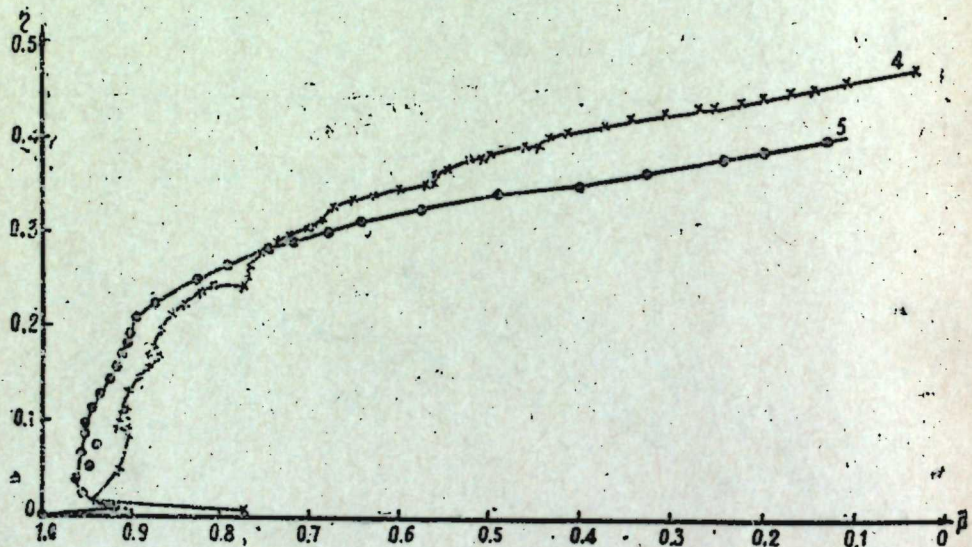


Рис. 4. Сравнение коэффициентов нефтеотдачи при периодической и непрерывной эксплуатации в случае одинакового срока разработки: 4—периодическая эксплуатация $\Delta t=6$ ч; $\Delta p=0,9$ атм; $\pi_1 \approx 4,5$; 5—непрерывная эксплуатация: $\Delta p=0,25$ атм; $\pi_1 \approx 1,3$.

$\gamma_r=0,2$ г/см³, $\alpha=30^\circ$, $\sigma=10$ дин/см, $k=0,25$ дарси, $m=0,2$, $\Delta p=-135$ атм и $\Delta p=40$ атм.

В первой серии опытов ($\pi_1=4,5$) продолжительность периода остановки была равна 0; 2; 3 и 6 час, что составляет соответственно 0; 0,07; 0,075; 0,1 полного срока разработки*.

Для натурного пласта, параметры которого приведены выше, насыщенного нефтью вязкостью $\mu_{\text{ж}}=2,5$ сп, 1 час на модели соответствует примерно 1 месяцу. Следовательно, остановки продолжительностью 2; 3 и 6 ч соответствуют в натуре остановкам в 2; 3 и 6 месяцев.

* За полный срок разработки принято время, в течение которого давление на контуре пласта снижается до 0,1 P_u . Процесс истощения при этом давлении практически прекращается.

Из рис. 2 видно, что при эксплуатации с одинаковыми перепадами давления периодическая эксплуатация дает больший коэффициент нефтеотдачи по сравнению с непрерывной. Причем, чем больше продолжительность периода остановок, тем больше прирост коэффициента нефтеотдачи. Коэффициенты конечной нефтеотдачи (при $p=0,1 P_u$) при продолжительности остановок, равных 0; 2; 3 и 6 час, соответственно составляют 0,344; 0,39; 0,42; 0,458.

Этот вывод наиболее наглядно подтверждается рис. 3. Все зависимости $\eta(\bar{p})$, полученные при периодической эксплуатации (кривые 2, 3, 4), проходят выше, чем зависимость $\eta(p)$ непрерывного опыта (кривая 1). Наибольший прирост в нефтеотдаче достигнут с наиболее длительными остановками (кривая 4). Такой же результат получен и в опытах с меньшим перепадом давления.

Увеличение нефтеотдачи при периодической эксплуатации объясняется, очевидно, тем, что в периоды остановок газ частично всплыает вверх и в скважину попадает меньший объем газа, чем при непрерывной эксплуатации с тем же перепадом давления, т. е. при периодической эксплуатации пластовая энергия расходуется более производительно. Однако при периодической эксплуатации существенно возрастает полный срок разработки. Так, сравнивая опыты 1 и 4 (рис. 2) видим, что продолжительность опыта с остановками в 6 раз превышает продолжительность непрерывного опыта. Поэтому интересно сравнить нефтеотдачу опытов 4 и 5 (рис. 2), продолжительность которых примерно одинакова. В опыте 4 производилась периодическая эксплуатация с остановками длительностью 6 час.

Перепад давления в период эксплуатации был равен $\Delta p=0,9$ атм. В опыте 5 эксплуатация велась непрерывно с перепадом давления $\Delta p=0,25$ атм, меньшим, чем в опыте 4.

Как видно из рис. 2 и 4 нефтеотдача в опыте 4 оказалась несколько выше, чем в опыте 5. Коэффициенты конечной нефтеотдачи в опытах 4 и 5 соответственно составляют 0,458 и 0,40.

Таким образом при одном и том же сроке разработки периодическая эксплуатация с большим перепадом давления дает несколько больший коэффициент нефтеотдачи, чем непрерывная эксплуатация с меньшим перепадом давления.

Вывод

В опытах установлено, что при эксплуатации с одинаковыми перепадами давления периодическая эксплуатация дает больший коэффициент нефтеотдачи по сравнению с непрерывной. Причем, чем больше продолжительность периода остановок, тем больше прирост в нефтеотдаче. Однако при периодической эксплуатации существенно возрастает полный срок разработки.

При одном и том же сроке разработки периодическая эксплуатация также дает больший коэффициент нефтеотдачи, чем непрерывная.

ЛИТЕРАТУРА

1. Корниенко Г. Л., Кундин С. А., Курбанов А. К., Нагиев А. М. Экспериментальные исследования истощения наклонного пласта на гравитационно газовом режиме. НТС по добыче нефти ВНИИ, вып. 30, 1966.
2. Пирсон С. Д. Учение о нефтяном пласте. Гостоптехиздат, 1961.
3. Справочник по эксплуатации нефтяных месторождений, т. 2 (перевод с англ.). Изд-во "Недра", 1965.
4. Аллахвердиева Р. Г., Корниенко Г. Л., Кундин С. А., Суворов Н. И. Экспериментальное изучение вытеснения нефти газом в условиях органической растворимости. Ежегодник, ВНИИ, 1965. Изд-во "Недра".

Институт проблем глубинных нефтегазовых месторождений

Поступило 15.VII 1966

ХУЛАСӘ

Мәгаләдә майл лајын түкәнмәјә ишләмәси заманы һәлл олмуш газ режиминин сегрегасија тә'сири нәтижесинде гравитасија-газ режимине кечмәси вә мұхтәлиф истисмар шәрайтләринде дөври истисмарынын лајын нефтвәрмә әмсалына вә башга истисмар көстәричиләрине тә'сири верилмишdir.

Тәчрүбә нәтижесинде мүәлжән олуныштур ки, дөври истисмар лајын нефтвәрмә әмсалынын артмасына сәбәп олур.

Мәгаләдә вәрилмиш тәчрүбә нәтижеләриндән дојма тәэжигиндән ашагы тәэжигләрдә нефт вә нефт-газ жатагларынын истисмары заманы истифадә олуна биләр.

МАТЕМАТИКА

А. С. ДЖАФАРОВ, Л. Г. ЛАБСКЕР

АСИМПТОТИЧЕСКИЙ ВИД РАВНОМЕРНОЙ
АППРОКСИМАЦИИ АБСТРАКТНЫХ ФУНКЦИЙ ОДНИМ
СЕМЕЙСТВОМ ЛИНЕЙНЫХ ИНТЕГРАЛЬНЫХ ОПЕРАТОРОВ

(Представлено академиком АН Азербайджанской ССР З. И. Халиловым)

В данной статье рассматривается вопрос об асимптотике равномерного приближения в сильной топологии банахова пространства B абстрактных функций $f(x)$, определенных на вещественной оси и со значениями в B , посредством линейных интегральных операторов из определенного семейства (см. ниже) при наличии некоторых сильно-дифференциальных свойств у $f(x)$. Аппроксимируемые функции при этом, вообще говоря, неограничены на вещественной оси по норме пространства B .

Пусть \mathbb{N} — натуральное число; $2m (m = m_r > 0)$ — наибольшее четное число, строго меньшее r ; n — целое такое, что $0 \leq n \leq m$; Λ — некоторое множество на вещественной оси; λ_0 — предельная точка (конечная или бесконечная) множества Λ ; $\lambda \in \Lambda$; $p_{k,\lambda}^{(i)} = p_k^{(i)}(\lambda)$, $q_{k,\lambda}^{(i)} = q_k^{(i)}(\lambda)$, $\lambda \in \Lambda$, $i = \overline{0, n}$, $k = 1, 2, \dots$ — числовые функции, обладающие свойствами:

A_1) $\sum_{k=1}^{\infty} p_{k,\lambda}^{(0)} = 1$ для каждого $\lambda \in \Lambda$, A_2) $\sum_{k=1}^{\infty} |p_{k,\lambda}^{(i)}| \leq M$, где M не зависит ни от $\lambda \in \Lambda$, ни от $i = \overline{0, n}$, A_3) $0 \leq q_{k,\lambda}^{(i)} \leq q$, где q не зависит ни от $\lambda \in \Lambda$, ни от $i = \overline{0, n}$, ни от $k = 1, 2, \dots$

$$A_4) \quad \sum_{l=0}^i \frac{R_{\lambda}^{(2i)}(i-l)}{(2l)!} = 0, \quad i = \overline{1, n}, \quad (1)$$

$$\sum_{l=i-n}^1 \frac{R_{\lambda}^{(2i)}(i-l)}{(2l)!} = 0, \quad i = \overline{n+1, m^*}, \quad (2)$$

* При $n=0$ соотношение (1) в свойстве A_4 отпадает, а соотношение (2) превращается в следующее: $R_{\lambda}^{(2i)}(0)/(2i)! = 0$, $i = \overline{1, m}$, эквивалентное соотношению: $R_{\lambda}^{(2i)}(0) = 0$, $i = \overline{1, m}$.
При $n=m$ отпадает соотношение (2).

где

$$R_\lambda^{[s]}(i) = \sum_{k=1}^{\infty} p_{k,\lambda}^{[i]} (q_{k,\lambda}^{[i]})^s,$$

$$\begin{aligned} A_5) \sum_{i=0}^n \frac{R_\lambda^{[r]}(i)}{(r-2i)!} &\neq 0, \quad A_6) \sum_{i=0}^n \frac{1}{(r-2i)!} \sum_{k=1}^{\infty} |p_{k,\lambda}^{[i]}| (q_{k,\lambda}^{[i]})^r = \\ &= 0 \left(\sum_{i=0}^n \frac{R_\lambda^{[r]}(i)}{(r-2i)!} \right), \quad \lambda \rightarrow \lambda_0; \end{aligned}$$

$K_\lambda(t)$ —определенная на $(-\infty, +\infty)$ конечная числовая функция, называемая ядром, со свойствами: $B_1)$ $K_\lambda(-t) = K_\lambda(t)$, $B_2)$ $K_\lambda(t) \geq 0$, $B_3)$ $(L) \int_{-\infty}^{+\infty} K_\lambda(t) dt = 1^*$.

Отметим, что, если функции $p_{k,\lambda}^{[i]}$ и $q_{k,\lambda}^{[i]}$ обладают свойством: $R_\lambda^{[2i]}(0) = 0$ ($i = \overline{1, m}$), $R_\lambda^{[2i]}(j) = 0$ ($i = \overline{j, m}$, $j = \overline{1, n}$), то они, как нетрудно видеть, обладают и свойством A_4). Обратное, как показывает приводимый ниже пример (см. (16), (17)), неверно.

Через B будем обозначать банахово пространство с нормой $\|\cdot\|$.

Пусть $f(x)$ —абстрактная функция, определенная на вещественной оси и со значениями в B , $2n$ раз сильно дифференцируема на $(-\infty, +\infty)$, причем $f^{(2n)}(x)$ сильно измерима на $(-\infty, +\infty)$.

Предположим, что $\|f^{(2i)}(x)\|$ на вещественной оси имеет мажоранту $\varphi_i(x)$, т. е.

$$\|f^{(2i)}(x)\| \leq \varphi_i(x), -\infty < x < +\infty, i = \overline{0, n}, \quad (3)$$

такую, что

$$0 < \varphi_i(x) < \infty, -\infty < x < +\infty, i = \overline{0, n}, \quad (4)$$

и

$$(L) \int_0^{+\infty} \psi_i(qt) t^{2i} K_\lambda(t) dt < \infty, \quad \lambda \in \Lambda, \quad i = \overline{0, n}, \quad (5)$$

где

$$\psi_i(u) = \sup_{-\infty < x < \infty} Q_i(x; \xi), \quad i = \overline{0, n}, \quad (6)$$

$$\frac{\varphi_i(x+\xi)}{\varphi_i(x)} \leq Q_i(x; \xi), \quad -\infty < x < +\infty, |\xi| \leq u, \quad i = \overline{0, n} \quad (7)$$

Лемма. Ряд

$$\sum_{k=1}^{\infty} \sum_{i=0}^n p_{k,\lambda}^{[i]} (q_{k,\lambda}^{[i]})^{2i} f^{(2i)}(x+q_{k,\lambda}^{[i]} t) K_\lambda(t) \quad (8)$$

при каждом $\lambda \in \Lambda$, $x \in (-\infty, +\infty)$ и $t \in (-\infty, +\infty)$ сходится в сильной топологии пространства B и представляет собой абстрактную функцию от t , интегрируемую в смысле Бехнера.

Сходимость в сильной топологии пространства B ряда (8) следует из того, что каждый из рядов

$$\sum_{k=1}^{\infty} \|p_{k,\lambda}^{[i]} (q_{k,\lambda}^{[i]})^{2i} f^{(2i)}(x+q_{k,\lambda}^{[i]} t) K_\lambda(t)\|, \quad i = \overline{0, n},$$

* $(L) \int$ —интеграл Лебега.

в силу свойства B_2 , правого неравенства свойства A_3 , (3), (4), (7) и (6) мажорируется соответствующим рядом

$$\sum_{k=1}^{\infty} |p_{k,\lambda}^{[i]}| \varphi_i(x) (qt)^{2i} \psi_i(q+|t|) K_\lambda(t), \quad i = \overline{0, n},$$

который на основании конечности функций $K_\lambda(t)$, $\varphi_i(x)$ (см. (4)) и $\psi_i(u)$ конечность последней следует из ее неубывания (см. (6)) и (L) -интегрируемости (см. (5)), а также свойства A_2 , сходится.

Так как, $f^{(2i)}(x)$, $i = \overline{0, n}$, сильно измерима на $(-\infty, +\infty)$, то ряд (8) в силу своей сходимости, а также конечности и измеримости $K_\lambda(t)$ является сильно измеримой на $(-\infty, +\infty)$ функцией от t (см. [3], стр. 87, теорема 3.5.4. (1)–(3)). При этом, на основании (5),

$$\begin{aligned} (L) \int_{-\infty}^{+\infty} \left\| \sum_{k=1}^{\infty} \sum_{i=0}^n p_{k,\lambda}^{[i]} (q_{k,\lambda}^{[i]})^{2i} f^{(2i)}(x+q_{k,\lambda}^{[i]} t) K_\lambda(t) \right\| dt &\leq \\ &\leq 2M \sum_{i=0}^n q^{2i} \varphi_i(x) (L) \int_0^{+\infty} t^{2i} \psi_i(qt) K_\lambda(t) dt < \infty. \end{aligned}$$

Следовательно, (см. [3], стр. 94, теорема 3.7.4) ряд (8) интегрируем в смысле Бехнера.

Лемма доказана.

Замечание. Как видно из приведенных рассуждений свойства A_1 , A_4 – A_6 , B_1), а также левое неравенство свойства A_3 в доказательстве леммы не использовались. Эти свойства понадобятся нам в дальнейшем.

Имея в виду лемму, введем в рассмотрение следующее семейство линейных интегральных операторов

$$L_\lambda^{[r,n]}(f; x) = (B) \int_{-\infty}^{+\infty} \sum_{k=1}^{\infty} \sum_{i=0}^n p_{k,\lambda}^{[i]} (q_{k,\lambda}^{[i]})^{2i} f^{(2i)}(x+q_{k,\lambda}^{[i]} t) K_\lambda(t) dt^*$$

Нетрудно показать, что при рассмотрении операторов такого вида требование неотрицательности $q_{k,\lambda}^{[i]}$ (см. свойство A_3), в силу четности $K_\lambda(t)$, не уменьшает общности.

Теорема 1. Пусть у функции $f(x)$ существует на (a, b) сильно непрерывная r -ая сильная производная $f^{(r)}(x)$.

Если существует числовая неубывающая функция $\Phi(t)$, $0 \leq t < \infty$, такая, что

$$t^r \approx \Phi(t), \quad t \rightarrow +0, \quad (9)$$

$$\Delta_\lambda^{[r]} = (L) \int_0^{+\infty} \Phi(t) K_\lambda(t) dt < \infty, \quad (10)$$

и для любого $\delta > 0$

$$(L) \int_0^{\delta} t^{2i} \psi_i(qt) \Phi(t) K_\lambda(t) dt = 0 \left(\Delta_\lambda^{[r]} \sum_{i=0}^n \frac{R_\lambda^{[r]}(i)}{(r-2i)!} \right), \quad \lambda \rightarrow \lambda_0, \quad i = \overline{0, n}, \quad (11)$$

то равномерно относительно x из любого отрезка $[a', b']$, $a < a' < b' < b$, на котором ограничены $\varphi_i(x)$, $i = \overline{0, n}$, имеет место равенство

$$\lim_{\lambda \rightarrow \lambda_0} \left\| \left(\Delta_\lambda^{[r]} \sum_{i=0}^n \frac{R_\lambda^{[r]}(i)}{(r-2i)!} \right)^{-1} [L_\lambda^{[r,n]}(f; x) - f(x)] - [1 + (-1)^r] f^{(r)}(x) \right\| = 0 \quad (12)$$

* $(B) \int$ —интеграл Бехнера.

Если $[1+(-1)^r] f^{(r)}(x) \neq 0$, где 0 — нулевой элемент пространства B , то равенство (12) показывает, что при определенных условиях операторы $L_{\lambda}^{[r,n]}(f; x)$ равномерно аппроксимируют в сильной топологии

$$\text{пространства } B \text{ функцию } f(x) \text{ с порядком } \Delta_{\lambda}^{[r]} \sum_{i=0}^n \frac{R_{\lambda}^{[r]}(i)}{(r-2i)!} \quad **$$

Если же $[1+(-1)^r] f^{(r)}(x) = 0$, что может быть, например, в случае нечетного r , то при определенных условиях

$$L_{\lambda}^{[r,n]}(f; x) - f(x) = 0 \left(\Delta_{\lambda}^{[r]} \sum_{i=0}^n \frac{R_{\lambda}^{[r]}(i)}{(r-2i)!} \right), \quad \lambda \rightarrow \lambda_0,$$

в сильной топологии пространства B равномерно по x .

Наметим ход доказательства теоремы 1.

Вводя в рассмотрение вспомогательную абстрактную функцию

$$\sigma_{\lambda}(t, x) = \frac{G_{\lambda}(t, x)}{\Phi(t)} - [1 + (-1)^r] f^{(r)}(x) \sum_{i=0}^n \frac{R_{\lambda}^{[r]}(i)}{(r-2i)!},$$

где

$$G_{\lambda}(t, x) = \sum_{k=1}^{\infty} \left\{ p_{k,\lambda}^{[0]} [f(x + q_{k,\lambda}^{[0]} t) + f(x - q_{k,\lambda}^{[0]} t) - 2f(x)] + \sum_{l=1}^n p_{k,\lambda}^{[l]} (q_{k,\lambda}^{[l]} t)^{2l} [f^{(2l)}(x + q_{k,\lambda}^{[l]} t) + f(x - q_{k,\lambda}^{[l]} t)] \right\}, \quad -\infty < x < +\infty, 0 \leq t < +\infty,$$

использованием свойств A_1 , B_1 , B_3 , можно показать, что

$$L_{\lambda}^{[r,n]}(f; x) - f(x) = [1 + (-1)^r] f^{(r)}(x) \Delta_{\lambda}^{[r]} \sum_{i=0}^n \frac{R_{\lambda}^{[r]}(i)}{(r-2i)!} + (B) \int_0^{+\infty} \Phi(t) \sigma_{\lambda}(t, x) K_{\lambda}(t) dt \quad (13)$$

Применением разложения абстрактных функций $f^{(2l)}(x \pm q_{k,\lambda}^{[l]} t)$, $i=0, n$, по формуле Тейлора (см. [1], стр. 219, теорема (8.14.2) в окрестности точки $x \in [a', b']$ и дальнейшим преобразованием определенным образом дополнительных членов этих формул, на основании левого неравенства свойства A_3 , свойств A_4 , A_6 и условия (9), доказывается, что для любого $\epsilon > 0$ найдется такое $\delta > 0$, зависящее только от ϵ , что при $0 < t < \delta$

$$\|\sigma_{\lambda}(t, x)\| < \epsilon \left| \sum_{i=0}^n \frac{R_{\lambda}^{[r]}(i)}{(r-2i)!} \right| \quad (14)$$

для всей $x \in [a', b']$ и для $\lambda \in \Lambda$, достаточно близких к λ_0 .

** Если, конечно, $\Delta_{\lambda}^{[r]} \sum_{i=0}^n \frac{R_{\lambda}^{[r]}(i)}{(r-2i)!} \rightarrow 0, \quad \lambda \rightarrow \lambda_0$.

С другой стороны, благодаря неубыванию на $[0, \infty)$ $\Phi(t)$, ограниченности снизу единицей на $[0, \infty)$ функций $\psi_i(u)$, и ограниченности на $[a', b']$ $\varphi_i(x)$, можно для $t \geq \delta$ получить следующую оценку

$$\|\sigma_{\lambda}(t, x)\| \leq C \sum_{i=0}^n t^{2i} \psi_i(qt), \quad (15)$$

где C не зависит ни от $\lambda \in \Lambda$, ни от $x \in [a', b']$.

Из (13), в силу (14), (15) и условия (11), получаем утверждение теоремы.

Пусть $C(a, b)$ — класс сильно непрерывных на $[a, b]$ абстрактных функций $h(x)$ со значениями в банаховом пространстве B с нормой

$$\|h(\cdot)\|_{C(a,b)} = \max_{a \leq x \leq b} \|h(x)\|.$$

Теорема 2. Если в условиях теоремы 1 функции $f^{(2l)}(x)$, $i=0, n$, равномерно сильно непрерывны на вещественной оси, то для любого отрезка $[a', b']$, $a < a' < b' < b$, на котором ограничены мажоранты $\varphi_i(x)$, $i=0, n$, имеет место следующее асимптотическое равенство

$$\lim_{\lambda \rightarrow \lambda_0} \left(\Delta_{\lambda}^{[r]} \left| \sum_{i=0}^n \frac{R_{\lambda}^{[r]}(i)}{(r-2i)!} \right| \right)^{-1} \|L_{\lambda}^{[r,n]}(f; \cdot) - f(\cdot)\|_{C(a', b')} = [1 + (-1)^r] \|f^{(r)}(\cdot)\|_{C(a', b')}$$

В самом деле, если $f^{(2l)}(x)$, $i=0, n$, равномерно сильно непрерывны на $(-\infty, +\infty)$, то, используя (5), нетрудно показать, что результат действия оператора $L_{\lambda}^{[r,n]}$ есть также равномерно сильно непрерывная на $(-\infty, +\infty)$ функция, а, следовательно, и подавно сильно непрерывная на $[a', b']$, теорема 2 вытекает из теоремы 1.

При $B = (-\infty, +\infty)$ и $n=0$ операторы $L_{\lambda}^{[r,n]}(f; x)$ с точностью до конечности $K_{\lambda}(t)$, рассматривались в [2].

Пусть, например, $r=4$. Тогда $m=1$. Положим $n=1$, $\Lambda=[1, +\infty)$, $\lambda_0=+\infty$,

$$p_{k,\lambda}^{[0]} = \begin{cases} \lambda^{-1}, & k=1, \\ -2\lambda^{-1}, & k=2, \\ (\lambda+1)\lambda^{-1}, & k=3, \\ 0, & k \geq 4, \end{cases} \quad q_{k,\lambda}^{[0]} = \begin{cases} \lambda^{-2}, & k=1, \\ \sqrt{\lambda} \cdot \lambda^{-2}, & k=2, \\ \sqrt{\lambda^4 - \lambda - 1} (\lambda^3 \sqrt{\lambda+1})^{-1}, & k=3, \\ 0, & k \geq 4, \end{cases} \quad (16)$$

$$p_{k,\lambda}^{[1]} = \frac{1}{2} p_{k,\lambda}^{[0]}, \quad q_{k,\lambda}^{[1]} = \begin{cases} \sqrt{\lambda^2 - 1} \cdot \lambda^{-2}, & k=1, \\ \sqrt{\lambda^2 - \lambda} \cdot \lambda^{-2}, & k=2, \\ \lambda^{-3}, & k=3, \\ 0, & k \geq 4. \end{cases} \quad (17)$$

$$K_{\lambda}(t) = \frac{\lambda}{\sqrt{\pi}} e^{-\lambda t^2} \quad (18)$$

— ядро К. Вейерштрасса.

Подсчет показывает, что

$$\sum_{i=0}^1 \frac{R_{\lambda}^{[4]}(i)}{(4-2i)!} = \frac{-6\lambda^9 + 19\lambda^8 - 2\lambda^7 - 26\lambda^6 + 5\lambda^5 + 5\lambda^4 + 7\lambda^2 + 14\lambda + 7}{24 \cdot \lambda^3 (\lambda+1)} \approx -\frac{1}{4\lambda^5} \quad (19)$$

Нетрудно проверить, что функции $p_{k,\lambda}^{(i)}$, $q_{k,\lambda}^{(i)}$, $i=0,1$, $K_\lambda(t)$, определяемые по формулам (16), (17) и (18), обладают, соответственно, свойствами A_1-A_6 и B_1-B_3 , причем, можно положить $M=5$, $q=1$.

Оператор $L_\lambda^{[r,n]}(f; x)$ с такими компонентами обозначим через $W_\lambda^{[4,1]}(f; x)$.

Пусть далее $\varphi_i(x)=e^{|x|}$, $-\infty < x < +\infty$, $i=0,1$. Тогда

$$\frac{\varphi_i(x+\xi)}{\varphi_i(x)} = \frac{e^{|x+\xi|}}{e^{|x|}} \leq \frac{e^{|x|}e^{|\xi|}}{e^{|x|}} = e^{|\xi|},$$

и за функции $Q_i(x; \xi)$, $i=0,1$, можно выбирать $e^{|\xi|}$. Следовательно,

$$\Psi_i(u) = \sup_{\substack{-\infty < x < \infty \\ |\xi| < u}} e^{|\xi|} = e^{|u|}, \quad i=0,1.$$

Мажоранта $\varphi_i(x)=e^{|x|}$ удовлетворяет, очевидно, условиям (4) и (5).

Если положить $\Phi(t)=t^4$, $0 \leq t < +\infty$, и, следовательно,

$$\Delta_\lambda^{(4)} = \frac{\lambda}{V\pi} \int_0^{+\infty} t^4 e^{-\lambda t^2} dt = \lambda^{-4},$$

где

$$z = \frac{1}{V\pi} \int_0^{+\infty} t^4 e^{-t^2} dt,$$

то выполняется условие (11). В самом деле, для любого $\delta > 0$ найдется δ_0 такое, что $\delta_0 > \delta$ и $\delta_0 \geq 1$. Поэтому

$$\begin{aligned} \frac{\lambda^{10}}{V\pi} \int_\delta^{+\infty} t^{2i+4} e^{t-(\lambda t)^2} dt &\leq \frac{\lambda^{10}}{V\pi} \int_\delta^{+\infty} t^{2i+4} e^{\lambda t - (\lambda t)^2} dt = \\ &= \frac{\lambda^{10}}{V\pi} \left[\int_\delta^{\delta_0} + \int_{\delta_0}^{+\infty} \right] \leq \frac{\lambda^{10}}{V\pi} \delta_0^{2i+4} e^{\lambda \delta_0 - (\lambda \delta_0)^2} (\delta_0 - \\ &- \delta) + \frac{\lambda^{10}}{V\pi} \int_{\delta_0}^{+\infty} t^9 e^{\lambda t - (\lambda t)^2} dt = \frac{1}{V\pi} \delta_0^{2i+4} (\delta_0 - \delta) \lambda^{10} e^{\lambda \delta_0 - (\lambda \delta)^2} + \\ &+ \frac{1}{V\pi} \int_{\lambda \delta_0}^{+\infty} t^9 e^{t-t^2} dt \rightarrow 0, \quad \lambda \rightarrow +\infty. \end{aligned}$$

Таким образом, например, из теоремы 2 вытекает следующая
Теорема 3. Пусть абстрактная функция $f(x)$, заданная на $(-\infty, +\infty)$ и со значениями в B , равномерно сильно непрерывна на $(-\infty, +\infty)$ и $\|f(x)\| \leq e^{|x|}$; вторая сильная производная $f''(x)$ равномерно сильно непрерывна на $(-\infty, +\infty)$ и $\|f''(x)\| \leq e^{|x|}$; четвертая сильная производная $f^4(x)$ сильно непрерывна на (a, b) . Тогда для любого отрезка $[a', b']$, $a < a' < b' < b$, имеет место асимптотическое равенство

$$\lim_{\lambda \rightarrow +\infty} \lambda^9 \|W_\lambda^{[4,1]}(f; \cdot) - f(\cdot)\|_{C(a', b')} = \frac{8}{\pi} \|f^{(4)}(\cdot)\|_{C(a', b')}$$

ЛИТЕРАТУРА

- Дъедони Ж. Основы современного анализа. М., 1964.
- Лабскер Л. Г. Асимптотический вид аппроксимации функций одним семейством линейных интегральных операторов. Сб. „Некоторые вопросы функционального анализа и его применений“. Изд. АН Азерб. ССР, Баку, 1965, стр. 64–81.
- Хилле Э., Филип Р. Функциональный анализ и полугруппы. М., 1962.

Институт математики
и механики

Поступило 16. II 1966.

Э. С. Чәфәров, Л. Г. Лабскер

Бир синиф интеграл операторларла абстракт функцијаларын
мүнтәзәм жаһынлашмасының асимптотик шәкли

ХҮЛАСӘ

$(-\infty, +\infty)$ да тә'жин олунмуш вә гијметләри B банах фәзасындан олан
бир синиф абстракт функцијалар үчүн

$$L_\lambda^{[r,n]}(f; x) = (B) \int_{-\infty}^{+\infty} \sum_{k=1}^n \sum_{l=0}^{\infty} p_{k,\lambda}^{(l)} (q_{k,\lambda}^{(l)})^{2l} f^{(2l)}(x + q_{k,\lambda}^{(l)} t) K_\lambda(t) dt$$

интеграл операторлары гурулмуш вә мүнтәзәм жаһынлашма мәсәләси
өјрәнилмишdir. Гејд етмәк лазымдыр ки, мәгаләдә жаһынлашманың
асимптотик шәкли дә верилмишdir.

МАТЕМАТИКА

Г. Г. САФАРОВ, А. И. ГУСЕИНОВА

ПОГРАНИЧНЫЙ СЛОЙ НА ТЕЛЕ ВРАЩЕНИЯ ПРИ ОБТЕКАНИИ ДВУХКОМПОНЕНТНОЙ ЖИДКОСТЬЮ

(Представлено академиком АН Узбекской ССР Х. А. Рахматулиным)

В работе [1] была разработана основная теория движения много-компонентной жидкости в пограничном слое и выяснены некоторые существенные особенности. Случай плоского пограничного слоя рассматривается в работах [2,3].

В настоящей работе рассматривается трехмерный осесимметричный пограничный слой на теле вращения, внезапно приведенный в равномерное винтовое движение в безграничной двухкомпонентной жидкости.

В качестве примера рассматривается обтекание шара. Для решения задачи применяется метод последовательных приближений по аналогии классической задачи. Были определены распределение скоростей, сила сопротивления и отрыв пограничного слоя.

1. Пусть тело мгновенно приведено в равномерное винтовое движение вдоль оси тела с постоянной скоростью U поступательного движения и угловой скоростью вращения ω , находящееся в двухкомпонентной жидкости.

Рассуждая, аналогично тому, как это свойственно пространственному пограничному слою уравнения Х. А. Рахматулина [1] принимают следующий вид:

$$\begin{aligned} \frac{\partial u_i}{\partial t} + u_i \frac{\partial u_i}{\partial x} + v_i \frac{\partial u_i}{\partial y} - \frac{W_i^2}{R} \frac{dR}{dx} &= U \frac{dU}{dx} + v_i \frac{\partial^2 u_i}{\partial y^2} + k_i (u_j - u_i) \\ \frac{\partial W_i}{\partial t} + u_i \frac{\partial W_i}{\partial x} + v_i \frac{\partial W_i}{\partial y} + \frac{u_i W_i}{R} \frac{dR}{dx} &= v_i \frac{\partial^2 W_i}{\partial y^2} + k_i (W_j - W_i) \\ \frac{\partial}{\partial x} (R u_i) + \frac{\partial}{\partial y} (R v_i) &= 0 \quad i, j = 1, 2, \quad i \neq j. \end{aligned}$$

Сохраним обозначения скорости u , v , W , кинематический коэффициент вязкости ν и условимся индексом i, j отличать соответствующие значения этих величин для отдельных компонентов, входящих в смесь жидкости.

ρ_i — приведенная плотность i -го компонента смеси;

k_i — размерная постоянная величина;

R — радиус поперечного сечения тела вращения.

Интегрирования уравнений (1) выполним способом последовательных приближений. В первом приближении пренебрегаем конвективными членами и градиентом давления. Итак, для первого приближения необходимо интегрировать следующие системы:

$$\frac{du_i}{dt} = v_i \frac{\partial^2 u_i}{\partial y^2}$$

$$\frac{\partial W_i}{\partial t} = v_i \frac{\partial^2 W_i}{\partial y^2}$$

$$\frac{\partial}{\partial x} (R u_i) + \frac{\partial}{\partial y} (R v_i) = 0 \quad i = 1, 2.$$

в следующих граничных условиях:

$$u_i = 0, \quad v_i = 0, \quad W_i = \omega R \text{ при } y = 0$$

$$u_i = U(x), \quad v_i = 0, \quad W_i = 0 \text{ при } y = \infty$$

Решение представляется в виде

$$u_{i0} = \frac{2U(x)}{\sqrt{\pi}} \int_0^{\sqrt{\frac{v_i}{\nu_i}}} e^{-z^2} dz$$

$$v_{i0} = -2\sqrt{v_i t} \frac{d(RU)}{dx} \left[\sqrt{\frac{v_i}{\nu_i}} \eta \frac{2}{\sqrt{\pi}} \int_0^{\sqrt{\frac{v_i}{\nu_i}} \eta} e^{-z^2} dz - \frac{1}{\sqrt{\pi}} \left(1 - e^{-\frac{v_i}{\nu_i} \eta^2} \right) \right]$$

$$W_{i0} = \omega R \left(1 - \frac{2}{\sqrt{\pi}} \int_0^{\sqrt{\frac{v_i}{\nu_i}} \eta} e^{-z^2} dz \right); \quad \text{где } \eta = \frac{1}{2} \sqrt{\frac{1}{v_i t}}$$

Компоненты скорости во втором приближении положим равными

$$u_i = u_{i0} + u_{ii}; \quad v_i = v_{i0} + v_{ii}; \quad W_i = W_{i0} + W_{ii}$$

Подставляя в систему (1), получим уравнения и граничные условия для второго приближения

$$\nu_i \frac{\partial^2 u_{ii}}{\partial y^2} - \frac{\partial u_{ii}}{\partial t} = u_{i0} \frac{\partial u_{i0}}{\partial x} + v_{i0} \frac{\partial u_{i0}}{\partial y} - \frac{W_{i0}^2}{R} \frac{dR}{dx} - U \frac{dU}{dx} + k_i (u_{j0} - u_{i0})$$

$$\nu_i \frac{\partial^2 W_{ii}}{\partial y^2} - \frac{\partial W_{ii}}{\partial t} = u_{i0} \frac{\partial W_{i0}}{\partial x} + u_{i0} \frac{\partial W_{i0}}{\partial y} + \frac{u_{i0} W_{i0}}{R} \frac{dR}{dx} + k_i (W_{j0} - W_{i0})$$

$$\frac{\partial}{\partial x} (R u_{ii}) + \frac{\partial}{\partial y} (R v_{ii}) = 0$$

П 49020

Ищем решение системы (2) в следующем виде

$$u_{11}=t \left(U \frac{dU}{dx} f_{11} + \frac{U^2}{R} \frac{dR}{dx} f_{12} + \omega U \frac{dR}{dx} f_{13} + U f_{14} \right)$$

$$W_{11}=t \left(\omega R \frac{dU}{dx} + \omega U \frac{dR}{dx} g_{12} + \omega R g_{13} \right)$$

Для определения f_{1n} , g_{1n} ($n=1,2,3$) необходимо решить систему

$$f'_{11} + 2\eta f_{11} - 4 \frac{\nu_1}{\nu_1} f_{11} = 4 \frac{\nu_1}{\nu_1} (E_i^2 - E_i' F_i - 1)$$

$$f'_{12} + 2\eta f_{12} - 4 \frac{\nu_1}{\nu_1} f_{12} = 4 \frac{\nu_1}{\nu_1} E_i' F_i$$

$$f'_{13} + 2\eta f_{13} - 4 \frac{\nu_1}{\nu_1} f_{13} = -4 \frac{\nu_1}{\nu_1} (1 - E_i)^2$$

$$f'_{14} + 2\eta f_{14} - 4 \frac{\nu_1}{\nu_1} f_{14} = 4k_1 \frac{\nu_1}{\nu_1} (E_j - E_i)$$

$$g'_{11} + 2\eta g_{11} - 4 \frac{\nu_1}{\nu_1} g_{11} = 4 \frac{\nu_1}{\nu_1} E_i' F_i$$

$$g'_{12} + 2\eta g_{12} - 4 \frac{\nu_1}{\nu_1} g_{12} = 4 \frac{\nu_1}{\nu_1} [E_i (1 - E_i) + E_i' F_i]$$

$$g'_{13} + 2\eta g_{13} - 4 \frac{\nu_1}{\nu_1} g_{13} = -4k_1 \frac{\nu_1}{\nu_1} (E_j - E_i),$$

где

$$E_i = \frac{1}{V\pi} \int_0^{\frac{\nu_1}{\nu_1} \eta} e^{-z^2} dz$$

$$F_i = \sqrt{\frac{\nu_1}{\nu_1} \eta} E_i - \frac{1}{V\pi} \left(1 - e^{-\frac{\nu_1}{\nu_1} \eta^2} \right)$$

При нулевых граничных условиях, т. е.

$$g_{1n}=0; f_{1n}=0 \text{ при } \eta=0 \text{ и } \eta=\infty \quad (n=1, 2, 3, 4)$$

Решения уравнений (4) могут быть представлены в замкнутом виде, удовлетворяющие нулевым граничным условиям:

$$f_{11} = \left(1 + \frac{2}{3\pi} \right) \left(1 + 2 \frac{\nu_1}{\nu_1} \eta^2 \right) + \left(\frac{1}{2} + \frac{2}{3\pi} \right) \left[\left(2 \frac{\nu_1}{\nu_1} \eta^2 + 1 \right) E_i + \eta E_i' \right] - \left(\frac{\nu_1}{\nu_1} \eta^2 - \frac{1}{2} \right) E_i^2 + \frac{3}{2} \eta E_i E_i' + \left(\frac{1}{2} \frac{\nu_1}{\nu_1} E_i - \frac{2}{3V\pi} \sqrt{\frac{\nu_1}{\nu_1}} \right) E_i' + 1.$$

$$f_{12} = \frac{4}{3\pi} \left(1 + 2 \frac{\nu_1}{\nu_1} \eta^2 \right) + \left(\frac{1}{2} - \frac{4}{3\pi} \right) \left[\left(1 + 2 \frac{\nu_1}{\nu_1} \eta^2 \right) E_i + \eta E_i' \right] - \left(\frac{\nu_1}{\nu_1} \eta^2 + \frac{1}{2} \right) E_i^2 - \frac{\eta}{2} E_i E_i' - \frac{2}{3V\pi} \sqrt{\frac{\nu_1}{\nu_1}} E_i'.$$

$$\begin{aligned} f_{13} &= - \left(1 - \frac{2}{V\pi} \right) \left(1 + 2 \frac{\nu_1}{\nu_1} \eta^2 \right) + \left(2 - \frac{3}{\pi} \right) \left[\left(1 + 2 \frac{\nu_1}{\nu_1} \eta^2 \right) E_i + \eta E_i' \right] - \\ &\quad - 2 \frac{\nu_1}{\nu_1} \eta^2 E_i^2 + 2\eta E_i E_i' - \frac{1}{2} \frac{\nu_1}{\nu_1} E_i'^2 - 2E_i + 1. \\ f_{14} &= k_1 \left\{ \left[\left(1 + 2 \frac{\nu_1}{\nu_1} \eta^2 \right) \right] \left[E_i + \eta E_i' \right] \right\} 2 \sqrt{\frac{\nu_1}{\nu_1} \eta} e^{\frac{\nu_1}{\nu_1} \eta^2} \int_0^{\eta} e^{-z^2} dz - \\ &\quad - \left[\frac{\sqrt{\frac{\nu_1}{\nu_1} \eta}}{\frac{\nu_1}{\nu_1} - 1} e^{\left(\frac{\nu_1}{\nu_1} - 1 \right) \eta^2} \right] + 2 \left(1 + 2 \frac{\nu_1}{\nu_1} \eta^2 \right) \left[\sqrt{\frac{\nu_1}{\nu_1} \eta} E_i \left(\int_0^{\eta} e^{-z^2} dz \right) e^{\frac{\nu_1}{\nu_1} \eta^2} - \right. \\ &\quad \left. - \frac{\frac{\nu_1}{\nu_1}}{2 \left(\frac{\nu_1}{\nu_1} - 1 \right)} \left(E_i e^{\left(\frac{\nu_1}{\nu_1} - 1 \right) \eta^2} - \frac{2}{V\pi} \int_0^{\frac{\nu_1}{\nu_1} \eta} e^{-z^2} dz \right) \right] + \\ &\quad + E_i \left\} - \frac{k_1}{1 - \frac{\nu_1}{\nu_1}} \left[\left(1 + 2 \frac{\nu_1}{\nu_1} \eta^2 \right) E_i + \eta E_i' \right]. \\ g_{11} &= - \frac{4}{3\pi} \left(1 + 2 \frac{\nu_1}{\nu_1} \eta^2 \right) - \left(\frac{1}{2} - \frac{4}{3\pi} \right) \left[\left(1 + 2 \frac{\nu_1}{\nu_1} \eta^2 \right) E_i + \eta E_i' \right] + \\ &\quad + \left(\frac{\nu_1}{\nu_1} \eta^2 + \frac{1}{2} \right) E_i^2 + \frac{1}{2} \eta E_i E_i' + \frac{2}{3\pi} \sqrt{\frac{\nu_1}{\nu_1}} E_i'. \end{aligned}$$

Дальше, поступая аналогичным образом, находим и третье приближение, так как результаты очень громоздки, мы здесь их не помещаем.

Для компоненты трения τ_x , τ_z по поверхности тела вращения будем иметь:

$$\begin{aligned} \tau_x &= \frac{1}{2} \left(\frac{\mu_1 \rho_{01}}{t} \right)^{\frac{1}{2}} \frac{\rho_1}{\rho_{01}} \left\{ \frac{2U}{V\pi} + t \left[U \frac{dU}{dx} \left(\frac{2}{V\pi} + \frac{8}{3\pi} \right) + \frac{U^2 dR}{R dx} \left(\frac{2}{V\pi} - \right. \right. \right. \\ &\quad \left. \left. \left. - \frac{16}{3\pi V\pi} \right) + \omega^2 U \frac{dR}{dx} \left(\frac{4}{V\pi} - \frac{8}{\pi V\pi} \right) - \right. \right. \\ &\quad \left. \left. - \frac{2U}{V\pi} \frac{k}{\rho_1} \frac{1 - \sqrt{\frac{\nu_1}{\nu_2}}}{1 + \sqrt{\frac{\nu_1}{\nu_2}}} \right] + \dots \right\} + \frac{1}{2} \left(\frac{\mu_2 \rho_{02}}{t} \right)^{\frac{1}{2}} \frac{\rho_2}{\rho_{02}} \left\{ \frac{2U}{V\pi} + \right. \\ &\quad \left. + t \left[U \frac{dU}{dx} \left(\frac{2}{V\pi} + \frac{8}{3\pi} \right) + \frac{U^2 dR}{R dx} \left(\frac{2}{V\pi} - \frac{16}{3\pi V\pi} \right) + \omega^2 U \frac{dR}{dx} \left(\frac{4}{V\pi} - \right. \right. \right. \\ &\quad \left. \left. \left. - \frac{8}{\pi V\pi} \right) + \frac{2U}{V\pi} \frac{k}{\rho_2} \frac{1 - \sqrt{\frac{\nu_1}{\nu_2}}}{1 + \sqrt{\frac{\nu_1}{\nu_2}}} \right] + \dots \right\}. \end{aligned}$$

$$\tau_x = \frac{1}{2} \left(\frac{\mu_1 \rho_{01}}{t} \right)^{1/2} \frac{\rho_1}{\rho_{01}} \left\{ \omega R \frac{2}{V\pi} + t \left[\omega R \frac{dU}{dx} \left(\frac{16}{3\pi V\pi} - \frac{2}{V\pi} \right) + \right. \right. \\ + \omega U \frac{dR}{dx} \left(\frac{2}{V\pi} - \frac{32}{3\pi V\pi} \right) + \frac{2\omega R}{V\pi} \frac{k}{\rho_1} \frac{\left| 1 - \sqrt{\frac{v_1}{v_2}} \right|}{1 + \sqrt{\frac{v_1}{v_2}}} \left. \right] + \dots \left. \right\} + \\ + \frac{1}{2} \left(\frac{\mu_2 \rho_{02}}{t} \right)^{1/2} \frac{\rho_2}{\rho_{02}} \left\{ \frac{2\omega R}{V\pi} + t \left[\omega R \frac{dU}{dx} \left(\frac{16}{3\pi V\pi} - \frac{2}{V\pi} \right) + \right. \right. \\ + \omega U \frac{dR}{dx} \left(\frac{2}{V\pi} - \frac{32}{3\pi V\pi} \right) + \frac{2\omega R}{V\pi} \frac{k}{\rho_2} \frac{\left| -1 - \sqrt{\frac{v_1}{v_2}} \right|}{1 + \sqrt{\frac{v_1}{v_2}}} \left. \right] + \dots \left. \right\}$$

Чтобы найти точку отрыва пограничного слоя и задачу довести до численного результата, в качестве примера рассмотрим обтекание шара с радиусом a .

Будем считать, что во внешнем потоке устанавливается потенциальное распределение скоростей на внешней границе пограничного слоя во все времена движения имеет место:

$$U = \frac{3}{2} U_0 \sin \frac{x}{a}; \quad R = a \sin \frac{x}{a}$$

Введем следующие обозначения:

$$\frac{U_0 t}{a} = \xi, \quad \frac{\omega_0^2 a^2}{U_0^2} = \beta, \quad k_1 = \frac{k}{\rho_1} \frac{a}{U_0}$$

Выражения τ_x соответственно примут вид:

$$\tau_x = 0,8463 \left(\frac{\mu_1 \rho_{01}}{t} \right)^{1/2} U_0 \frac{\rho_1}{\rho_{01}} \left\{ 1 + \left[(2,36 + 0,48\beta) \cos \frac{x}{a} - \right. \right. \\ \left. \left. - k_1 \frac{\left| 1 - \sqrt{\frac{v_1}{v_2}} \right|}{1 + \sqrt{\frac{v_1}{v_2}}} \right] \xi \right\} + 0,8463 \left(\frac{\mu_2 \rho_{02}}{t} \right)^{1/2} U_0 \frac{\rho_2}{\rho_{02}} \left\{ 1 + \left[(2,36 + \right. \right. \\ \left. \left. - 0,48\beta) \cos \frac{x}{a} + K_2 \frac{\left| 1 - \sqrt{\frac{v_1}{v_2}} \right|}{1 + \sqrt{\frac{v_1}{v_2}}} \right] \xi \right\}.$$

Отрыв пограничного слоя на поверхности сферы происходит по окружности, на которой отрыв в задней критической точке начинается в момент времени

$$\xi_1 = \left[(2,36 + 0,48\beta) + k_1 \frac{\left| 1 - \sqrt{\frac{v_1}{v_2}} \right|}{1 + \sqrt{\frac{v_1}{v_2}}} \right]^{-1}.$$

Из приведенных формул можно сделать некоторые качественные выводы.

Отрыв пограничного слоя, для смеси строго зависит от отношений кинематической вязкости, содержаний компонентов в смеси и коэффициента взаимодействия k . Наличие этих факторов приводит к ускорению отрыва пограничного слоя, что влечет за собой ухудшение обтекания тела и увеличение их сопротивления. Естественно ожидать, что эти же факторы должны приводить к ускорению перехода ламинарного пограничного слоя в турбулентное состояние.

ЛИТЕРАТУРА

1. Рахматули Х. А. Grenzschicht-theorie der homogenen und Zwei-Komponenten-Flüssigkeit mit zwei Geschwindigkeiten. In: Symposium Freiburg/Bre. 1957. Grenzschichtforschung boudoir resarch herausgeber. H. Görtler. Berlin, 1958.

2. Сайфутдинов А. И. Пограничный слой двухкомпонентной жидкости на пластинке с отсасыванием. ДАН Узбек. ССР, № 7, 1965. 3. Сафаров Г. Г. Движение вязкой двухкомпонентной жидкости в пограничном слое. Изв. АН Азерб. ССР, № 1, 1965.

Институт математики и механики

Поступило 25. III 1966

б. б. Сәфәров, А. И. Һүсейнова

Фырланма чисмин икикомпонентли маје илә јујулмасында сәрһәд лајы

ХУЛАСӘ

Бу тәдгигатда оха нәзәрән симметрик үчөлчүлү фырланма чисминдә сәрһәдләй тәдгиг олунмушдур. Икикомпонентли мајенин тәнликтәри ардычыл җаһынлашма үсулу, илә интегралланып вә сәрһәд лајында сүр'этләрин пајлаймасы, мүгавимәт гүввәси тә'јин олунур. Ҳүсуси налда күрәнин јујулмасы мәсәләси әдәди һесабламаја кәтириллүр.

ХИМИЯ

Г. Б. ШАХТАХТИНСКИЙ, Ш. П. БАЙРАМОВ, Г. А. АСЛЯНОВ

ИЗВЛЕКАЕМОСТЬ ЩЕЛОЧНЫХ МЕТАЛЛОВ ИЗ
АЛУНИТОВ ПУТЕМ ВОДНОЙ ВЫЩЕЛАЧИВАНИЯ

(Представлено академиком АН Азербайджанской ССР А. М. Кулиевым)

Алуниты являются комплексным сырьем. Из них может получаться глинозем и другие ценные продукты, как сера, сернистый газ и серная кислота, а также сульфаты щелочных металлов.

Минералогически алунит относится к классу сульфатов алюминия и калия: $K_2SO_4 \cdot Al_2(SO_4)_3 \cdot 4Al(OH)_3$ или $KAl(SO_4)_2 \cdot 12H_2O$.

Процентный состав алунита следующий: $Al_2O_3 - 37,0$, $SO_3 - 38,6$, $K_2O - 11,4$ и $H_2O - 13,0$.

Природные образования всегда содержат примеси Na_2O (в виде натроалунита), Fe_2O_3 (например, в виде ярозита), SiO_2 (как в виде силикатов, так и в виде кварца) и другие соединения [1].

При прокаливании алунита до $500^{\circ}C$ удаляется вода, а при $800^{\circ}C$ алунит разлагается с выделением окислов серы, причем сульфаты щелочных металлов остаются недиссоциированными [2].

Легко разлагается алунит под действием едких щелочей, а после прокаливания — и серной кислотой, другие кислоты оказывают обычно слабое действие. Шоллер основал свой метод быстрого качественного определения алунита в породе на его свойстве отдавать сульфат ионы при водном выщелачивании после прокаливания [1].

Вопросы о том, как ведут себя сульфаты щелочных металлов, на сколько полно извлекаются они, какие имеются потери и в каком пределе извлечения их являются наивыгодным при комплексной переработке алунита детально не изучены. Например, по мнению Лайнера [3], хорошо было бы сперва извлекать водой сульфаты щелочных металлов и после этого подвергать алунит дальнейшей переработке для получения из него полезных компонентов.

В связи с этим нами проводятся исследования по вопросам определения и извлечения сульфатов щелочных металлов из алунита.

Содержание в алуните сульфатов щелочных металлов в виде их окислов по существующей методике определяется методом разложения породы фтористым водородом с последующим пламенно-фотометрированием [4].

Результаты определений, проведенных нами, приведены в табл. 1.

Таблица 1

№ п. п.	Навеска, г	Na_2O , мг/л	K_2O , мг/л	Na_2O , %	K_2O , %
1	0,5002	12,11	37,16	1,21	3,72
2	0,5005	12,11	37,28	1,21	3,73
3	0,5001	14,95	39,05	1,49	3,91
4	0,5002	11,41	35,33	1,14	3,53
Ср.	0,5002	12,64	37,21	1,26	3,72

Имея в виду, что метод разложения фтористым водородом обычно применяется при анализе силикатов и учитывая, что при проведении разложения плавиковой кислотой должно определяться общее содержание щелочных металлов в исследуемой породе, а при проведении анализа путем обжига и выщелачивания водою будет определяться содержание полезных щелочных металлов (при этом под названием полезных щелочных металлов имеется в виду та часть этих металлов, которая входит в состав собственно алунита, а не побочной породы), в настоящей работе мы рассматриваем вопрос о возможности замены разложения плавиковой кислотой соответственно обжигом алунита с последующим выщелачиванием водой или кислотами.

С целью изучения влияния температуры обжига алунита на извлекаемость щелочных металлов были поставлены опыты по следующей методике: тонкоизмельченные образцы алунита, взятые в количестве одного грамма, подвергались обжигу в муфельной печи при температурах $500-800^{\circ}C$ в течение одного часа, после чего образцы вынимались из печи и опускались в воду, взятую в количестве 50 мл. При этом производилось перемешивание с нагреванием до $90-100^{\circ}C$ около одного часа. После этого раствор отфильтровывался в колбу емкостью 1 л, проводился до метки дистиллированной водой и фотометрированием определялось количество натрия и калия.

Влияние температуры обжига на степень извлечения щелочных металлов из алунита водой выражено в виде кривых, построенных по результатам наших исследований (рис. 1).

Как видно, в зависимости от повышения температуры обжига выход щелочных металлов заметно увеличивается. При этом лучшее извлечение щелочных металлов при выщелачивании водой достигается в температурном интервале $600-800^{\circ}C$, в пределах температур $500-600^{\circ}C$ выход щелочных металлов изменяется незначительно, а при температуре $900^{\circ}C$ наблюдается некоторое понижение извлекаемости.

Далее, для выяснения влияния продолжительности обжига на степень извлечения щелочных металлов, алунит обжигался с различной продолжительностью в интервале от 5 мин до 4 ч. По результатам

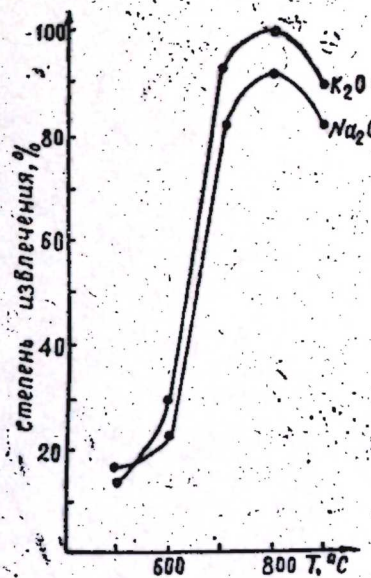


Рис. 1. Влияние температур обжига на степень извлечения щелочных металлов из алунита водой.

этих опытов построены кривые, приведенные на рис. 2. Кривые, приведенные здесь показывают, что при обжиге продолжительностью от 5 мин до 4 ч степень извлечения Na_2O из алюнита доходит до максимума уже в течение 5 мин и до 3 ч, держится на одном уровне,

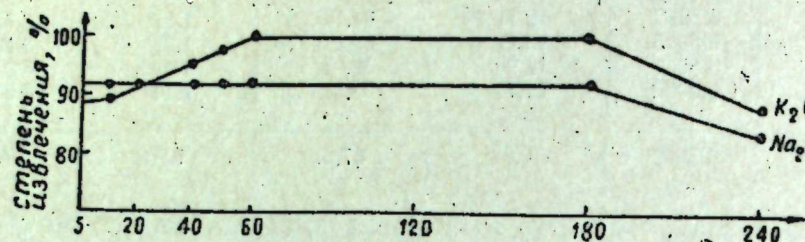


Рис. 2. Влияние продолжительности обжига при температуре 800°C на степень извлечения щелочных металлов из алюнита водой.

а с 3 до 4 ч степень извлечения понижается. Степень извлечения K_2O из алюнита начиная от 5 до 30 мин повышается незначительно и после 30 мин до 60 мин, увеличиваясь доходит до 100, после 1 ч до 3 ч не меняясь держится на одном уровне, а при продолжительности обжига от 3 до 4 ч степень извлечения K_2O из алюнита уменьшается как и для Na_2O .

Опыты по определению продолжительности выщелачивания на степень извлечения щелочных металлов из алюнита, обожженного при температуре 800°C в течение одного часа, проводились с выщелачиванием в течение различных промежутков времени в интервале от 10 мин до 2 ч через каждые 10 мин. По результатам этих опытов построены кривые, приведенные на рис. 3.

Как показывают кривые (рис. 3), при выщелачивании обожженного алюнита от 10 мин до 1 ч, степень извлечения щелочных металлов заметно увеличивается и доходит до максимума в течение одного часа, а дальнейшее выщелачивание водой выше одного часа на степень извлечения щелочных металлов почти не влияет.

Наконец, определялась зависимость степени извлечения щелочных металлов из алюнита, обожженного при температуре 800°C в течение одного часа, от температуры нагревания раствора с размешиванием. Результаты этих опытов приведены в табл. 2.

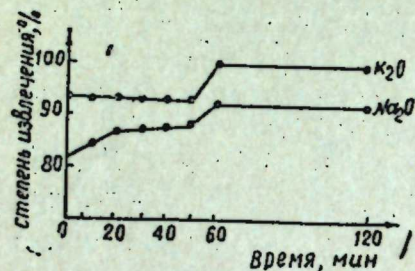


Рис. 3. Влияние продолжительности выщелачивания на степень извлечения щелочных металлов из обожженного алюнита при температуре 800°C водой.

Алюнита от 10 мин до 1 ч, степень извлечения щелочных металлов заметно увеличивается и доходит до максимума в течение одного часа, а дальнейшее выщелачивание водой выше одного часа на степень извлечения щелочных металлов почти не влияет.

Наконец, определялась зависимость степени извлечения щелочных металлов из алюнита, обожженного при температуре 800°C в течение одного часа, от температуры нагревания раствора с размешиванием. Результаты этих опытов приведены в табл. 2.

Таблица 2

№ п.п.	Температура обжига	Продолжительность обжига, мин	Количество воды, мл	Температура нагревания раствора	Продолжительность выщел., мин	Степень извлечения, %	
						Na_2O	K_2O
1	800°C	60	50	Комнатная	60	87,30	87,24
2		:	:		:	87,32	87,29
3		:	:	90—100°C	:	91,27	100,00
4		:	:		:	91,24	100,00

Из таблицы видно, что при выщелачивании обожженного алюнита холодной водой, которая имеет комнатную температуру, степень извлечения Na_2O и K_2O ниже, чем при выщелачивании горячей водой, нагретой до 90—100°C. Если при нагревании степень извлечения щелочных металлов составляла соответственно 91, 27 и 100%, то при размешивании на холода—87, 30 и 89,24%.

На основании вышеуказанных исследований дается пропись определения щелочных металлов в алюнитах пламенно-фотометрическим методом: навеска, взятая около одного грамма, прокаливается в муфельной печи при температуре 800°C в течение одного часа, после чего образец вынимается из печи и опускается в воду, взятую в количестве 50 мл, выщелачивается нагреванием до 90—100°C и размешиванием механической мешалкой около часа. После этого раствор отфильтровывается в мерную колбу емкостью в 1 л, остаток промывается несколько раз горячей дистиллированной водой, сперва декантацией, а потом на фильтре, раствор доводится до метки колбы дистиллированной водой, берется некоторое количество раствора в маленький стакан и фотометрируется известным в литературе методом. Сравнивая отсчет анализируемого раствора по показанию шкалы амперметра прибора с отчетами двух стандартных растворов, из которых один дает меньший, а другой больший отсчет, чем анализируемый раствор, вычисляются количества щелочных металлов в виде их окислов.

Вычисление ведется по формуле: $x = x_1 + \frac{(x_2 - x_1)(y - y_1)}{(y_2 - y_1)}$; где,

X —концентрация анализируемого раствора, $\text{мг}/\text{л}$, x_1 и x_2 —концентрации первого и второго стандартных растворов, $\text{мг}/\text{л}$, y —отсчет для концентрации анализируемого раствора, y_1 и y_2 —отсчеты первого и второго стандартных растворов.

Для пересчета найденного содержания Na_2P и K_2O в $\text{мг}/\text{л}$ на процентное их содержание в анализируемой пробе, полученные числа делятся на 10.

Запасные стандартные растворы натрия и калия приготовляются из химически чистых солей растворением 1,1457 г Na_2SO_4 и 0,9250 г K_2SO_4 в дистиллированной воде в отдельных мерных колбах емкостью 0,5 л. В 1 мл этих растворов содержится 1 мг Na_2O и K_2O .

Рабочие стандартные растворы приготовляются смешением приводимых ниже количеств исходных стандартных растворов натрия и калия и разбавлением до метки колбы емкостью 0,5 л дистиллированной водой: количество исходного раствора натрия, мл

6,25	7,5	10	12,5	содержание Na_2O , $\text{мг}/\text{л}$
12,5	15	20	25	количество исходного раствора калия, мл
12,5	15	20	25	содержание K_2O , $\text{мг}/\text{л}$
25	30	40	50	

ЛИТЕРАТУРА

- Смирнов-Верин С. С. Алюниты и их использование, Л., 1938.
- Багбаны И. Л. Получение сернокислых солей калия, натрия и алюминия на базе химической переработки алюнита. Труды Ин-та химии АН Азерб. ССР, т. XV, 1956, стр. 5—9.
- Лайнер. Производство глинозема. Госхимиздат, 1961.
- Плукотов Н. С. Методы анализа по фотометрии пламени. Госхимиздат, 1959, стр. 148, 155.

Институт неорганической и физической химии

Поступило 6. IV 1966

Мүэллифлэр алунитдэн гэлэви металларын су илэ чыхарылмасына мүхтэлиф амиллэрин (температур, гыздырылма мүддэти вэ гарышдырылма шэрэйтинин) тэ'сирини тэдгиг етмишлэр.

Муэлжэн едилшишдир ки, 1 saat өрзиндэ 800°C температурадэк гыздырылмыш печдэ сахланылмыш алунити 90–100° температур шэрэйтидэ 1 saat мүддэтиндэ су илэ гарышдырыгда, онун тэркибиндэ олайн гэлэви металлары мигдарэн мэхлула кечирмэх мүмкүндүр. Бу да алунитдэ гэлэви металларын мигдарыны аловлу-фотометр үсүү илэ тез вэ дэгиг тэ'жин етмэжэ имкан верир.

С. Н. ГАДЖИЕВ

К КАЛОРИМЕТРИИ СГОРАНИЯ ЭЛЕМЕНТООРГАНИЧЕСКИХ СОЕДИНЕНИЙ

(Представлено академиком АН Азербайджанской ССР М. А. Далинным)

В работе [1] нами предложен новый метод калориметрического сжигания низкокипящих кремнийорганических соединений (КОС), в том числе содержащих хлор.

Ниже приводится описание метода сжигания твердых, а также высококипящих жидкых КОС и затрагиваются некоторые вопросы калориметрии горения.

Этот метод основан на сжигании вещества в смеси с сильными неорганическими окислителями (сжигание с окислителями).

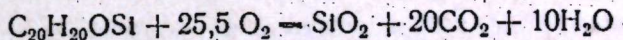
Для сжигания КОС, не содержащих галогенов, хорошо подходит азотнокислый калий. Исследуемое высококипящее жидкое КОС в тонкостенной кварцевой чашечке равномерно смешивается с KNO_3 , высокой чистоты в отношении 1:2–1:3 по массе и сжигается в кислородной атмосфере в бомбе обычным способом.

В качестве твердого КОС, несодержащего галогенов, нами взят трифенилэтоксисилан (темпер. пл. 68°C). Это вещество сжигалось в виде таблеток, изготовленных из равномерно распределенной смеси его с KNO_3 в отношении 1:2 при 25 атм кислорода.

Визуальным осмотром [2–4] установлено, что данный метод позволяет достигнуть полноты горения (как жидких, так и твердых соединений). Химическим анализом установлено наличие в продуктах горения SiO_2 , K_2CO_3 , KOH , K_2SiO_3 , KNO_2 , воды, а также остатка KNO_3 . С целью упрощения количественного анализа все продукты превращения KNO_3 обратно превращались в KNO_3 , путем воздействия на них азотной кислотой во время главного периода калориметрического опыта во вращающейся танталовой бомбе.

Рентгенанализ показал, что SiO_2 состоит из атмосферной фазы.

Величина теплоты горения трифенилэтоксисилана по реакции



рассчитывалась по формуле (кал/г):

$$-\Delta U = \frac{W\Delta T - q_{\text{H}} - q_{\text{HNO}_3} + q_{\text{Г}} + C_{\text{HNO}_3} + C_{\text{KNO}_3}}{m},$$

где W — тепловое значение калориметра по бензойной кислоте из ВНИИМ, равное $2535,0 \pm 0,3$ ккал/град*, ΔT — подъем температуры с поправкой на теплообмен, $\varphi_{\text{н}}$, $\varphi_{\text{ННО}}$, и $\varphi_{\text{г}}$ — поправки на теплоты, соответственно сгорания хлопчатобумажной нити (4000 кал/г), образования азотной кислоты (0,97 кал для всех опытов) и гидратации образующейся SiO_2 (1,4 ккал/моль [5]); $\varphi_{\text{НNO}}$, $\varphi_{\text{СKNO}}$ — поправки на теплоемкости, соответственно взятого в бомбе раствора HNO_3 (20 мл 0,5 N, принято 20 кал/град.г) и окислителя KNO_3 (23,01 кал/град.моль [6]).

Полученное значение: $\Delta U = -2573,6 \pm 3,4$ ккал/моль** или: $\Delta H_c = -2576,8 \pm 3,4$ ккал/моль.

Для вычисления энталпии образования вещества приняты значения (в ккал/моль): $\Delta H_{\text{CO}_2(\text{г})}^{\circ} = -94,052$; $\Delta H_{\text{H}_2\text{O}(\text{ж})}^{\circ} = -68,317$ [6]; $\Delta H_{\text{SiO}_2 \text{ кварц(тв)}}^{\circ} = -217,75$ [7]; $\Delta H_{\text{кварц-аморф. SiO}_2 \text{ (тв)}}^{\circ} = 2,17$ [8].

Стандартная энталпия образования трифенилэтоксисилана: $\Delta H_f^{298} = -203,0 \pm 3,4$ ккал/моль = -849 ± 14 кдж/моль.

Опыты показали, что этим методом достигается полное сгорание неорганических веществ. При этом к образцу помимо окислителя прибавлялся и глицерин в качестве вспомогательного вещества.

Этот метод, как бы объединяющий два основных калориметрических метода — сжигания и растворения, нам кажется, позволит устранить недостатки их обоих.

Данная работа проведена на водяном калориметре, приспособленном нами совместно с М. Я. Агаруновым для вращающейся бомбы. Для краткости мы ее описание здесь не приводим. Но хотим сказать несколько слов о другом калориметре, который предназначен для наших дальнейших измерений.

Это жидкостно-массивный калориметр с изотермической оболочкой, где калориметрический сосуд состоит из герметически закрытого блока-шара, наполненного жидкостью (четыреххлористым углеродом), перемешиваемой магнитной мешалкой.

Блок состоит из двух половин, которые после установления в них бомбы плотно соединяются защелками и на эbonитовых изоляторах фиксируется в оболочке, являющейся внутренней стенкой термостата, также шарообразной формы. Зазор между блоком и оболочкой — 10 мм. Термостат также состоит из двух наполненных водой и герметически закрытых половин, каждая из которых снабжена мешалкой, соединенной через сальниковое уплотнение с синхронным двигателем. Эти мешалки при помощи постоянных магнитов вращают и мешалки, находящиеся внутри полушариев блока.

В начальный период опыта бомба стоит вертикально при горизонтальном положении границ соприкосновения полушариев оболочки и блока-сосуда. После сжигания образца при помощи простого приспособления калориметр наклоняется на 45° и пускается во вращательное движение вокруг горизонтальной оси. Поэтому бомба одновременно с вращательным движением проделывает и движение качания.

Термометры (параллельно соединенные между собой термисторы [10]) и нагреватели (все токоподводы через скользящие контакты)

* Изотермическая — при 25°C теплота сгорания бензойной кислоты принята равной 6318 кал/г (взвешивание в вакууме); 1 кал = 4,1840 дж.

** Погрешности выражают удвоенные стандартные отклонения:

$$\pm 2 \sqrt{\sum \Delta^2 / n} (n-1).$$

блока и оболочки состоят каждый из двух равных частей, размещенных в верхней и нижней половинах обоих шаров.

Конусообразная форма и пружинное соединение половин указанных элементов способствуют хорошему тепловому контакту с их гнездами, симметрично впаянными в плоскую границу соприкосновения полушариев, блока и оболочки.

Этот калориметр, являющийся намного более чувствительным и менее сложным, чем существующие, по-видимому, объединит в себе преимущества жидкостного и массивного металлического калориметров, в то же время исключая недостатки их обоих.

ЛИТЕРАТУРА

1. Гаджиев С. Н., Агарунов М. Я. „Ж. физ. химии“, 39, 239, 1965.
2. Thompson R. J. Chem. Soc., 1908, 1953. 3. Tanaka T., Watase T. Bull. Chem. Soc. Japan, 28, 258, 1955. 4. Tappelbaum S., Kaye S., Lewenz, G. J. Amer. Chem. Soc., 75, 3753, 1953. 5. Mulert. Z. anorg. Chem., 75, 198, 1912. 6. Rossini F. D., Wagman D. D., Evans W. H., Levine S., Jaffe J. Selected Values of Chemical Thermodynamic Properties, NBS, Circ. 500, Washington, 1952. 7. Wise S., Marggrave F., Feder H., Hubbard, W. J. Phys. Chem., 66, 381, 1962. 8. King E. J. Amer. Chem. Soc., 73, 656, 1951. 9. Кубашевский О. и Эванс Э. Термохимия в металлургии, ИЛ, 1954. 10. Гаджиев С. Н., Агарунов М. Я., Шарифов К. А. „Ж. физ. химии“, 36, 887, 1962; 37, 2368, 1963.

Институт физики

Поступило 25. IV 1966

С. Н. Ыачыев

Элемент үзүи бирләшмәләринин јандырылмасы калориметријасына даир

ХУЛАСӘ

Сүлб вә јүксәк гајнама температурлу маје силиснум үзүи бирләшмәләринин калориметрик јандырылмасы үсулу ишләнмишdir. Бу үсул тәдгиг едилән бирләшмәни калиум-нитрат, аммониум-перхлорат кими күчлү оксидләшдиричи гејри-үзүи маддәләрлә гарышыг шәкилдә јандырмaga эсасланыр. Тәдгигат, ади үсуллардан фәргли олараг, һәмин үсулун там јанма элдә етмәјә имкан вердијини көстәрир.

Бу үсулла тәдгиг едилмиш трифенилэтоксисилан үчүн белә нәтиҗәләр алышынышдыр: јанма истилиji $\Delta U = -2573,6 \pm 3,4$ ккал/мол, яхуд $\Delta H_{\text{Jan}} = -2576,8 \pm 3,4$ ккал/мол.

Маддәний стандарт эмәләкәлмә енталпијасы: $\Delta H_f^{298} = -203,0 \pm 3,4$ ккал/мол = -849 ± 14 кд/мол-дур.

СТРАТИГРАФИЯ

К. А. АЛИЗАДЕ, Г. М. КАСУМОВА, Г. Л. РАСУЛОВ

СООБЩЕНИЕ О СОСТАВЕ ФЛОРЫ ВЕРХНЕПЛИОЦЕНОВОЙ ЭПОХИ АЗЕРБАЙДЖАНА

Верхнеплиоценовые отложения пользуются широким распространением в пределах депрессионных зон Азербайджана.

Фациально эти отложения представлены как морскими, так и континентальными образованиями и имеют колоссальную мощность (около 3000 м).

Вопросы тектоники, литологии, фауны этих отложений достаточно хорошо изучены многочисленными специалистами, а ископаемые растения плиоценовых отложений до последнего времени оставались крайне недостаточно исследованными и по ним имеются очень скучные и разрозненные сведения.

Первые сведения о флоре плиоценовой эпохи Азербайджана можно найти в работе Н. И. Андрусова [1, 2].

Впервые Н. И. Андрусовым из плиоценовых отложений Апшеронского п-ова были обнаружены представители двух родов ацикулярий и овулитес—сифоновых водорослей.

И. Стрижков [15] посетил Нафталанское месторождение, откуда он приводит из акчагыльских отложений *Acicularia italicica* Clerici и характерную фауну.

Находки *Acicularia italicica* Clerici из акчагыльских отложений Азербайджана (Апшеронский п-ов, Нафталан, ущелье Назарлеби) известны также из работ К. А. Ализаде [3, 4], В. А. Сулина и Б. И. Султанова, А. А. Меликова и др. Позже она описывается В. Э. Ливенталем в 1934 г., который указывает наличие *Acicularia italicica* Clerici, *A. azerbaijanica* Livental, *A. andrusovii* Livental, *Ovulites renata* Livental. из плиоцена. Нахождение этих видов сифоновых водорослей свидетельствует о том, что в плиоценовой эпохе на Апшеронском п-ве существовало мелкое море с нормально соленой водой.

В 1915 г. И. В. Палибин опубликовал материал с отпечатками листьев, собранных Л. К. Конюшевским из акчагыльских отложений в р-не Кировабада у сел. Касум-бейли. Им определены следующие виды растений: *Fagus orientalis* Lipsky, *Quercus* sp., *Prunus spinosa* L., *Salix alba* L., *Punica granatum* L.

В. В. Богачев в своей работе (1915 г.), посвященной геологическому строению бывшего Арешского уезда, приводит определение фло-

ры из акчагыла Нафталана, произведенное А. И. Шишкой-Богачевой: *Fagus orientalis* Lipsky, *Salix alba* L., *Prunus spinosa* L., *Punica granatum* L.

В 1923 г. И. М. Губкин, изучая геологическое строение Нафталанского нефтяного месторождения, из акчагыльских отложений, определил характерные виды из фауны и *Acicularia italicica* Clerici.

Далее, в 1928 г. В. П. Батуриным из верхнеапшеронских отложений бассейнов рек Геокчай и Гирдыманчай были обнаружены отпечатки листьев, которые определены В. В. Богачевым как *Ilex aquifolium* L.

Этот вид в настоящее время растет в Талыше (Г. М. Касумова, 1961).

Из верхнеапшеронских отложений р. Самур, ниже сел. Зайхури и Аджинаури в 1930 г. И. В. Палибин описал отпечатки листьев *Acer insignis* Boiss et Buhse, *Viburnum orientale* Pall.

В 1932 г. К. А. Ализаде в р-не Нафталан в вулканических пеплах акчагыльского возраста обнаружены представители сифоновых водорослей *Acicularia italicica* Clerici и цветковых растений: *Salix alba* L., *Fagus orientalis* Lipsky, *Prunus spinosa* L.

В 1954 г. в своей работе К. А. Ализаде на основании определения коллекции З. А. Шишовой указывает на наличие в акчагыльских отложениях Ясамальской долины и хребта Боздаг диатомеи: *Melosira orthostroma* (cf. *expectata*) A. S., *Nitschiha* sp., *N. vermicularis* Kug. Нап., *Navicula (Diploneis) diguma* Ehr., *Triceratium* sp., *Hantzschia amphioxys* (Kutz.) Gr.

В. А. Гориным в апшеронских отложениях Дуздага были встречены отпечатки листьев *Zosteria* sp., *Platanus orientalis* L.

Отпечатки бобов *Robinia regellii* Heeg., собранные Д. Д. Джадаровой в 1963 г. из плиоцена Нахичеванской АССР, были определены Г. М. Касумовой.

Все эти находки показывают, что плиоценовые отложения, распространенные на территории Азербайджана, изобилуют остатками ископаемых растений.

С целью выяснения биостратиграфического подразделения, в 1962 г. было начато систематическое изучение плиоценовой флоры Азербайджана Г. М. Касумовой и О. Б. Башировым.

В 1963 г. О. Б. Башировым из апшеронских отложений в хребте М. Харами были обнаружены многочисленные оогонии сине-зеленой водоросли *Tectochara merianii* L. cf. *N. Grambast*, *Tectochara diluviana* (Müller) L. *Grambast Dolfus* et Fritzel. (определение Г. М. Касумовой).

О. Б. Башировым [7] из верхнего апшерона Ханларского р-на (Боздаг) были определены около 20 видов одно- и двудольных растений.

На основании определения только *Populus Hyrcana*, *Pterocarya pterocarpa* из этой коллекции, он делает вывод о чрезвычайной близости апшеронской флоры к современной лесной растительности Талыша; такой вывод мы считаем преждевременным.

В 1964 г. Г. Л. Расуловым было обнаружено уникальное местонахождение с отпечатками листьев в верхней части среднего апшерона в р-не Мингечаур.

Кроме указанных месторождений, в 1964 г. К. А. Ализаде и Г. М. Касумовой были собраны из слоев вулканического пепла и песчаников акчагыльского возраста нафталан отпечатки листьев ископаемых растений.

В том же году Г. М. Касумовой удалось обнаружить отпечатки листьев по дороге г. Нуха (с. Б. Дахи).

Из всех вышеуказанных местонахождений в результате частичной обработки материала Г. М. Касумовой удалось определить более 40

видов ископаемых растений: *Salvinia tuberculata* Nikit., *Cladium palaeariscus* Дотор., *Cyperus sp.*, *Pinus pithusa* Stek., *Phragmites communis* Trin., *Typha latifolia* L., *Iris sp.*, *Alnus cf. glutinosa* Gaertn., *Quercus cerris* L. (*mun castaneifolia*), *Q. cerris* L. (тунда узко-длинно-остроопасные). *Quercus zemplenensis* Cziffery, *Castanea sativa*, L., f. *Ulmus carpini*. *folia* Goepf., *Carpinus orientalis* Mill., *Viscum album* L., *Loranthus europaeus* L., *Mahonia cf. heterophylla* Kol., *Mahonia fortunei* (Lindl.) Fedde., *Parrotia persica* (DC.) C. A. M., *Amygdalus communis* L., *Amelanchier rotundifolia* (Lam.) Dum.-Cours., *Rosa mynri-cantha* D. C., *Crataegus* sp., *Robinia refelli* Herr (отпечаток боб) *Robinia refelli* Heer (отпечаток листа), *Citrophyllum apscheronica* sp. nov., cf. *Cotinus coggyria* L., *Ilex aquifolium* L. forma pliocenica *Acer ibericum* M. B., *Acer campestris* L., *Ziziphus jujuba* Mill., *Frangula grandifolia* (Fisch et Mey) Grub., *Daphna cneorum* L., *Punica granatum* L., *Populus nigra* H., *P. euphratica* Oliv., *P. alba* L., *P. tremula* L., cf. *Salix wilhelmsiana* M. B. *Arbutus elegans* Kol. *Hippophae rhamnoides* L., *Fraxinus excelsior* L., *Crataegus* sp.

Полученные данные позволяют авторам уточнить состав растительного покрова, существующего в плиоценовой эпохе на территории Азербайджана.

С другой стороны, эти сведения дают возможность предварительно выделить комплекс видов ископаемых растений как ашеронского, так и акчагыльского ярусов в отдельности.

ЛИТЕРАТУРА

1. Аидрусов Н. И. Ископаемая форма ацетабулярии как породообразующий организм. Ann. d. K. K. Naturhistor. Hofmuseums. Wien, 2, 1887.
2. Аидрусов Н. И. Материалы к познанию Прикаспийского неогена. Труды геол. ком., 15, №4, 1902.
3. Ализаде К. А. Некоторые новые виды фауны в акчагыле (на азерб. яз.). "Изв. АКНИ", вып. 1 (2), 1932.
4. Ализаде К. А. Фауна акчагыльских слоев Нафталана. Труды АзНИИ, вып. XXXIII, 1936.
5. Ализаде К. А. Акчагыльский ярус Азербайджана. Изд. АН Азерб. ССР, 1954.
6. Ализаде К. А. О находке известковой водоросли *Acicnularia italicica* в акчагыльских отложениях Мильтской степи. ДАН Азерб. ССР, 1961, т. 13, № 4.
7. Баширов О. Б. Новые данные о ашеронской флоре Азербайджана. № 7, 1964, т. XX.
8. Губкин И. М. Нафталаинское нефтяное месторождение. НСХ, № 6, т. IV, 1923.
9. Касумова Г. М. История изученности флоры кайзойских отложений Азербайджана. Уч. зап. АГУ серия геол. геогр. наук, № 6, 1961.
10. Ливенталь В. Э. Ископаемые известковые водоросли в плиоцене Азербайджана. ДАН СССР, 51, № 2, 1949.
11. Маслов В. П. Ископаемые известковые водоросли СССР. Труды Ин-та геол. наук, вып. 160, АН СССР, 1956.
12. Палибин И. В. Некоторые данные о плиоценовой флоре восточного Закавказья. "Изв. Кав. музея", VIII, Тифлис, 1915.
13. Палибин И. В., Петров Л. С., Циррина Т. С. Растительные остатки из акчагыльских отложений Кили-Купровского нефтяного юра. Кахетии. Труды НГРИ. Палеобот. сб., вып. 1, 1934.
14. Расторгуев Г. А. Геологическое строение и перспективы нефтегазоносности Прикуринского района Западного Азербайджана. Канд. дисс., 1963.
15. Стрижов И. Н. О геологическом строении и нефтеносности местности к югу от ст. Герань. Зап. Киевск. об-ва естеств. наук, т. XII, вып. 4, 1910.

Институт геологии

Поступило 13 X. 196

Г. Э. Элизадэ, К. М. Гасымова, Н. Л. Ресулов

Азэрбајҹаның Үст Плиосен дөврүнүн битки тәркиби нағында хәбәр

ХУЛАСЭ

Мүэллилләр чөл тәдгигат ишләри нәтиҗәсindә топладыглары зәнкүн газынты битки нөвләри әсасында Азэрбајҹанда Үст Плиосен дөврүндә кениш јајылмыш биткиләр аләми нағында илк дәфә олараг әтрафы мә’лumat верирләр.

Тә’јин едилмиш һәмин битки комплекси Ағчакиль вә Ашерон дөврләrinи ајры-ајрылыгда сәчијјәләндирдијинә көрә хүсуси стратиграфик әһәмијјәтә малиkdir.

ЛИТОЛОГИЯ

Ш. Ф. МЕХТИЕВ, Д. М. СУЛЕЙМАНОВ, Э. А. МКРТЫЧЯН

ОРГАНИЧЕСКОЕ ВЕЩЕСТВО В СОВРЕМЕННЫХ ДОННЫХ ОСАДКАХ МИНГЕЧАУРСКОГО ВОДОХРАНИЛИЩА

Изучение характера органического вещества современных осадков Мингечавурского водохранилища, его накопление, распределение и изменение состава в зависимости от физико-географических факторов и условий среды имеет важное значение для познания интенсивности и направленности физико-химических и биохимических процессов, протекающих в грунте.

Исследование было подвергнуто 70 образцов донных осадков. Из биогенных элементов были определены: органический углерод, общий азот и общий фосфор. Органический углерод определялся методом сожжения по Кнопу, азот — по Кельдалю, фосфор — колориметрически с молибдатом. Для выяснения количественного содержания органического вещества сделан пересчет полученных данных по органическому углероду путем умножения их на условный коэффициент 1,724.

Наибольшее содержание биогенных элементов наблюдается в осадках северо-западной части водохранилища — в районе расположения устьев рек Куры, Иори и Алазани.

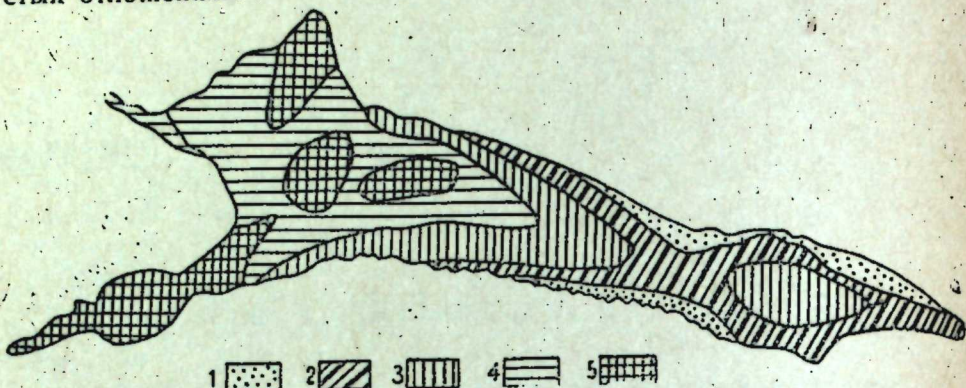
В юго-восточную часть водохранилища доходит лишь незначительное количество тонкозернистой взвеси, обогащенной также биогенным материалом.

Среднее содержание биогенных компонентов в осадках Мингечавурского водохранилища дается в таблице.

Глубина, м	С орг., %	N, %	C/N	Орг. вещ.	CaCO ₃ по CO ₂ , %	P, %	Фрак. <0,01 м.м., %	Кол. опр.	Тип грунта
28,20—57,45	1,21	0,19	5,98	2,09	4,87	0,26	91,582	13	Глинистый ил
14,55—53,20	0,84	0,21	4,39	1,42	5,24	0,21	80,026	30	Алеврито-глинистый ил
7,20—46,30	0,80	0,29	4,03	1,11	6,43	0,17	74,442	16	Алеврит
5,60—37,15	0,76	0,29	5,54	1,22	6,64	0,12	52,340	11	Песок

Как видно из таблицы количество биогенных элементов в грунтах увеличивается по мере повышения содержания тонкодисперсной фракции.

Содержание органического углерода <0,50% отмечается вдоль берегов юго-восточной части водохранилища (рисунок), что объясняется небольшим его содержанием в ашшеронских песчано-глинистых отложениях.



Схематическая карта распространения органического углерода в современных донных осадках Мингечаурского водохранилища:

1 — <0,25%; 2 — 0,25—0,50%; 3 — 0,50—0,75%; 4 — 0,75—1%; 5 — >1%.

Содержание С_{орг.} в интервале от 0,50 до 1,0% наблюдается в северо-восточной и центральной частях водохранилища, а также в виде небольшого пятна в Ханабадском заливе, что связано с разложением донных и планктонных организмов, и, наконец, наибольшее содержание С_{орг.} >1,0% установлено в зоне расположения устьев рек, впадающих в водохранилище. Подобное площадное распространение С_{орг.} свидетельствует как о автохтонной, так и аллохтонной природе органического материала.

Содержащийся в грунтах органический материал кроме небольшой примеси жиров, восков, масел, углеводов, в основной своей массе состоит из азотистых соединений и веществ гуминового характера.

Содержание азота в грунтах дна водоема колеблется в больших пределах, т. е. от 0,05 до 0,71%. Причем, наибольшее его количество (0,15—0,20%) связано с алевритами и песками северо-западной части водохранилища и Ханабадского залива. Содержание азота в пределах 0,10—0,15% имеет широкое распространение по всей площади водоема. Наименьшее его количество (0,05—0,10%) установлено вдоль берегов центральной части водохранилища.

Значительное содержание азота в грунтах объясняется белковой природой органики.

В формировании окислительно-восстановительной обстановки при разложении органического вещества в осадке значительную роль играют не только количественное его содержание, но и общие физико-географические условия седиментации.

Верхний слой ила имеет жидкую консистенцию и светло-бурый цвет, который книзу переходит в серый. Разница в цвете обусловлена тем, что при разложении органического вещества восстановительные процессы, происходящие во внешних слоях, захватывают и содержащееся в организмах железо, переводя окисные его формы в закисные. Присутствие последнего является причиной изменения окраски ила.

При малом содержании органического вещества в осадках граница между окисленным и восстановительным слоями выражается довольно резко.

О происхождении органического вещества и степени его разложения можно судить по отношению С/N. Наибольшая степень раз-

ложения органического материала отмечается в центральной части водохранилища, где величина С/N варьирует в пределах 6,17—12,13. На остальной площади водоема величина С/N колеблется в пределах от 0,94 до 5,97, что свидетельствует о продолжающемся разложении растительного детрита и животных организмов.

Гумус, содержание которого варьирует в пределах (0,51—2,66%), образуется за счет органических веществ из животных и растительных остатков как самого водоема, так и за счет речных вод.

Скорость образования гумусных веществ, связанных с иллистыми грунтами, различна, что зависит от условий накопления и разложения органического вещества. Значительную роль при этом играют изменчивость рельефа дна водоема, различие в степени проникновения кислорода, интенсивность бактериальных процессов и содержания в них органического углерода, а также процессы миграции гуминовых веществ в донных осадках. В частности, с продуктами гумуса связаны полуторные окислы соединений кальция и серы.

Малое содержание битума (0,0003—0,0025%) в исследованных грунтах объясняется как незначительным количеством органического углерода, так и характером преобразования последнего.

Произведенные исследования современных донных осадков Мингечаурского водохранилища позволили на их примере установить тесную связь в распределении органического вещества с гидродинамическим режимом, рельефом дна, физико-химическими и химикобиологическими процессами, происходившими в водоеме, а также зависимость от состава размываемых пород и характера их преобразования.

Таким образом, органические компоненты, установленные в составе современных донных осадках Мингечаурского водохранилища, образовались в результате накопления и переработки животного и растительного детрита. Одновременно необходимо отметить, что некоторое количество органики в осадках поступило уже в виде преобразованного материала вместе с кластической составляющей, транспортируемой в водоем реками.

ЛИТЕРАТУРА

1. Вебер В. В. Накопление и преобразование органического вещества в современных морских осадках. Гостоптехиздат, 1956.
2. Горская А. И. Исследование органического вещества современных осадков. В кн. „К познанию современных аналогов нефтеносных фаций“. Гостоптехиздат, 1950.
3. Жабрев Д. В., Мехтиев Ш. Ф. К битуминологии третичного комплекса Азербайджана. Изд. АН ССР, 1959.
4. Мехтиев Ш. Ф., Дигурова Т. М., Потапова В. И. Органические компоненты осадочных пород Азербайджана. Изд. АН Азерб. ССР, 1958.
5. Пашалы Н. В. К вопросу распределения органического вещества в четвертичных отложениях Бакинского архипелага. Изд. АН Азерб. ССР, № 1, 1957.
6. Страхов Н. М., Радионова К. Ф. К геохимии органического вещества. Еюлла. Москов. общ.-ва исп. прир. Отдел геологии, т. XXIX (2), 1954.
7. Сулейманов Д. М. Органические компоненты в донных отложениях западного побережья южного Каспия. ДАН Азерб. ССР, 1965, т. VII, № 9.
8. Султанов А. Д. Литология продуктивной толщи Азербайджана. Изд. АН Азерб. ССР, 1949.

Поступило 15. IV 1966

Институт геологии

Ш. Ф. Мехтиев, Д. М. Сулейманов, Е. А. Мкртычян

Минкәчевир су йөвзәсинин мүасир дуб чөкүнүләриндә үзви галыглар

ХҮЛАСЭ

Мәгаләдә Минкәчевир су йөвзәсинин мүасир дуб чөкүнүләриндә үзви галыгларын тәркибинә дахил олан эсас биоцен элементләrin өјрәнилмәси нәтиҗәси тәһлил едилмишdir. Үзви галыгларын харак-

теринин, онун јајылмасы, динамикасы, топланмасы вә физики-чөрғи амилләрдән асылы олараг тәркибинин дәјишилмәсдинин елми вә халг тәсәррүфаты саһәләриндә бөյүк әһәмийјәти вардыр.

Биокен элементләрдән үзви карбон, үмуми азот вә фосфор тә'жин едилмишdir. Биокен элементләрин мигдары чөкүнтүләрдә олан кичик фраксија өлчүләринин азалмасы илә артыр.

Эн чох үзви галыглар Күр; Иори вә Алазан ҹајларынын мәнсәб зоналарында јајылмышдыр ки, бу да онун су артеријалары васитәсилә кәтирилмәси вә суда батмыш ағачларын интенсив чүрүмәси илә әлагәдардадыр.

Грунт тәркибиндә олан үзви материал јағларын, мумларын вә карбоидрат гарышыбындан башга, әсас е'тибарилә азот бирләшмәләри вә һумус маддәләрindән тәшкىл олунмушшур.

Үзви галыгларын мәншәји вә онларын чүрүмә дәрәчәси С/Н илә изаһ олуна биләр. Су һевзәсиин мәркәзи һиссәсиин бә'зи саһәләрindә үзви галыгларын даһа чох чүрүмә дәрәчәси гејд олунур.

Бөйүк мигдара малик олмајан һумус һевзәни чанлы вә битки галыгларынын чүрүмәси нәтиҗәсindә топланыр, һәм дә һевзәјә ҹајлар васитәсилә кәтирилир. Гејд етмәк лазымдыр ки, чөкүнтүләрдә битумин мигдары йүксәк дејилдир (0,0003—0,025%).

М. М. АЛИЕВ, О. Б. АЛИЕВ, Х. АЛИЮЛЛА

К СТРАТИГРАФИИ МЕЛОВЫХ ОТЛОЖЕНИЙ ВЕРХОВЬЕВ
р. ТУТХУН (МАЛЫЙ КАВКАЗ)

Изучением меловых отложений верховьев р. Тутхун занимались К. Н. Паффенгольц, Э. Ш. Шихалибейли, А. Г. Халилов и др. В последние годы в этом районе геологическую съемку проводили О. М. Гамзаев и Г. И. Аллахвердиев. В опубликованных работах А. Г. Халилова [2, 3] и Э. Ш. Шихалибейли [4] приводится разрез альбских отложений верхнего течения р. Тутхун бассейн р. Далидагсу, описанный в осевой части антиклинальной складки, и указывается на их широкое развитие в этом районе. В нижней части разреза, выраженной известняково-аргиллитовой серией пород, упоминаются *Puzosia cf. quenstedti* Раг. et Волаг., *Neohibolitooides cf. styloides* Репп. и ауцеллины, на основании чего эти слои относились к нижнему (?) и среднему альбу. К верхнему же альбу условно относилась аргиллитово-песчаная серия пород мощностью 353 м.

В результате проведенных нами в 1964—1965 гг. исследований в бассейне р. Далидагсу был собран дополнительный палеонтологический материал, позволивший уточнить стратиграфию меловых отложений этого участка. Из комплекса отложений, ранее относимых к среднему альбу, нами выявлена фауна цеокомского, верхнеальбского, сеноманского и туронского возрастов, состоящая из аммонитов, белемнитов, ауцеллинов, иноцерамов и фораминифер. Ауцеллины определены А. Г. Халиловым, фораминиферы — Х. Алиюлла. Остальная фауна была определена О. Б. Алиевым.

Ниже приводится разрез меловых отложений по р. Далидагсу (юго-западнее сел. Човдар) (рисунок). Описание разреза начато в ядре крупной антиклинальной складки (северо-восточное крыло) и продолжено по левому склону русла р. Далидагсу. В осевой части антиклинали известняки неокома прорваны интрузией кварцевого диорита и под воздействием последнего сильно изменены. Здесь в ядре антиклинали выступают краевые фации интрузии-гранодиорит-порфир, окварцованный кварцевый порфир и др.

Неоком

1. Пачка толстослоистых, крепких светло-серых тонкозернистых органогенных и пелитоморфных известняков. Среди пачки встречаются отдельные слои литокристаллокластических, псаммитовых и алевролитовых туфов.

М.—35 м

2. Известняк темно-серый органогенный мелкозернистый, тонко-слоистый, крепкий, местами плитчатый, трещиноватый. М.—15 м

3. Микроконгломерат крепкий, с известковистым цементом, гальки состоят из окатанных обломков известняка и изверженных пород. М.—0,6 м

4. Известняк темно-серый, песчанистый, толсто-слоистый. В верхней части пачки наблюдаются прослои микроконгломерата с известковистым цементом и галькой, состоящей из изверженных пород. М.—20 м.

5. Известняк темно-серый, песчанистый, мелкозернистый, черный, толсто-слоистый, местами плитчатый, обычно крепкий, редко с включениями кремния.

В этой пачке обнаружены *Berriasella* (?) sp. ind., *Proteragonites* sp. ind., *Duvalia* cf. *lata* Blainv., *D.* sp. ind. М.—12,5 м

6. Известняк серый, часто с голубоватым оттенком, неровно-слоистый, трещиноватый, местами песчанистый, с редкими слоями пластика из туфопесчаника. Последний имеет литокристаллокластическую структуру и состоит из неокатанных зерен пластика, редко кварца и измененных цветных минералов (эпидота), скематизированных туфовыми материалами. М.—15 м

7. Пачка чередования светло-серых крепких мергелей, серых с голубоватым оттенком витрофировых туфов, серых, темно-серых, на поверхности с зеленоватым оттенком зернистых песчанистых известняков и слабоизвестковистых песчаников. Отложения альба, нижнего и среднего альба в данном разрезе, видимо, в результате тектонического нарушения отсутствуют. М.—17 м

Выше верхнеальбские отложения залегают на неполно представленных неокомских образованиях.

Верхний альб

8. Известняк темно-серый, почти черный, тонкозернистый, часто песчанистый, толсто-слоистый, местами неровно-слоистый, крепкий, трещиноватый, по трещинам ожелезненный. Верхняя часть несколько задернована. Местами черные известняки обнажаются небольшими выходами. Здесь встречены: *Puzosia* ex gr. *quenstedti* Par. et Bonat, *Neohibolito* des sp. М.—35 м

9. Известняк черный пелитоморфный, слоистый, местами плитчатый, крепкий, трещиноватый, на поверхности и по трещинам обычно покрыт окислами железа и пронизан кальци-

товыми прожилками. Редко встречаются прослои серых песчанистых известняков и известковистых туфов.

В известняках обнаружены: *Aucellina anthulai* Pavl., *A. aptensis* (Orb.), *A. pavlowi* Sok., *Puzosia* cf. *ptanulata* (Sow.), *Neohibolito* des *stylioides* Renng., *Inoceramus* cf. *concentricus* Park., *Variamission ninae* Karak., *Plicatula* ex gr. *girgitus* Pict. et Roux.

10. Пачка толсто-слоистых серых мелкозернистых органогенных известняков и черных пелитоморфных известняков с зернами пирита. В верхней части встречается пласт порфирового туфа. Отсюда обнаружены: *Puzosia* sp. ind., *Neohibolito* des sp., из флоры *Magnolia* sp. Последняя форма была определена И. В. Васильевым.

М.—38 м

М.—11 м

Сеноман

11. Мергель темно-серый, почти черный, оскольчатый неровно-слоистый, трещиноватый, на поверхности покрыт окислами железа. Отсюда определен *Neohibolito* des cf. *ultimus* Orb.

Из фораминифер встречаются: *Gyroidina nitida* (Reuss), *Anomalina* cf. *cuvillieri* Carb., *Hedbergella infracretacea* (Glaess.), *H. yanschachica* Al. (in litt.), *Thalmannella brotzeni* Sig., *Th. apenninica* (Renz), *Th. cf. micheli* (Sac. et Deb.), *Th. aff. reicheli* (Могн.) и др.

М.—9,5 м

12. Известняк серый слабопесчанистый, мелкозернистый, толсто-слоистый, крепкий, трещиновитый. М.—3,7 м

13. Мергель черный, оскольчатый неровно-слоистый, плотный, встречаются три прослоя серого песчанистого известняка.

Отсюда обнаружены: *Puzosia* sp., *Neohibolito* des *ultimus* Orb., *Plicatula* sp., а также фораминиферы: *Cibicides kerisensis* Vass., *Hedbergella* cf. *infracretacea* (Glaess.), *Praeglobotruncana stephani* (Gand.), *Thalmannella* cf. *brotzeni* и др.

М.—32 м

14. Аргиллит черный, оскольчатый, известковистый, неровно-слоистый, местами сильно перемятый, в нижней половине встречаются серые, песчанистые известняки. Здесь встречаются фораминиферы *Brotzenia* sp., *Anomalina* cf. *cenomanica* (Brotz.), *Hedbergella* cf. *infracretacea* (Class.), *Praeglobotruncana* cf. *stephani* (Gand.).

М.—16 м

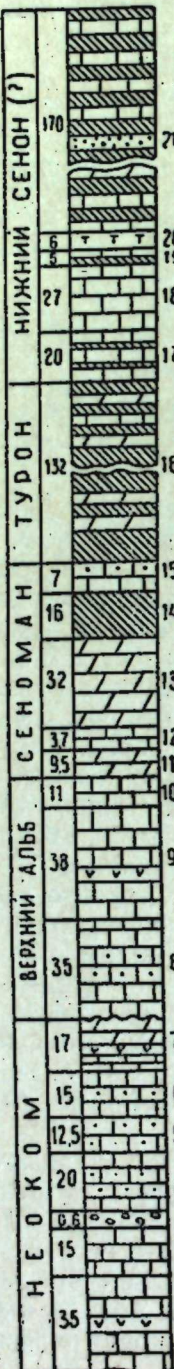
15. Известняк серый, зернистый, слегка песчанистый, толсто-слоистый, трещиноватый, кремнистый. М.—7 м

Турон

16. Пачка чередующихся сильно перемятых черных рассланцованных аргиллитов, перемятых раздробленных черных мергелей и серых кристаллических местами песчанистых известняков. Эта перемятая пачка на протяжении километра протягивается вдоль течения р. Далидагсу, местами она имеет обратное падение. Из нижней части этой пачки собрана микрофауна: *Stensioina praesculpta* (Kell.), *Anomolina berthelini* Kell., *Cibicides* ex gr. *excavatus* Brotz., *Rugoglobigerina hotzli* (Hagn.), *R. ordinaria* (Subb.), *Globotruncana renzi* Gand., *Gl. angusticarinata* Gand., *Gl. ex gr. helvetica* Böll и др.

В средней части встречаются единичные фораминиферы плохой сохранности: *Glomospira* sp., *Anomalina* sp., *Praeglobotruncana* sp., *Globotruncana* sp.

М.—132 м



Разрез по Далидагсу:
1 — известняк; 2 — мергель; 3 — туфы; 4 — известняк песчанистый; 5 — аргиллит; 6 — диоритовый порфирит; 7 — песчаник; 8 — конгломерат.

Нижний сенон (?)

17. Пачка слоистых черных крепких пелитоморфных известняков с прослойми черных оскольчатых аргиллитов. М.—20 м.

18. Известняк серый, местами слабопесчанистый, кристаллический, массивный, неслоистый, крепкий; выступает в виде карниза вдоль левого склона долины р. Далидагсу. М.—27 м.

19. Пачка чередующихся черных оскольчатых слабоизвестковистых аргиллитов и серых слоистых песчанистых местами кристаллических известняков. В верхней части пачки встречается пласт светло-серого пелитоморфного известняка. М.—5 м.

20. Поток диоритовых порфириров. Структура полнокристаллическая, порфировая. Порфировидные вкрапленники представлены сильно измененным плагиоклазом, цветными минералами. Порода хлоритизирована. М.—6 м.

21. Пачка чередования серых, местами темно-серых песчанистых кристаллических крепких слоистых известняков и черных оскольчатых аргиллитов. Встречаются слои черных, темно-серых мергелей, зеленовато-серых известковистых плитчатых песчаников и конгломератов с галькой изверженных пород. Местами в слоях аргилита встречаются мелкие гальки. М.—170 м.

Выше на нижнем сеноне в виде небольшого останца несогласно залегает покров сильноизмененного кальцитизированного дакита эоценового возраста. Макроскопически порода белого цвета, массивная трещиноватая. Мощность достигает до 40 м.

Неокомский возраст слоев (пп. 1—7) устанавливается по присутствию *Duvalia cf. lata* Bainv., которая характерна для неокома Средиземноморской провинции. Неполная мощность неокома здесь составляет 115 м. Такая сравнительно малая мощность неокома объясняется не вскрытием более низких горизонтов неокома в ядре антиклинали.

В приведенном разрезе отсутствуют также более высокие горизонты неокома, кроме того отсутствуют апт, нижний и средний альб. Этот перерыв скорее можно объяснить проходящим, видимо, здесь тектоническим нарушением.

К верхнему альбу относятся слои (пп. 8—9) с *Aucellina anthulai* Pavl., *A. aptiensis* (Orb.), *A. paulovi* Sok., *Neohibolitoides cf. styloides* Renng., которые в целом указывают на средний и верхний альб. Но вспомогательные вместе с ними характерные верхнеальб-сеноманские *Puzosia cf. planulata* (Sow.) и *Variamussium pinae* Karak. в целом указывают на верхний альб.

Переход от верхнего альба к сеноману постепенен. Последний (пп. 11—15) устанавливается на основании *Neohibolitoides ultimus* (Orb.) и характерного комплекса микрофауны *Anomalina cf. cuvilliéri* Carb., *Cibicides kerisensis* Vass., *Thalmanninella brotzeni* Sig., *Th. appenninica* (Renz), *Praeglobotruncana stephani* (Gand.) и др., которые, появляясь в сеномане, не встречаются в верхнем альбе.

Туронский ярус (п. 16) обосновывается присутствием здесь характерной микрофауны *Stensioina praesculpta* (Kell.) *Globotruncana renzi*, Gand., *Gl. angusticarinata* Gand., *Anomalina berthelini* Kell. и др.

Выше согласно следует известняково-аргиллитовая серия пород, условно нами относимая к нижнему сенону.

ЛИТЕРАТУРА

1. Паффенгольц К. Н. Геология Армении. Госгеолиздат, 1948.
2. Халилов А. Г. О фауне и стратиграфии альбских отложений бассейна р. Тутгун. ДАН Азерб. ССР, т. X, № 3, 1954.
3. Халилов А. Г. Нижнемеловые отложения азербайджанской части Малого Кавказа. Изд. АН Азерб. ССР, 1959.
4. Шихалибейли Э. Ш. Геологическое строение и история тектонического развития восточной части Малого Кавказа, т. 1. (Стратиграфия мезокайнозойских отложений). Изд. АН Азерб. ССР, 1964.

Институт геологии.

Поступило 18. V 1965

М. М. Элијев, О. Б. Элијев, Х. Элијулла

Тутгунчајын јухары ахынындакы Тәбашир чөкүнтуләринин стратиграфијасына даир

ХУЛАСӘ

Дәлидағы чајы һөвзесіндә апарылан тәдгигатлар нәтичесіндә мүэллифләр Тәбашир чөкүнтуләриндән аммонит, белемнит, ауселлина, иносерамус, фораминифера галыгларыны ашкар етмиш вә бунун әсасында Тәбашир лајларыны стратиграфијасыны дәғигләшdirмишләр.

Мүэллифләр һәмин саңадә әvvәлләр Алба аид едилән чөкүнтуләрин Неоком, Јухары Алб, Сеноман, Турон вә Ашағы Сенон Іашлы олмасыны сүбут едиrlәр.

ГИДРОГЕОЛОГИЯ

Д. М. СУЛЕЙМАНОВ, В. А. ЛИСТЕНГАРТЕН

О ХИМИЧЕСКОМ СОСТАВЕ АТМОСФЕРНЫХ ОСАДКОВ
АПШЕРОНСКОГО ПОЛУОСТРОВА

(Представлено академиком АН Азербайджанской ССР М. А. Кашиаем)

При изучении процессов формирования химического состава подземных вод и миграции химических элементов в зоне аэрации большое значение придается величине и характеру минерализации атмосферных осадков.

На территории Апшеронского полуострова эпизодические определения химического состава осадков были проведены в 1947—1948 гг. Л. К. Блиновым [2] и в 1961—1963 гг. Щ. М. Агаевым и И. Н. Степановым [1]. Однако по их данным невозможно достаточно точно судить о количестве солей, поступающих с метеорными водами на поверхность земли.

Наши исследования проводились в двух пунктах полуострова — в г. Баку и в районе севернее с. Новханы. Всего был проанализирован химический состав 55 проб дождевых и снеговых вод.

Как показало сравнение результатов наших анализов, общая минерализация метеорных вод в этих районах была приблизительно одинаковой. Близость моря, при преобладании характерных для полуострова ветров северных румбов, сказывалась лишь на повышенном содержании иона Cl' в пробах из района с. Новханы.

Величина сухого остатка в пробах изменялась от 56 до 208 mg/l , pH — от 5,5 до 6,9. Содержание отдельных компонентов варьировало в значительных пределах, причем увеличение величины общей минерализации шло в основном за счет возрастания содержания ионов HCO_3' , SO_4' , $\text{Na}^+ + \text{K}^+$ и Ca^{++} (рис. 1).

Содержание анионов в подавляющем большинстве случаев изменилось в следующем порядке: $\text{HCO}_3' > \text{SO}_4' > \text{Cl}'$. В отношении катион-

нов наблюдалась следующая закономерность: при общей минерализации до 70 mg/l — $\text{Ca}^{++} > \text{Na}^+ + \text{K}^+ > \text{Mg}^{++}$, при больших значениях ее — $\text{Na}^+ + \text{K}^+ > \text{Ca}^{++} > \text{Mg}^{++}$. Часто Mg^{++} вообще отсутствовал. Экстремальные и средние значения содержания отдельных ионов приведены в табл. 1.

Таблица 1

Ионы	Cl'	SO_4'	NO_3'	HCO_3'	$\text{Na}^+ + \text{K}^+$	Mg^{++}	Ca^{++}	Сухой остаток
Экстремальные значения, mg/l	2—21	6—64	0—7	24—158	1—61	0—5	2—42	56—208
В среднем за год, mg/l	7,1	17,6	0,6	63,1	20,7	1,5	11,9	102,1

В годовом разрезе наблюдается хорошо выраженная обратная зависимость между ходом осадков, с одной стороны, и среднемесячными значениями общей минерализации их, содержанием ионов HCO_3' и $\text{Na}^+ + \text{K}^+$, с другой. Содержание остальных ионов в течение года не претерпевает значительных изменений, несколько возрастая лишь в летний период (рис. 2).

Апшеронский полуостров с трех сторон омывается Каспийским морем, что накладывает заметный отпечаток на ход всех климатических процессов, в том числе и на состав солей атмосферных осадков. Значительная часть обнаруженных в составе метеорных вод хлоридов и весь магний, по-видимому, поступают в атмосферу с моря, благодаря механическому испарению. Другим вероятным источником хлоридов являются широко развитые на полуострове солончаки и соленые озера.

Важную роль в формировании солевого состава осадков играют сосредоточенные на Апшероне многочисленные нефтеперерабатывающие, сажевые, цементные и другие заводы и предприятия, выбросы которых в значительной степени состоят из окислов углерода и сернистых соединений.

Если учесть, что в среднем за многолетие на Апшеронском полуострове выпадает за год около 200 мм осадков и пересчитать обнаруженные в метеорных водах ионы и гипотетические соли, то окажется, что за год на поверхность земли поступает более 182 кг/га солей, из них 12,9% приходится на долю NaCl (табл. 2).

Если бы эти соли целиком оставались в поверхностной полуметровой толще пород, то количество их достигло бы 1% всего за семь столетий.

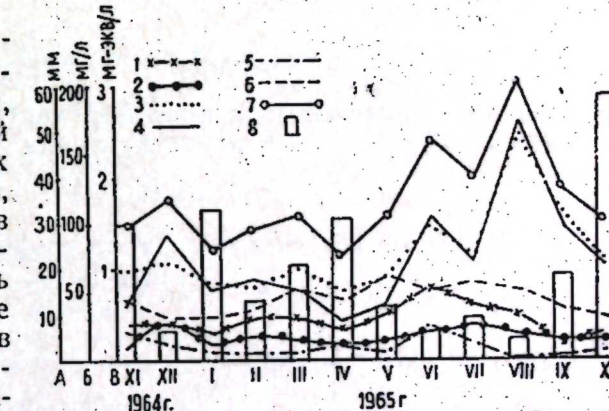


Рис. 2. Сезонное распределение осадков (ордината A), годовой ход среднемесячной общей минерализации их (ордината B) и содержание ионов (ордината В):

1 — Cl' ; 2 — SO_4' ; 3 — HCO_3' ; 4 — $\text{Na}^+ + \text{K}^+$; 5 — Mg^{++} ; 6 — Ca^{++} ; 7 — Si ; 8 — сумма осадков, мм.

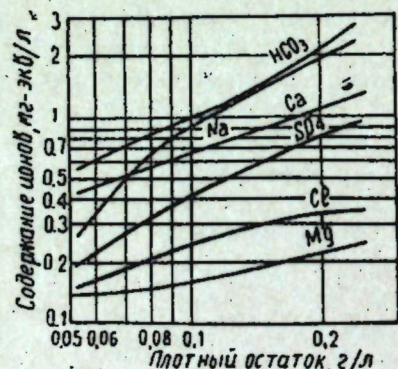


Рис. 1. График зависимости ионного состава атмосферных осадков от их общей минерализации (плотного остатка).

основном за счет возрастания содержания ионов HCO_3' , SO_4' , $\text{Na}^+ + \text{K}^+$ и Ca^{++} (рис. 1).

Содержание анионов в подавляющем большинстве случаев изменилось в следующем порядке: $\text{HCO}_3' > \text{SO}_4' > \text{Cl}'$. В отношении катион-

Таблица 2

Соли	NaNO ₃	NaCl	Na ₂ SO ₄	Na ₂ CO ₃	MgCO ₃	CaCO ₃	Всего
Поступает с осадками, кг/га	1,6	23,4	52,2	34,4	10,6	59,8	182,0
В % от общего количества	0,9	12,9	28,7	18,9	5,8	32,8	100,0

Таким образом, метеорные воды на Апшеронском полуострове являются одним из основных источников поступления солей в зону аэрации и принебрегать влиянием этого фактора при решении вопросов мелиорации почв, формирования грунтовых вод и т. д. не представляется возможным.

ЛИТЕРАТУРА

- Агаев Ш. М., Степанов И. Н. О химическом составе атмосферных осадков Азербайджана. *ДАН СССР*, 1964, 154, № 6.
- Блинов Л. К. О поступлении морских солей в атмосферу и о значении ветра в солевом балансе Каспийского моря. Труды Гос. океаногр. ин-та, 1950, вып. 15/27.

Институт геологии

Д. М. Сулейманов, В. А. Листенгартен

Абшерон јарымадасында атмосфер чөкүнтуләринин кимјәви тәркиби нағында

ХУЛАСЭ

Мәгәләдә атмосфер чөкүнтуләринин кимјәви тәркиби 1. XI 1964-чүндән 31. X 1965-чи ил тарихе гәдәр Бакы шәһәри вә Абшерон јарымадасынын шимал саһили бою Новханы кәнди районунда яғыш, гар суларындан көтүрүлмүш 55 нүмүнә әсасында характеризә едилмишdir. Нүмүнәләрдә гуру галығын мигдары 56 мг/л-дән 208 мг/л-ә гәдәр, pH 5,5–6,9, Cl 2–21, SO₄ 6–64, NO₃ 0–7, HCO₃ 24–158, Na⁺+K⁺ 1–61, Mg 0–5 вә Ca²⁺ 2–42 мг/л арасында дәјишир.

Геjd етмәк лазымдыр. ки, бу чөкүнтуләрдә үмуми минераллашма кәмијјәтинын артмасы әсасән HCO₃, SO₄, Na⁺+K⁺ вә Ca²⁺ ионларынын артмасы илә паралел кедир.

Иллик кәсилишдә чөкүнтуләрин үмуми минераллашмасынын орта айлыг кәмијјәти яхшы мүшәнидә олунур.

Ил әрзиндә јарымаданын торпаг сәттинә метеор сулары илә бәрабәр, 182 кг/га мигдарда дузлар дүшүр. Онларын 12,9%-и NaCl неса-бынасы.

Беләликлә, аerasија зонасына, орадан да грунт суларына дузларын кәтирилмәсдинин әсас мәнбәләриндән бири атмосфер чөкүнтуләридир.

Р. А. ГАДЖИЕВ

АНОМАЛЬНЫЕ ЯВЛЕНИЯ В ГИДРОРЕЖИМНОМ РАЙОНЕ БАКИНСКОГО АМФИТЕАТРА

(Представлено академиком АН Азербайджанской ССР А. Д. Султановым)

Исследуя графики изменений режима уровней грунтовых вод Бакинского амфитеатра нами был встречен один график, иллюстрирующий особенно быстрый и неуклонный подъем уровня грунтовых вод за последнее десятилетие (1954—1964 гг.). Этот график, относящийся к режиму уровней грунтовых вод одной из скважин территории VII гидрорайона, согласно нашему районированию, охватывает большую часть Шаумянкена и прилегающих к нему территорий поселков им. Кирова и Воровского. Подобных изменений уровня грунтовых вод не наблюдается ни в одной из скважин всех других гидрорайонов Бакинского амфитеатра.

Для выяснения указанного мы обратились к геологическому строению территории, на которой он расположен.

Согласно Д. В. Голубятникову [3], разрез местности представляет в следующем виде (сверху—вниз): 1) глина с прослойми песков; 2) известняк, содержащий гальку; 3) песчанистые глины; 4) известковистые глины; 5) известняк, образующий „карнис“ Ясамальской долины; 6) пески и глины; 7) известняк-плитняк; 8) песок с ракушей, местами переходящий в известняк-ракушечник. Эти породы по возрасту относятся в среднему отделу апшеронского яруса.

Мощный известняковый пласт (5-й) имеет широкое распространение и является маркирующим горизонтом. Он не только образует „карнис“ в борту Ясамальской долины, но прослеживается на небольшой глубине и на территории пос. Воровского. Вышележащие горизонты известняков и известковых песчаников, принадлежащие также к апшеронскому ярусу, образуют невысокие гряды, вплотную подходящие к застроенной верхней части поселка. Они придают местности особый, гребнисто-волнистый характер рельефа.

Разведочное инженерно-гидрогеологическое бурение, проводившееся на территории пос. Воровского, показало, что в кровле отложений апшеронского яруса залегают породы бакинского яруса, представленные песками незначительной мощности. Было установлено также наличие на территории поселка небольшой мульды, сложенной

глиниами среднего отдела апшеронского яруса. Мульда перегорожена на севере по границе с оз. Беюк-Шор глинистой толщей и оказывается бессточной, а на юге ее ограничивает поднятие, распространяющееся на территорию 2 Микрорайона города.

В 1957—1958 гг. по соседству в пос. Воровского, со стороны 2 Микрорайона города, был заложен питомник зеленых насаждений. Саженцы в этом питомнике обильно поливались водой, которая и стекала в мульду, быстро повышая уровень грунтовых вод (см. рисунок график).

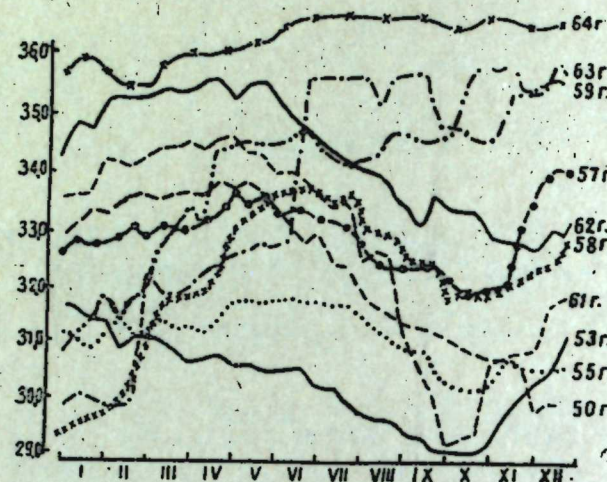


График колебания уровня грунтовых вод по скв. № 81, пос. им. Воровского

До строительства питомника зеленых насаждений уровень грунтовой воды в пос. Воровского держался на глубинах больше 5—7 м. После же открытия питомника уровень грунтовой воды поднялся настолько высоко, что большая часть подвалов и погребов поселка, вырытых в среднем до глубины 1,5—2 м, оказалась затопленной водой. Особенно пострадали подвалы четырехэтажного здания школы. Поэтому там пришлось установить насосы и вести систематическую откачуку воды из подвалов.

Мелкие частицы грунта, вымываясь при откачке, привели к суффозии. Фундаменты начали давать неравномерную осадку, вследствие чего в стенах зданий стали образовываться трещины разрывов и деформации.

Случай нарушения целостности зданий в г. Баку по указанной выше причине имеют место и в других его районах, где также, в связи с подъемом уровня грунтовых вод, происходит затопление подвалов. Вынос песчаных и глинистых частиц при откачке воды, как говорилось выше, служит причиной неравномерной осадки фундаментов зданий; поэтому в этом случае откачка воды прекращается, подвалы затопляются, а затопленная площадь подвалов исключается из эксплуатационных фондов жилищных управлений города.

Одним из примеров затопления подвалов, сопровождающегося неравномерной осадкой фундаментов и образованием угрожающих целостности здания больших трещин, является двухэтажное здание Каспара на Байлово, которое к тому же угрожает и возможность оползневых сдвигов на соседнем крутом склоне Байловского склона.

ЛИТЕРАТУРА

- Бабаян М. И. и Галукян В. Г. Сводный отчет Апшеронской гидрогеологической станции по работам за 1947—1955 гг. Баку, Азгеофонды, 1956.
- Гидрогеология. Геология Азербайджана, т. VII, изд. АН Азерб ССР, Баку, 1961.
- Голубятников Д. В. Детальная геологическая карта Апшеронского полуострова. Планшет IV—3. Хурдалан-Бинагадинский район. Л., 1931.
- Победоносцев Н. М. Гидрогеологические исследования на Апшеронском полуострове. Труды III Всесоюзного водопроводного съезда, М., 1929.

Поступило 24. II 1966

Р. А. Ычысов

Бакы амфитеатры һидрорежим рајонунда аномал һадисә

ХУЛАСӘ

Мәгаләдә Бакы амфитеатры саһесинин Јералты суларында сәвијјәнин галхмасының сәбәбләри гејд олунмушдур. Бу галхма даһа интенсив җеддинчи һидрорежим саһесиндәндир. Рајонун гурулушу мулдавары олуб, Орта Абшерон җашлы килләрдән тәшкүл олмуш дәбәнддән ибарәтдир. Мулданың сәтни гумча сүхурдан ибарәт олмагла, суварма суларының сүзүлмәсини азалдырыки, бу да Јералты сулар сәвијјәсинин галхмасы илә нәтичәләнәир. Јералты сулар сәтниңин ңисбәтән зәиф галхмасы, һәмчинин Бакы шәһәринин башга саһәләриндә дә нәзәрә-чарпыры.

ГЕОЛОГИЯ

Ф. Г. АСКЕРОВ

ВЕРХНЕМЕЛОВЫЕ И ПАЛЕОГЕНОВЫЕ ЦЕОЛИТЫ
КАЗАХСКОГО ПРОГИБА

(Представлено академиком АН Азербайджанской ССР Ш. А. Азизбековым)

Цеолиты представляют собой водные каркасные алюмосиликаты Na, Ca, реже K, Ba, Sr. Характерной особенностью цеолитов является наличие в них цеолитовой воды, которая может выделяться и вновь поглощаться без разрушения кристаллической решетки и без нарушения физической однородности минерала. Обезвоженные цеолиты могут поглощать не только воду, но и различные газы (хлор, бром, аммиак), а также органические вещества (этиловый спирт, сероуглерод и др.). Цеолиты также обладают способностью легко обменивать свои катионы на находящиеся в окружающей среде ионы K, Mg, Fe и др. Такие качества находят применение в различных отраслях промышленности, главным образом в химической.

В связи с использованием цеолитов в промышленности, вопросам изучения их за последние годы уделяется большое внимание.

В пределах Казахского прогиба в области развития верхнемеловых и палеогеновых вулканических образований цеолиты имеют широкое развитие и представлены натриевыми (натролит, анальцим), кальциевыми (сколецит, гейландит) и натриево-кальциевыми (томсонит).

Следует отметить, что названные цеолиты в пределах Казахского прогиба встречаются в трех генетических типах — позднемагматическом, гидротермальном и осадочном.

Данные о верхнемеловых цеолитах Казахского прогиба мы находим в работах Ш. А. Азизбекова [2], Р. Н. Абдуллаева [1], А. Х. Мнацаканяна [12].

Натриевые цеолиты

Анальцим пользуется широким распространением в породах трахиандезитобазальтовой формации (трахиандезиты, цеолитовые долериты и долеритовые порфиры) и отмечен в следующих пунктах: гг. Дииван, Карапапахчал, Гамешичал (с. Мусакей) г. Кошачал (с. Демирчиляр), Хачадаг (с. Кочаскер). Спорадически анальцим встречается в породах андезито-базальтовой субформации (андезиты, андезито-базальты, долеритовые порфиры).

В палеогеновых вулканических образованиях анальцим развит в двух генетических типах — позднемагматическом и гидротермальном.

Позднемагматический анальцим развивается в интерстициях лейстов плагиоклаза. Изотропный, реже обнаруживается слабо выраженная анизотропия ($0,001 - 0,002$). Отмечаются двойниковые штриховки в одном направлении. Показатель преломления $N = 1,486 \pm 0,002$. Чаще анальцим ассоциирует с натролитом.

Наряду с интерстициальным анальцим в описываемых палеогеновых и верхнемеловых эфузивных породах отмечается анальцим (в ассоциации с другими цеолитами, кальцитом, минералами хлорит-палафонитового ряда) гидротермального происхождения, которые развиты либо в трещинах, миндалинах, жеодах, либо в виде автометаморфического замещения плагиоклаза (рис. 4). Он большей частью изотропный с показателем преломления $N = 1,484 \pm 0,002$. В миндалинах анальцим бесформенный, изометрический, реже образует агрегаты с тенденцией к радиально-лучистому строению.

Натролит, как и анальцим, является одним из широко распространенных минералов из группы цеолитов. Характеризуется он следующими оптическими свойствами: $c\ Ng = 0^\circ$; $Ng = 1,485$; $Np = 1,474$; $Ng - Np = 0,011$; $2V = 60^\circ$. Удлинение положительное. Позднемагматический анальцим и натролит встречаются только в породах субву-

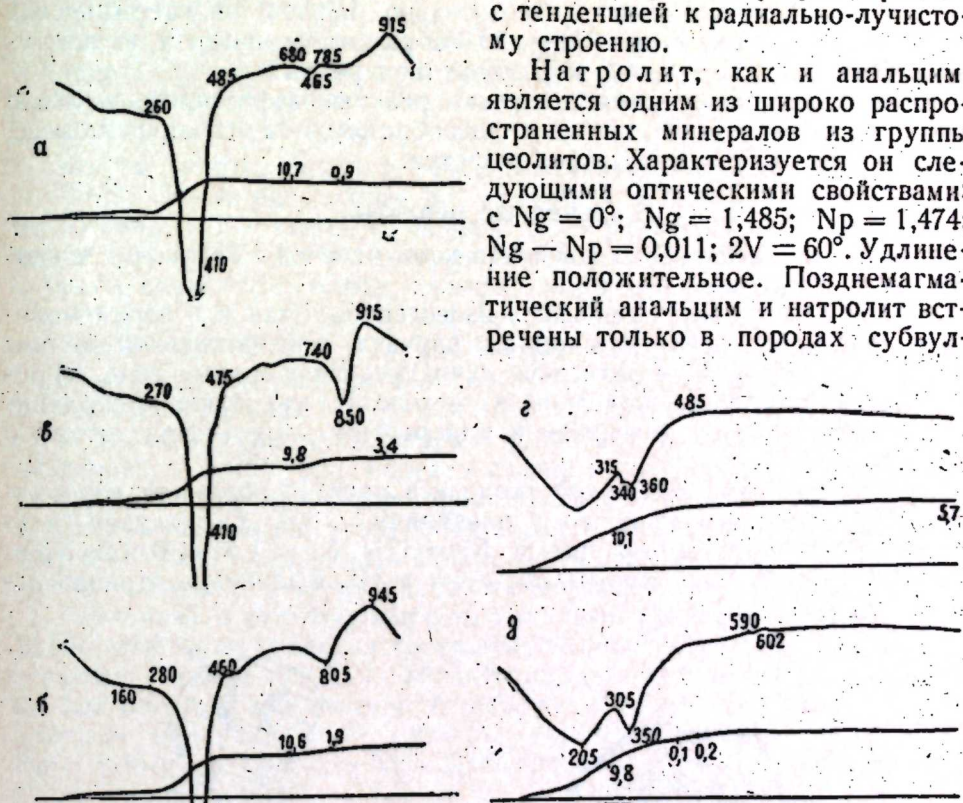


Рис. 1, а, б, в. — Дифференциальные кривые нагревания обезвоживания натролита: а, в — натролит из бассейна р. Алибайрамлы (конык-сантон); б — натролит из г. Гамешичая (средний эоцен).

Рис. 1 г, д. Дифференциальные кривые нагревания и обезвоживания гейландита: г — гейландит темно-розовый из г. Кызылчая; д — гейландит телесно-розовый из г. Мюлклю (верхний сантон).

канической фации трахиандезитобазальтовой формации — гг. Дииван, Хачадаг.

Гидротермальный натролит развит в виде прожилков (до 2,5 — 3,0 см), миндалин и жеод (до 4,0 — 7,0 см) в породах андезитобазальтовой субформации (миндалевидные андезиты и андезито-базальты) и трахиандезитобазальтовой формации (трахиандезиты и миндалевидные пироксен-плагиоклазовые андезиты).

Натролит в прожилках белого цвета с желтоватым оттенком часто образует лучистые, игловидные и пластинчатые агрегаты. По оптическим свойствам не отличается от позднемагматического натролита.

Натролит в породах андезито-базальтовой субформации в большинстве случаях ассоциирует с хлоритом, кальцитом, реже с халцедоном. В качестве автометаморфического замещения натролит развивается по плагиоклазам в виде неправильных форм выделения.

Дифференциальные кривые нагревания и кривые потери веса натролита (рис. 1, *a*, *b*, *b*) сопровождаются двумя резко выраженным эндотермическими и одной экзотермической реакциями.

Первая, интенсивно выраженная эндотермическая реакция, отмечается в температурных интервалах между 260 — 500°C (с максимумом 500°C). Эта реакция обусловлена с выделением цеолитной воды, располагающейся в каналах между каркасами алюмо-кремнекислородных тетраэдров. Как показывают кривые обезвоживания, в это время выделяется около 10% воды от общей суммы потери.

Вторая слабовыраженная, относительно первой, эндотермическая реакция с максимумами 780 — 850° обусловлена потерей конституционной воды (0,9 — 3,4%) и разрушением решетки.

Резко выраженная экзотермическая реакция зафиксирована около 350°, по-видимому, она связана с новообразованием от аморфных масс, получившихся при разрушении решетки.

Кальциевые цеолиты

Из группы кальциевых цеолитов нами отмечены гейланит и сколецит.

Сколецит обнаружен как в палеогеновых, так и в верхнемеловых эфузивах, образуя в одних случаях призматической формы кристаллы, в других — радиально-лучистые, спонговидные (рис. 2) образования, выполняя миндалины и жеоды. В миндалинах сколецит часто ассоциирует с кальцитом и минералами хлорит-палагонитового ряда.

Призматические кристаллы сколецита местами образуют сдвоинкованные индивиды по первому пинакоиду (100). Оптические константы сколецита следующие: $c = Ng = 17^\circ$; $Ng = 1,519 \pm 0,002$; $Np = 1,513 \pm 0,003$; $Ng - Np = 0,006$; $2V = -34^\circ$. Удлинение отрицательное.



Рис. 2. Порядок выделения минералов в миндалине:
1 — клинохлор; 2 — натролит; 3 — спонговидный сколецит.

Рис. 3. Выделения червеобразного хлорита в натролитовых миндалинах:
1 — натролит; 2 — червеобразный хлорит.

Гейланит нами обнаружен в районе г. Кызылкая (с. Верхн. Мюлку) среди роговообмаковых липаритов и плагиолипаритов. Здесь гейланит заполняет трещины (рис. 9) мощностью до 3,0 — 4,0 см и

неправильные полости. Среди описываемых гейланитов по цвету выделяются три разности: темно-розовый, телесно-розовый и белый с розовым оттенком.

Отметим, что такая вариация цветов устанавливается даже на небольшом участке. С целью обнаружения отличительных признаков из каждой разности произведены термические исследования, но результаты оказались равнозначными.

Дифференциальные кривые нагревания и кривые обезвоживания (рис. 1, *г*, *д*) гейланита характеризуются двумя интенсивно выраженным эндотермическими реакциями.

Первая резко выраженная эндотермическая реакция с максимумами около 200°C начинается от 30 — 40°C сразу с повышением температуры. Она связана с выделением цеолитной воды (около 10% от общей суммы потери).

Следует отметить, что во время первой эндотермической реакции в отличие от натролита, кривые нагревания гейланита имеют не скачкообразную, а чашкообразную форму. Это явление объясняется постепенным выделением цеолитной воды.

Вторая эндотермическая реакция начинается вслед за первой, около 300°C, когда еще кривая не поднялась на свое первоначальное положение и отличается от первой своей резкостью. Она имеет максимум около 350°C. Эта реакция обусловлена потерей кристаллизационной воды (5,7 — 6,6%) и разрушением кристаллической решетки минерала.

Важно отметить, что на термограмме гейланита (обр. 305°) обнаруживается еще заметная эндотермическая реакция около 600°C, это объясняется тем, что в гейланитах сохраняются остатки структуры с некоторым количеством воды, теряющейся лишь при более высоких температурах.

Как видно из термограмм (рис. 1), кристаллическая структура натролитов разрушится гораздо позже (около 800°C), чем у гейланита (около 350°C) и в последних не замечаются признаки перекристаллизации.

Гейланит в пустотах и прожилках образует таблитчатые кристаллы с весьма совершенной спайностью по второму пинакоиду (010). Характеризуется перламутровым блеском. Оптические константы розового гейланита следующие: $c = Ng = 5^\circ$; $Ng = 1,494 \pm 0,003$; $Np = 1,487 \pm 0,003$; $Ng - Np = 0,007$; $2V = -36^\circ$. Оптически отрицательный.

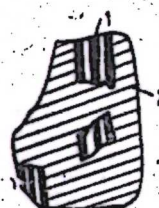


Рис. 4. Цеолитизированный плагиоклаз:
1 — плагиоклаз; 2 — цеолит.

Кальциево-натриевые цеолиты

Томсонит отмечен главным образом в породах трахиандезито-базальтовой формации (трахиандезиты, цеолитовые долериты и долеритовые орфириты) в районах с. Мусакей и Кочаскер.

Томсонит представлен бесцветными, чаще вытянутыми лейстовидно-призматической формы кристаллами, которые характеризуются следующими оптическими константами: $c = Ng = 0^\circ$; $Ng = 1,527 \pm 0,003$; $Np = 1,519 \pm 0,003$; $Ng - Np = 0,008$; $2V = 68^\circ$. Удлинение отрицательное. Томсонит ассоциирует со сколецитом, кальцитом, хлоритом (клинохлор) или хлорит-палагонитом. Цвет томсонита мутновато-белый, часто водяно-прозрачный.

Известно, что до настоящего времени среди исследователей существует разногласие по вопросу образования цеолитов.

Некоторые исследователи (Лакруа, Чермак и др.) совершенно отрицают образования цеолитов из остаточного магматического расплава.

Однако большинство исследователей (А. Е. Ферсман, В. И. Вернадский, А. П. Герасимов, Д. С. Белянкин, В. П. Петров, Г. С. Дзоценидзе, Ш. А. Азизбеков, Г. В. Гвахария, А. П. Лебедев, И. В. Белов и др.) считают, что некоторые цеолиты выпадают из остаточного расплава в последнюю стадию остывания магмы. В пользу этого А. Е. Ферсман [14] пишет: «Несомненно, что часть цеолитов, а именно анальцим и отчасти натролит могут встречаться в породах уже в самые последние моменты магматической стадии».



Рис. 5. Включения анальцимовых кристаллов в плагиоклазе:
1 — плагиоклаз; 2 — анальцим.

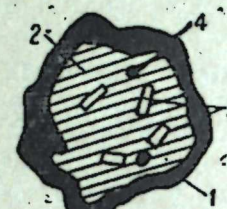


Рис. 6. Зарисовка миндалины в трахиандезито-базальте:
1 — хлорит; 2 — натролит; 3 — апатит (призматические сечения); 4 — апатит (гексагональные сечения).

Г. В. Гвахария [8], детально изучавший цеолиты Грузии, приходит к заключению, что для образования анальцима и натролита в позднемагматическую стадию необходимы следующие факторы: 1) богатство пород щелочами (главным образом Na_2O), 2) основной характер магмы, 3) наличие воды; 4) дайковая форма тел.

В цеолитах и цеолитсодержащих породах Казахского прогиба имеют место первые три фактора: например, содержание щелочей (Na_2O) в породах с интерстициальным цеолитом в большинстве превышает 4%.

Значительная часть цеолитов Казахского прогиба образовалась в поствулканическую стадию верхнемелового и палеогенового вулканализма. Как яствует из описания цеолитовой минерализации различных возрастов и состава цеолиты поствулканического происхождения выполняют пустоты, жеоды, миндалины и прожилки (рис. 7, 8, 9.).

Возникновение цеолитовых миндалин В. М. Вернадский и С. М. Курбатов [7] объясняют следующим образом: «При застывании лавы, выходящей на земную поверхность обычно с содержанием большого количества воды, из нее начинают выделяться элементы воды. Образуется смесь воды с расплавленной магмой. Часть воды находится при этом в перегретом состоянии, часть выделяется в виде паров. При этом процессе выделения воды, в магме образуется масса пустот, на стенах которых и выделяются цеолиты. В силу этого для цеолитов весьма характерно нахождение их в жеодах».

Вопрос образования миндалин (хлорит, кальцит, цеолит, халцедон)ными объясняется почти аналогичным образом [3, 4].

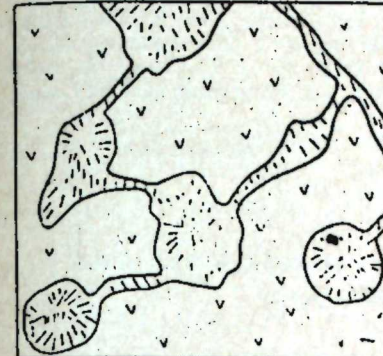


Рис. 7. Прожилково-миндалевидный тип цеолитизации в трахиандезите г. Гамешичал.

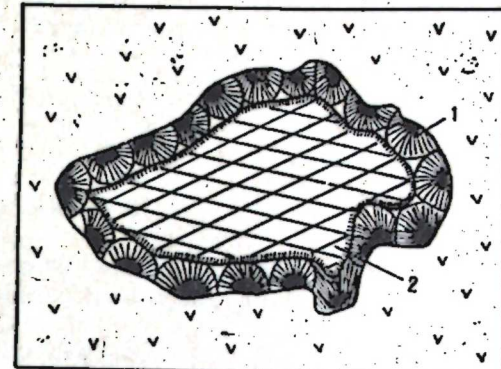


Рис. 8. Цеолит-кальцитовая жеода в трахиандезите:
1 — радиально-лучистый натролит; 2 — прозрачный кальцит натур. величины.

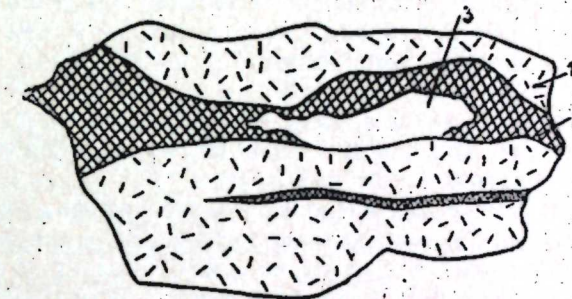


Рис. 9. Жила гейландинта в роговообманковом липарите:
1 — роговообманковый липарит; 2 — гейландинт;
3 — пустота.

В заключение отметим, что цеолиты Казахского прогиба, генетически связанные с верхнемеловым и палеогеновым вулканализмом, приурочиваются к эфузивным и субвулканическим образованиям основного и субщелочного характера, реже кислого состава (гейландинт в роговообманковом липарите и плагиолипарите).

Следует подчеркнуть, что характер цеолитов хорошо согласуется с химической природой верхнеконьяк-нижнесантонских и среднезоценовых вулканических пород.

ЛИТЕРАТУРА

1. Абдуллаев Р. Н. Казахский комплекс цеолитсодержащих вулканических пород (Малый Кавказ). Изв. АН Азерб. ССР, серия геол.-геогр., 1959, № 6.
2. Азизбеков Ш. А. Геология и петрография северо-восточной части Малого Кавказа. Изд. АН Азерб. ССР, 1947, 3. Аскеров Ф. Г. О трубчатых пустотах в вулканических эфузивах Казахского прогиба (Малый Кавказ). Изв. АН Азерб. ССР, серия геол. геогр., № 2, 1965.
3. Аскеров Ф. Г. Об агатовой минерализации верхнемеловых вулканических пород Казахского прогиба (Малый Кавказ). Изв. АН Азерб. ССР, серия геол. геогр., 1965, № 5.
4. Белов И. В. Трахибазальтовая формация Прибайкалья. Изд. АН СССР, 1963.
5. Белянкин Д. С. Тешенит из Курсеби. Изв. СПб Политех. ин-та, XVII, 1912.
6. Вернадский В. И., Курбатов С. М. Земные силикаты, алюмосиликаты и их аналогии ОНТИ, М.—Л., 1937.
7. Гвахария Г. В. Цеолиты Грузии. Изд. АН Груз. ССР, 1951.
8. Герасимов А. П. Тешениты р. Иори (Кахетия). Труды ГГРУ, вып. 29, 1931.
9. Дзоценидзе Г. С. Домиоценовый

зффузивный вулканизм Грузии. Изд. АН Груз. ССР, 1948. 11. Лебедев А. П. Трапповая формация, центральной части Тунгусского бассейна, 19. 12. Мицакания А. Х. Меловые вулканические серии Северной Армении и связанное с ними минералообразование. Автореф. дисс. на соиск. уч. степени канд. геол. наук, 1964. 13. Петров В. П. Жильные породы Аджаристана. Труды СОПС АН ССР, серия "Закавказье", вып. 14, 1936. 14. Ферсман А. Е. Материалы к исследованию цеолитов России. Труды геол. и мин. музея, т. II, вып. 7, 1922. 15. Lac goux A. Sur la composition mineralogique des teschenites Paris, 1900. 16. Tschermak G. Felsarten aus dem Kaukasus Tscherm. Min Petr. Mitt. H. z. 1872.

Институт геологии

Поступило 23. II 1966

Ф. Н. Эскеров

Газах синклиниорисинин Уст Тэбашир вә Палеоцен вулканик сүхурларынын сеолитләrinә даир

ХУЛАСЭ

Газах синклиниорисиндә Уст Тэбашир (Конjak-Сантон) вә Палеоцен (Орта Еосен) јашлы вулканик сүхурларда сеолит групу минераллары кениш јајымышдыр. Бунлар кенетик нөгтөji-нэзэрдән, һәмин дөвр вулканизми илә сых әлагәдәdir.

Вулканик сүхурларда раст кәлән сеолитләр ики типә аид едилир: 1) магматик просесин сон мәрһәләсindә галыг магмадан төрәjәn сеолитләр вә 2) вулканизмин сон фәалиjәти иәтичесинdә һидротермал мәһлүлләрдан әмәлә кәлән сеолитләр.

Тәдгиг етдиjимиз сеолитләр тәркибләrinә көрә үч группа айрылыр: натриумлу (натролит вә аналсим), калсиумлу (сколесит вә һеjланит) вә натриумлу-кальциумлу (томсонит).

Геjd етмәк лазымдыр ки, натролит вә аналсим чох заман субвулканик сүхурларда илк мәрһәләдә әмәлә кәлмиш минералларын арасыны (интерстициалары) долдурур вә әксәр һалларда хлорит-пала-гонит минераллары илә бирликдә раст кәлир. Бу исә ойларын галыг магмадан әмәлә кәлмәсini көстәрмәk үчүн субуттур.

Һидротермал јолла әмәлә кәлән сеолитләр адәтән бадамвары бошлугларда вә дамарларда раст кәлир.

Көстәрилән сеолитләрин оптика хүсусиjәтләри (иммерсија мәhлүлләрьин көмәjи илә) микроскоп алтында вә бә'зиләри термики анализ јолу илә тәдгиг олунмушшур.

Мәгаләдә һәмчинин сеолитләрин әмәлә кәлмәсini даир бә'зи фигиrlәr геjd едилишидир.

АЗӘРБАЙЧАН ССР ЕЛМЛӘР АКАДЕМИЈАСЫНЫН МӘРҮЗӘЛӘРИ

ДОКЛАДЫ АКАДЕМИИ НАУК АЗЕРБАЙДЖАНСКОЙ ССР

ТОМ XXII

№ 12

1966

АКАРОЛОИЯ

К. А. КУЛИЕВ

НОВЫЕ ВИДЫ ИЗ СЕМЕЙСТВА OPPIIDAE GRAND.

(Представлено академиком АН Азербайджанской ССР М. К. Ганиевым)

В данной статье даются описания и рисунок двух новых и одного известного видов.

Oppia dubia Kulijew sp. nov. (рис. 1. а, б).

Средние размеры—305×167 μ. Окраска светло-коричневая. Рострум в средней части снабжен двумя маленькими зубчиками. Лобные щетинки, сидящие субдорзально на основании рострума, немного длиннее

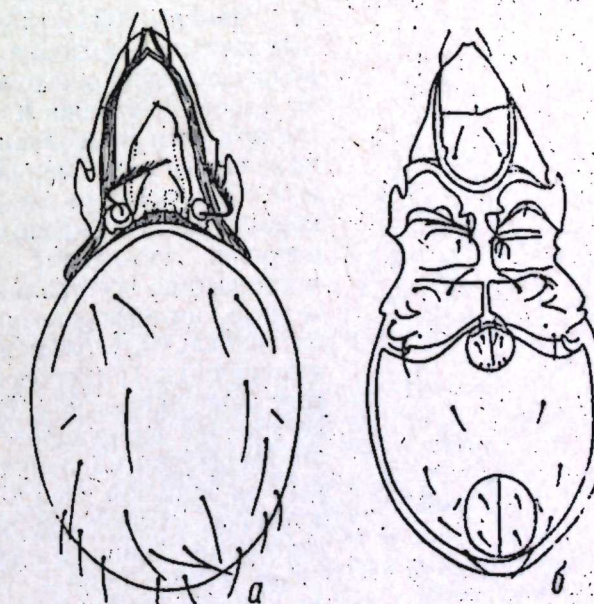


Рис. 1. *Oppia dubia* Kulijew sp. n. а—вид сверху; б—вид снизу.

ламеллярных и интерламеллярных. Ламеллы имеют вид узких планок, доходящих до второй половины протеросомы. Ботридин кольцевидные,

Дистальная половина трихоботрий снабжена 8—9 игольчатыми, маленькими зубчиками. В межботридиальной области заметно хитиновое образование своеобразной формы. В передней части этого образования имеется 4 светлых хитиновых пятна. По боковым краям протеросомы наблюдаются очень большие склеротизованные валики. Последние, начиная от ботридий, проходят вдоль боковых краев протеросомы к ее второй половине, а затем, широко закругляясь, поворачиваются внутрь и соединяются в средней части у основания рострума. Ветви, отдальные от них на уровне основания ростральных щетинок, доходят до самой вершины рострума. Гистеросома широкоовальная. На нотогастере видны 10 пар длинных щетинок и средние щелевидные органы.

Систематические замечания. Близок к *O. decipiens* (Paoli, 1908), но отличается меньшими размерами тела, иным строением рострума, расположением и размерами ростральных и нотогастральных щетинок, формой и размерами трихоботрий, формой анального отверстия и другими мелкими признаками. Описываемый новый вид по строению трихоботрий, размерам тела, формой гистеросомы, расположением и размерами нотогастральных щетинок имеет некоторое сходство с видом *O. confina* (Paoli, 1908). Остальные же признаки последнего совершенно отличаются от таковых у *O. dubia* Kulljew sp. nov.

Распространение и экология. Весьма редок и малочислен. Найден во мху, взятом со ствола кизила в Нура-Закатальском лесном массиве.

Oppia krivolutsky Kulljew sp. nov. (рис. 2 а, б).

Описание составлено по двум экземплярам, любезно предоставленным мне талантливым акарологом Д. А. Криволуцким

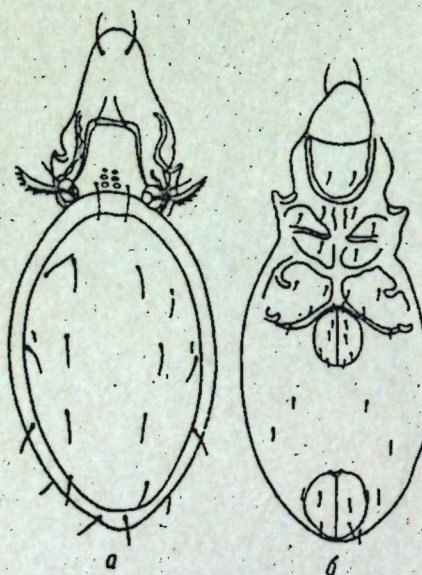


Рис. 2. *Oppia krivolutsky* Kulljew sp. nov.
а — вид сверху; б — вид снизу.

9 пар. Они простые, гладкие и очень мало отличаются по величине. При большом увеличении средние щелевидные органы обнаруживаются легко. Брюшной щит слабо склеротизован. Щетинки, расположенные на нем простые, гладкие. Генитальных щетинок 5 пар, а аналь-

ных — 2 пары. Аданальные поровые поля червеобразные и расположены параллельно боковым стенкам анального отверстия.

Систематические замечания. Имеет некоторое сходство с двумя африканскими видами — *O. bituberculata* Balogh, 1961; *O. africanus* Evans, 1953. Но у этих обоих видов нотогастральных щетинок 10 пар и они иначе расположены.

Распространение и экология. Клещи собраны в Тянь-Шане в подстилке хвойного леса (материал Д. А. Криволуцкого). Затем обнаружены в лесных биотопах: О. Фурманом — в Одесской области амною — на Большом Кавказе.

Multoppia ghiljarovi (Kulljew, 1962) (рис. 3, а, б)

Длина тела — 275—279 μ , максимальная ширина — 137—150 μ . Окраска — светло-золотистая. Лобные щетинки длинные, сидят на хорошо заметных бугорочках и доходят до конца рострума. Ламеллы отсутствуют.

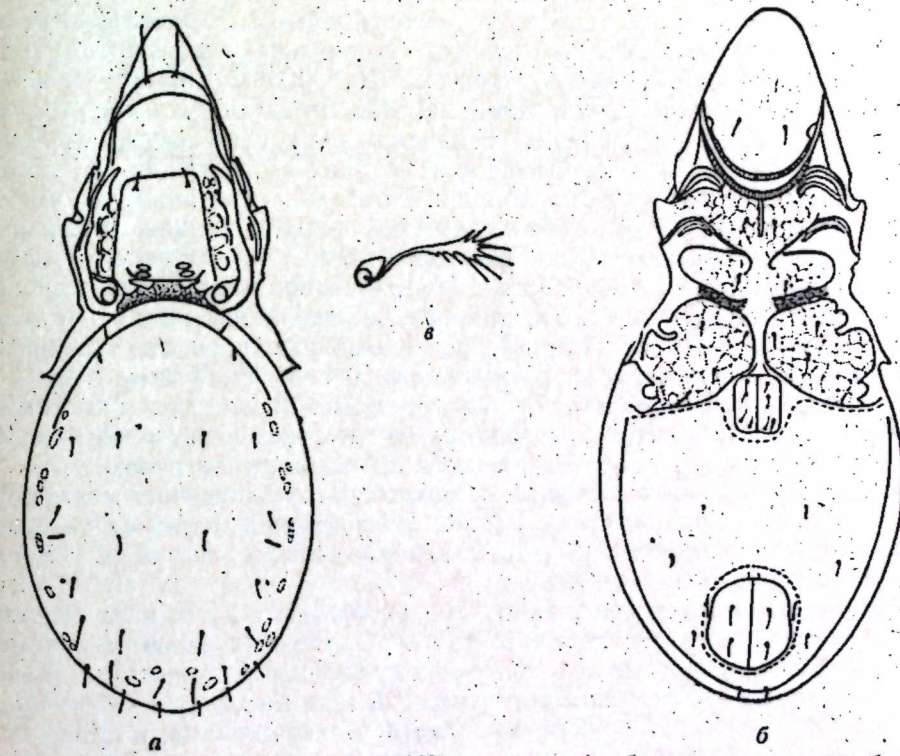


Рис. 3. *Multoppia ghiljarovi* (Kulljew, 1962). а — вид сверху; б — вид снизу; в — трихоботрий.

Начиная от ботридий, вместо ламелл с внутренней стороны рядов боковых светлых пятен, почти до конца первой половины протеросомы проходят продольные тончайшие светлые линии. Последние в свою очередь соединяются за основанием ламеллярных щетинок такой же, но уже поперечной линией. В просветленных клещах по боковым краям протеросомы видны очень большие своеобразной формы склеротизации. Последние в нижних частях обволакивают ботридий и отходят от них по боковым сторонам протеросомы ко второй половине ее, а затем, широко закругляясь поворачиваются к основаниям ростральных щетинок. Между основаниями указанных щетинок эти склеротизации соединяются со светлой хитиновой линией. Ботридии имеют форму лодки, а трихоботрии — форму стебелька, утолщенного на свободном конце булавообразно. Дистальные концы трихоботрий направлены в сторону

от тела клеща и снабжены десятью игольчатыми зубцами разного размера. Самыми длинными из них являются IV, V, VI, а самым маленьким—I зубец. Между ботридиями на основании протеросомы расположено хитиновое образование своеобразной формы. Это образование своим задним концом будто бы соприкасается с передним краем нотогастера. В обработанных клещах при сильном увеличении перед указанным образованием с трудом различимы расположенные двумя продольными рядами, по два в каждом, светлые хитиновые пятна. 8—10 гомологичных пятен имеется в боковых частях протеросомы. Они бросаются в глаза даже в необработанных клещах. Пятна эти также расставлены двумя продольными рядами между боковыми склеротизованными участками и светлыми хитиновыми линиями. У клещей с трудом различимы и мелкие интерламеллярные щетинки, сидящие на бугорочках. Гистеросома широкоовальная. На нотогастере хорошо видны 13 пар игольчатых щетинок, выходящих из бугорочков, передние и средние щелевидные органы и ряд светлых пятен по боковым частям, которые имеют различные размеры и форму. Коксальная часть всех эпимеров сильно склеротизована; стернальная часть их хорошо различима в просветленных препаратах. Из аподем хорошо развиты слабые, что даже при сильном увеличении обнаруживаются с трудом. Наоборот, стернальная аподема или стернальный бордюр, а также генитальный бордюр развиты хорошо. Последние три эпимера имеют ячеистый рисунок. Генитальное отверстие четырехугольное. Створки его вооружены пятью парами щетинок почти одинакового размера. Анальное отверстие по величине примерно вдвое больше генитального. Аданальные поровые поля длинные, не параллельны боковым стенкам анального отверстия. Первая пара аданальных щетинок отодвинута далеко назад от заднего края анального отверстия. *Femur* первой и третьей пары ног в дистальной части сильно расширен. *Trochanter* третьей пары ног имеют почковидную, а четвертой пары ног—роговую форму. Лапки всех ног с одним нежным коготком.

Систематические замечания. Первоначально описан нами под названием *Oppia ghiljarovi*. Согласно же новейшей системы семейства *Oppidae Grandjean*, 1954, он должен входить в состав рода *Multoppia* *Namtega*, 1961.

Распространение и экология. Обнаружен в виноградниках Кировабадского района Азербайджанской ССР. Обитает в часто орошающей светло-каштановой пахотной почве, получающей химические ядовитые вещества (гексахлоран, серу, медный купорос и др.), органические и минеральные удобрения. Затем обнаружен О. Фурманом в аналогичных биотопах Одесской области.

ЛИТЕРАТУРА

- Кулиев К. А. Пятьдесят новых представителей панцирных клещей (*Acariformes, Oribatei*) из родов *Oppia* и *Ceratozetes*. Труды АзНИВИ, т. XIII. 250—268. 1962.
- Balogh J. Descriptions complémentaires d'*Oribates* (*Acaris*) d'Angola et du Congo (2^{me} série). Publ. cult. Co. Diam. Ang., Lisboa: 67—74, 1961.
- Evans G. O. XXII—On a collection of acarid from Klimanjaro (Tanganyika). Annals and Magazine of Natural History, ser. 12, vol. vi: 257—282, 1953.
- Paoletti G. Monografia del genere *Damaesoma* Berl. e generi affini. Redia v: 31—91, 1908.

Азербайджанский педагогический институт им. В. И. Ленина

Поступило 11. XI 1965

Г. Э. Гулиев

Oppidae Grandjean, 1954 айләсindән олан јени нөвләр

ХУЛАСӘ

Мәгалә *Oppidae Grandjean* айләсindән олан икى јени вә бир мә'lум нөвүн тәсвиринә həsr едилmişdir.

ГЕЛЬМИНТОЛОГИЯ

А. М. МАМЕДОВ

ГЕЛЬМИНТОФАУНА ЯГНЯТ И ВЗРОСЛЫХ ОВЕЦ В ЗАПАДНОМ АЗЕРБАЙДЖАНЕ

(Представлено академиком АН Азербайджанской ССР А. И. Каравым)

В литературе, кроме немногочисленных данных о гельминтофагии овец и коз в овцесовхозе „28 Апреля“ и близлежащих районах (Джавадов, 1935; Гаибов, 1947; 1949; Асадов, 1960) и некоторых гельминтозах, выявленных в результате массового осмотра на Кировабадской бойне (Петров с сотрудниками, 1935), а также сообщения о распространении аноплоцефала среди жвачных в Кировабадском, Кедабекском, Таусском и Шамхорском районах (Садыхов, 1962), исчерпывающих работ о гельминтах овец в Западном Азербайджане не имеется.

Неизвестным остается до сих пор также видовой состав постоянных компонентов гельминтофаунистического комплекса овец и других жвачных в низменной и предгорной частях западных районов республики.

Как известно, овцеводство в указанных районах является отгонным. Овцы хозяйств этих районов в течение более трех месяцев (с мая по октябрь) находятся на перегонных трактах и на промежуточных и летних пастбищах, часто за пределами республики. Поэтому обнаруженных у этих овец гельминтов не всегда можно отнести к числу постоянных элементов гельминтофагии в овцеводческих хозяйствах низменных участков территории Азербайджана. Знание же видового состава, постоянных компонентов гельминтофаунистических комплексов, их динамики по сезонам года и по возрастным группам животных, макро- и микроочагов в распространении отдельных гельминтозов, силы („мощности“) отдельных инвазий в этих очагах необходимы для правильного планирования и своевременного проведения противогельминтозных мероприятий на местах.

В целях выяснения перечисленных выше вопросов по отношению к гельминтофагии овец в районах Западного Азербайджана мы, по поручению лаборатории экологической паразитологии Института зоологии АН Азербайджанской ССР, начиная с 1964 г. проводим исследования по изучению влияния отгонного содержания на гельминтофагию овец, в указанных районах.

Свою работу мы сосредоточили в основном в овцесовхозе „28 Апреля“ (Евлахский район), где сформировали небольшое стадо из 21 ягненка (рассад. декабрь 1963 г. и январь 1964 г.). Из этих ягнят 3

Таблица 1

Список гельминтов, обнаруженных у овец и ягнят в западных районах Азербайджана

головы были вскрыты нами в мае 1964 г. перед отгоном овец на яйлаги. Остальные 18 голов были оставлены на лето в самом совхозе и подвергнуты ежемесячным вскрытиям по 3 головы в каждый месяц. Они выпасались в летнее время на тех же пастбищах, где паслись с момента рождения.

В настоящее время нами полностью обработан гельминтологический материал, полученный из ягнят этой группы и поэтому в данном небольшом сообщении мы приводим результаты обработки этого материала.

Кроме того, в совхозе „28 Апреля“ мы вскрыли 5 голов взрослых овец. Нами производились вскрытия овец также в Шамхорском (6 голов), Казахском (5 голов) и в колхозе „Гелэбе“ Евлахского района (6 голов ягнят). Результаты определения материалов от этих овец также приводим в сообщении, так как он имеет определенное отношение к характеристике гельминтофагии овец в указанных районах, не исследованных до сих пор в гельминтофаунистическом отношении.

В табл. 1 приводится список гельминтов, обнаруженных у исследованных нами ягнят и овец с указанием интенсивности инвазии.

Из таблицы можно сделать также один общий вывод, о том, что все гельминты, обнаруженные у ягнят из совхозов „28 Апреля“ и „Гелэбе“, являются постоянными компонентами гельминтофагии комплекса овец в низменной части западного участка Центрального полупустынного Азербайджана, так как все они обнаружены у ягнят, родившихся в указанных хозяйствах и не переведенных на летние пастбища. Таких гельминтов по нашим исследованиям оказалось пока 39 видов. Этими гельминтами ягнята заражены в прикашарных участках и на зимних пастбищах упомянутых хозяйств. К числу таких гельминтов в дальнейшем должны быть отнесены и те, которые будут обнаружены у овец более старших возрастов, содержащихся в низменности в оседлом состоянии.

Другим выводом из анализа указанной таблицы и результатов масштабного осмотра (табл. 2) может служить то, что на низменных пастбищах имеется возможность заражения ягнят почти всеми гельминтами, которые отмечены вообще для овец на территории Азербайджана, хотя „мощность“ инвазии не для всех видов гельминтов одинаковая. Так, например, ягнята до годовалого возраста в указанных хозяйствах подвергаются заражению *Fasciola hepatica* в незначительной степени, а *Dicrocoelium lanceatum* не обнаружен вовсе у ягнят совхоза „28 Апреля“ и найден только в колхозе „Гелэбе“; из аноплоцефалят *Moniezia expansa* отмечена у ягнят в обоих хозяйствах, *Thysanotus giardi* — только в совхозе „28 Апреля“, из таниид цистицероз тенуикольный в обоих хозяйствах. Значительное заражение ягнят имеет место в указанных хозяйствах стронгилидами, а из трихостронгилид большую силу инвазии имеют *Trichostrongylus colubriformis*, *Ostertagia circumcincta*, *Marshallagia marshalli*, *Hoemonchus contortus*, *Nemodirus spathiger* из легочных нематод *Licthyocaulus filaria*, а из трихоцефалов почти оба вида — *Trichocephalus ovis* и *Trichocephalus skrjabini*.

Данные табл. 2 показывают, что взрослые овцы из совхоза „28 Апреля“ заражены фасциолезом в значительной степени (40%), дикроцелиозом (70%), диктиокаулезом (50%), гемонхозом (40%), эхинококкозом (60%), аноплоцефалитозами (30%). Данное обстоятельство говорит о том, что взрослое отгонное поголовье овец сильно заражено рядом главнейших гельминтозов. Это объясняется не только частичным нарастанием инвазии с возрастом, но и также заражением

Гельминты	Совхоз „28 Апреля“		Колхоз „Гелэбе“		Шамхорск. район		Казахск. район	
	Ягната от—до	Овцы от—до	Ягната от—до	Овцы от—до	Овцы от—до	Овцы от—до	Овцы от—до	Овцы от—до
1	2	3	4	5	6	7		
Трематоды:								
1 <i>Fasciola hepatica</i>	2(8—9)	—	—	—	4(8—25)	—	—	—
2 <i>Fasciola gigantica</i>	—	(0—15)	—	—	1(0—5)	2(9—11)	2(10—35)	—
3 <i>Dicrocoelium lanceatum</i>	—	—	—	—	—	—	—	—
Цестоды:								
4 <i>Moniezia expansa</i>	4(1—3)	3(1—1)	1(0—1)	—	—	—	2(2—5)	—
5 <i>Thysanotus giardi</i>	3(1—1)	—	—	—	—	—	—	—
6 <i>Echinococcus granulosus</i>	—	2(3—5)	—	—	2(2—6)	2(1—4)	—	—
7 <i>Cystocercus tenuiculus</i>	13(1—35)	2(1—2)	1(0—4)	4(3—6)	1(0—6)	—	—	—
Нематоды:								
8 <i>Chabertia ovina*</i>	12(1—27)	3(1—4)	—	—	2(1—7)	—	1(0—3)	—
9 <i>Bunostomum trigonocephalum*</i>	15(1—102)	4(16—140)	2(5—9)	6(2—239)	3(2—27)	—	—	—
10 <i>Bunostomum phlebotomum*</i>	3(2—5)	—	—	—	—	—	—	—
11 <i>Oesophagostomum venulosum*</i>	5(1—15)	—	—	—	1(0—8)	—	—	—
12 <i>Oesophagostomum columbianum*</i>	10(2—55)	3(1—15)	2(4—5)	3(1—4)	3(1—6)	—	—	—
13 <i>Trichostrongylus Andreievii</i>	—	—	—	—	2(5—9)	2(22—27)	2(23—62)	—
14 <i>Trichostrongylus axei</i>	9(1—92)	2(8—12)	3(1—2)	5(2—87)	5(2—87)	—	—	—
15 <i>Trichostrongylus capricola</i>	2(1—1)	3(25—59)	1(0—1)	6(1—311)	5(1—175)	—	—	—
16 <i>Trichostrongylus colubriformis</i>	18(1—239)	2(284—474)	3(1—61)	6(26—2563)	5(4—510)	—	—	—
17 <i>Trichostrongylus skrjabini</i>	13(1—89)	3(151—336)	3(1—3)	5(5—54)	4(3—96)	—	—	—
18 <i>Trichostrongylis vitrinus</i>	16(1—31)	3(108—260)	3(1—5)	6(2—333)	4(7—182)	—	—	—
19 <i>Ostertagia circumcincta</i>	19(1—284)	5(2—221)	6(8—58)	6(82—370)	5(3—345)	—	—	—
20 <i>Ostertagia trifurcata</i>	15(3—19)	4(29—41)	6(1—12)	6(18—72)	5(1—69)	—	—	—
21 <i>Ostertagia occidentalis</i>	4(1—4)	—	1(0—1)	—	—	—	—	—
22 <i>Ostertagia trifida</i>	1(0—1)	—	—	—	1(0—1)	—	—	—
23 <i>Ostertagia ostertagi</i>	—	—	—	—	—	—	—	—
24 <i>Ostertagia davtiani</i>	1(0—1)	—	—	—	—	—	—	—
25 <i>Marshallagia marshalli</i>	12(1—67)	—	5(1—3)	2(3—3)	—	—	—	—
26 <i>Marshallagia dentispicularis</i>	4(1—4)	—	1(0—1)	—	1(0—1)	—	1(0—1)	—
27 <i>Teladorsagia davtiani</i>	8(1—21)	4(2—9)	1(0—2)	5(2—4)	—	—	—	—
28 <i>Cooperia oncophora</i>	2(6—8)	—	—	—	—	—	—	—
29 <i>Cooperia punctata</i>	9(1—34)	—	2(9—18)	1(0—11)	—	—	—	—
30 <i>Cooperia pectinata</i>	1(0—1)	—	1(0—1)	—	—	—	—	—
31 <i>Cooperia zurnabada</i>	2(1—1)	—	—	—	—	—	—	—
32 <i>Haemonchus contortus</i>	13(9—648)	2(6—17)	3(3—36)	5(2—666)	1(0—1)	—	—	—
33 <i>Nemotadirus abnormalis</i>	17(1—49)	3(15—21)	3(1—6)	3(7—310)	3(2—6)	—	—	—
34 <i>Nemotadirus oiratianus</i>	17(1—17)	1(0—9)	4(2—7)	2(33—59)	1(0—3)	—	—	—
35 <i>Nemotadirus spathiger</i>	19(1—198)	3(9—59)	6(1—119)	4(3—220)	2(2—21)	—	—	—
36 <i>Nemotadirus junctispirularis</i>	—	—	—	—	—	—	—	—
37 <i>Nemotadirus helveticus</i>	—	—	2(1—1)	—	—	—	—	—

Окончание таблицы 1

1	2	3	4	5	6	7
38	<i>Dictyocaulus filaria*</i>	14(2-45)	4(2-11)	5(1-5)	5(2-101)	5(1-31)
39	<i>Protostrongylus kochi*</i>	2(1-12)	1(0-1)	--	--	1(0-1)
40	<i>Protostrongylus nobmatieri*</i>	1(0-4)	--	--	1(0-2)	--
41	<i>Gongylonema pulchurum*</i>	1(0-1)	--	--	1(0-20)	--
42	<i>Trichocephalus ovis*</i>	19(1-43)	5(1-35)	6(2-5)	6(1-29)	5(2-20)
43	<i>Trichocephalus skrjabini*</i>	13(2-11)	4(6-14)	2(4-4)	4(2-14)	4(6-13)
44	<i>Trichostomylus probolurus*</i>					
45	<i>Nemotadirus filocollis'</i>					
46	<i>Cystocaulus nigrescens'</i>					
47	<i>Muellerius capillaris'</i>					
48	<i>Skrjabineta ovis'</i>					

* Видах, отмеченных звездочкой, подсчитывались самцы и самки. Цифры перед скобкой указывают экстенсивность инвазии, в скобках дана интенсивность.

' Виды, отмеченные штрихом, найдены автором.

Таблица 2
Экстенсивность заражения главнейшими гельминтозами овец при массовых осмотрах на Мингечаурском и Казахском скотобойнях

№ п.п.	Хозяйства	Дата вскрытия	Колич. вскрытых голов	Заражены гельминтозами											
				Фасциоллез	Дикроцелиоз	Ликтино-каулез	Гемонхоз	Эхинококкоз	Аноплопефаляты	% зараженных	% зараженных				
1	Казахский район	15.IX 1964	25	3	12	15	56	5	20	6	24	14	56	2	6
2	К. Измайлowskiy р-н им. Г. Мамеда	20.IX 1964	18	2	11,1	12	66,6	7	38,8	7	38,8	13	61,2	3	16,6
3	С-х „28 Апреля“	20.IX 1964	27	1	3,7	18	66,6	12	44,4	8	29,6	13	51,8	7	22,2
4	С-х „28 Апреля“	20.III 1964	50	20	40	34	70	25	50	20	40	30	60	15	30

овец на путях перегона промежуточных и летних пастбищ. Такая же картина имеет место и по остальным группам овец из других районов исследований.

Всего у ягнят и овец в исследованных нами районах мы констатируем паразитирование 43 видов, а с учетом литературных данных число их доходит до 48.

Наши исследования по динамике отдельных гельминтов у ягнят в зависимости от сезонов года приводим в другом сообщении.

ЛИТЕРАТУРА

1. Асадов С. М. О гельминтофауне домашних и диких жвачных в Азербайджане. Труды Ин-та зоологии, т. XXI, 1960.
2. Асадов С. М. Гельминтофауна жвачных животных СССР и ее экологический анализ. Баку, 1960.
3. Гайбов А. Д. Гельминты и гельминтозы овец Азербайджана. Канд. дисс., 1947.
4. Джавадов

М. К. Гельминтофауна овец и коз Азербайджана. Труды АзНИВИ, сб. № 2, 1935.

5. Петров А. М. и др. Распространение фасциоллеза, эхинококкоза и диктиокаулеза у жвачных в Азербайджане. Труды АзНИВИ, сбор. № 2, 1935.

6. Садыхов И. А. Распространение аноплопефаляты среди домашних жвачных в Кировабадской зоне, 1962.

Институт зоологии

Поступило 26. IV 1966

А. М. Мэммэдов

Азэрбајҹаның Гәрб зонасында гузуларын вә јашлы гојунларын һелминтфаунасы

ХУЛАСЭ

Азэрбајҹаның гәрб зонасында бир нечэ мүэллифин (Петров вә әмек-дашлары, 1935; Гајыбов, 1947, 1949; Эсәдов, 1960; Садыхов, 1962) мүх-тәлиф вахтларда иш апармасына баҳмајараг демәк олар ки, һәмин зо-нада гојунларын һелминтфаунасы өјрәнилмәмиш галмышдыр.

Мүэллиф „28 Апрел“ гојунчулуг совхозунда чари илдә дөгүлмуш вә совхозун өрушләриндә отарылыш 21 баш гузуну там һелминтложи јарма үсулу илә јарыб тәдгигатдан кечирмиш вә беләликлә, тәсәррүфатда 39 нөв һелминтин һелминтфауна комплексинин даими ком-паенти олдугуunu ашкар етмишdir.

Ейни вахтда Јевлах раionунун „Гәләбә“ колхозунда 6 баш гузу үзә-риндә тәчрүбә апарылышдыр. Бундан әлавә, Газах вә Шамхор раion-ларында да јашлы гојунлар үзәриндә тәчрүбәләр арасында

Умумијәттә, гәрб зонасы тәсәррүфатларында гојунлар арасында 43 нөв һелминтин паразитлик етдији ашкар едилмишdir. Эдәбијјат мә’лumatларына көрә һелминтләrin сајы 48-ә чатыр.

ПОЧВОВЕДЕНИЕ

Г. А. АЛИЕВ. Р. Г. ШАРИФОВА

ЛИТОГЕННЫЕ ПОЧВЫ В ВОСТОЧНОЙ ОКОНЕЧНОСТИ
ГЛАВНОГО КАВКАЗСКОГО ХРЕБТА

В зоне погружения Главного Кавказского хребта к Апшеронскому полуострову широко распространены литогенные почвы. Эти почвы наблюдаются среди горно-луговых (до высоты 1700—1800 м); горно-лесных, горно-степных и примыкают к полупустынным серо-бурым почвам предгорных шлейфов и Апшерона (50—100 м). Более характерные фрагменты литогенных почв встречаются на крутых склонах бассейна Козлuchая, Чигильчая (притоки Сумгантчая), Сталчая, Атачая и Гильгильчая. Степень развитости их связана с рельефом местности, экспозицией склонов и полнотой покрытости растительностью. Морфологические признаки, химический и механический состав всех разновидностей литогенных почв исключительно связаны с главными почвообразующими породами. Обычно у литогенных почв, формирующихся под горно-луговыми и горно-лесной растительностью красная или красно-зеленоватая окраска наблюдается из-под пахотного горизонта. Окрашены более крутые склоны и верхние горизонты. Ниже лесной зоны под ксерофитными кустарниками или изреженной степной и полупустынной растительностью наблюдаются красноватые или красновато-зеленоватые литогенные почвы. Местами горные склоны (в пределах 300—800 м высоты) полностью оголены и красно-зеленоватые глины или породы выходят на дневную поверхность.

Литогенные почвы упомянутой зоны по генезису связаны с так называемой Сумгантской свитой и Апт-Барремскими ярусами меловых отложений. Так, горно-луговые дерновые почвы, формирующиеся на Сумгантской свите, на южных склонах Дибрара (разрез 2084; почвы, заложенные на высоте 1750 м), в своем профиле имеют красноватые оттенки, а с 70 см глубины начинаются белесовато-карбонатные породы, залегающие непосредственно на красно-зеленоватой глине.

Ниже по поясности, в зоне серо-коричневых малогумусных и маломощных (разрез 2120; заложены на высоте 800 м) почв красноватый цвет наблюдается с поверхности, ниже 40 см залегают красноцветные глины, куда редко проникают корни растений.

Еще ниже, к шлейфу погружения Главного хребта к полупустыням мы наблюдали почти бесплодные массивы, покрытые лишь красноватой, красновато-зеленоватой глиной, местами слой твердой

породы выходит на дневную поверхность. Продукты выветривания этих пород влияют на формирование литогенных почв. Для характеристики состава литогенных почв и породы проиллюстрируем их анализы.

Литогенные почвы Восточного Кавказа обычно высококарбонатные (табл. 1), изредка в горно-луговой зоне наблюдается выщелоченность верхнего горизонта. Накопление перегноя и их минерализация в основном наблюдается на верхнем полуметре (содержание гумуса 2—7%).

Таблица 1
Анализы литогенных почв на восточной оконечности Главного Кавказского хребта

Почвы	№ разреза	Глубина, см	CaCO ₃ по CO ₂	Умус, %	Азот, %	Поглощенные основания, м.экв				Механический состав 0,01 мм 0,001 мм		
						Ca	Mg	Na	Сумма			
Горно-луговые дерновые литогенные	2084	0—18	7,23	0,33	40,0			67,5	7,6	53,72	26,16	
		18—44	3,52	3,08	0,32	38,7	1,5	1,0	41,2	7,6	44,32	10,64
		44—70	17,05	1,75	0,19	29,9	1,5	1,0	32,4	7,5	88,40	46,80
		70—83	20,58	—	—	24,0	0,5	0,9	25,4	7,6	90,48	38,88
		83—105	45,71	—	—	23,0	1,5	0,9	25,4	7,6	92,69	40,36
Маломощные малогумусные серо-коричневые литогенные	2120	0—16	19,24	1,97	0,19	26,0	4,4	1,4	31,8	7,6	79,76	50,29
		16—42	21,38	1,53	—	22,5	2,5	2,5	27,5	7,6	80,24	44,88
		42—62	24,15	0,48	—	17,6	2,0	2,4	22,0	7,8	83,64	47,68
		62—85	23,67	—	—	14,7	9,3	4,4	28,4	7,7	89,92	50,08

Реакция этих почв щелочная (рН 7,5—8), хорошо насыщена обменными основаниями (30—40) м.экв в пахотном и 22—25 м.экв ниже полуметра).

Породы восточной оконечности Главного хребта — сплошные, осадочные и содержат глинистые минералы. Поэтому литогенные почвы имеют тяжелоглинистый механический состав (частиц 0,01 мм 80—90% и в пах. илистая фракция достигает 40—50%).

Таблица 2
Валовой химический состав литогенных почв (дерновые горно-луговые, р. 2084 и серо-коричневые, р. 2120) и породы, влияющие на окраску почв

№ разреза	Глубина, см	В % на минеральную часть							Сумма	SiO ₂	SiO ₂	SiO ₂	
		SiO ₂	TiO ₂	Al ₂ O ₃	Fe ₂ O ₃	MnO	CaO	MgO					
2084	0—18	59,67	0,21	21,0	6,5	0,04	7,80	0,96	1,07	97,84	5,50	24,7	4,50
	18—44	60,90	0,22	90,00	6,8	0,04	6,0	0,95	2,33	98,40	5,36	25,2	4,39
	44—70	49,53	0,15	17,61	5,8	0,04	15,82	3,15	0,32	93,84	4,80	27,3	4,10
	70—83	38,44	0,18	14,91	4,4	—	30,60	2,5	0,54	88,28	4,57	32,0	4,00
	83—105	40,63	0,14	13,82	6,0	—	29,01	3,09	0,30	94,72	5,15	22,3	4,18
2120	0—16	55,77	0,21	19,62	5,6	0,05	10,06	3,45	0,92	96,48	4,84	36,6	4,18
	16—42	53,13	0,11	17,10	5,7	0,04	16,11	2,62	0,26	97,33	5,37	38,6	4,52
	42—62	54,04	0,201	17,33	5,6	0,005	12,87	0,84	1,17	93,8	5,23	29,6	4,45
	62—85	51,21	0,18	12,58	5,3	0,03	14,91	0,79	0,85	88,12	7,08	28,3	5,66
2	Глина	49,09	0,64	21,80	9,8	0,44	9,82	3,33	2,84	98,8	3,80	13,50	3,00
5	Породы	56,64	0,48	15,20	4,8	0,10	13,44	2,51	3,62	97,99	7,23	31,33	5,87

Влияние породы на химический состав почв выявлено также благодаря анализу валового состава (табл. 2). Силикатные составы почв и породы очень близки и не превышают 50%. Содержание полуторных окислов на пахотном слое 25—26%, в глубине по профилю снижается до 18—23%.

Валовой состав литогенных почв характеризуется высоким содержанием кальция. В верхнем горизонте содержится CaO 8—10%, вниз по профилю повышается до 15—30%. В породах, вышедших на поверхность, содержание CaO 9—13,5%, что сходно с литогенными почвами.

Литогенные почвы по своим морфологическим признакам и по свойствам малопригодны или вовсе непригодны для возделывания сельскохозяйственных культур. Особенно в засушливых районах эти почвы сильно подвержены эрозии. Лучше всего на смятых литогенных почвах выращивать ксерофитные кустарники, а на более мощных разностях — лесные породы.

ЛИТЕРАТУРА

1. Захаров С. А. Почвы Нах. АССР, АзФАН СССР, 1939. 2. Элиев И. Э. Бөјүк Гафгазын Шимали Шәрг һиссәсинин мешә вә мешә бозгыр торнаглары Азәр ССР ЕА Нәширијаты, 1964.

Институт почвоведения и агрохимии

Поступило 15. VI 1966

И. Э. Элиев, Р. И. Шәрифова

Баш Гафгаз силсиләсинин шәрг тұртарачағында
литокен торпаглар

ХУЛАСӘ

Литокен торпаглар, типиндән асылы олмајараг, үзәрләрindә әмәлә келди жаңыларының тә'сириндә гырымызы, ағымсов вә бә'зен гырымызы-жаңыл рәнкә чалыр. Бөյүк Гафгазын шәрг һиссәсіндә белә торпаглар ән соң Сумгаит чајы, Атакай, Ситалчай вә Кильчилау һөвзәләрindә жаңылмышдыр. Бунларын мәншәни һәмин зонада жаңылмыш сүхурларын (Сумгаит свитасы, Апт-Баррем килләри) тәркиби илә элагәдардыр.

Литокен торпаглар жарымсәһра зонасындан башламыш дағ-чәмән торпагларына گәдәр һәр жердә раст кәлір. Бунларын тәркиби соң карбонатлы, эсасларла дојмуш (30—40 м. екән-дән 22—25 м. екән) вә ағыр киллидир (0,01 мм-дән кичик һиссәчиләрин мигдары 80—90%-ә чатыр; бунлардан 40—50%-и лил фраксијасыдыр). Үмуми кимәви тәркибиндә соҳху мигдарда биржарым оксидләр (18—23%-дән 25—26%) вардыр. Кәнд тәсәррүфаты биткиләри үчүн аз жараплыдыр. Бурада бә'зи гураглыға давамлы ағач вә я кол биткиләри әкмәк олар.

БИТКИ ФИЗИОЛОГИЯСЫ

Ш. М. ГУЛИЈЕВ, К. ҺӘСӘНОВА, З. МӘММӘДОВА

ДОД ТӘРКИБЛИ ПОЛИМИКРОБҮРӘЛӘРИН БИТКИЛӘРДӘ ШӘКӘРЛӘРИН ДИНАМИКАСЫНА ТӘ'СИРИ

(Азәрбајчан ССР Елмләр Академијасынын ақадемики И. Э. Элиев
'тәгдим етмишшидир)

Сулукарбонлар, о чүмләдән шәкәрләр битки организмнинде мүһүм рол ојнајыр. Шәкәрләр биткиләрин һәјатында бөյүк әһәмијәтә малик олан зулалларын, јағларын, алкалонидләрин, витаминләрин, бој стимулаторларынын вә башгә үзви бирләшмәләрин синтез олунмасы үчүн башлыча материал олмагла бәрабәр, тәнәффүс просеси үчүн зәруриди. Шәкәрләрин мүәյҗән һиссәси битки һүчејрәләриңин гылафыны әмәлә кәтирмәје сәрф олунмагла, организмнин формалашмасына вә мөһкәмләнмәсінә сәбәб олур.

Бундан әlavә, шәкәрләрин битки органларында кифајет гәдәр топланмасы онларын истилијә вә шахтаја гаршы давамлылығыны артырыр. Микроэлементләр исә биткидә шәкәрләрин вә дикәр маддәләрин мигдарыны артырмагла, мәһсүлүн кејфијет кестәричисини јүксәлдир.

Шәкәрләрин битки организмнинде әһәмијәтини нәзәрә алар, бир соң алимләр микроэлементләрин шәкәрләре тә'сирини өјрәнмишләр.

Мүәйҗән олунмуштур ки, синк, хром вә кобалт үзүмүн киләсіндә шәкәрин мигдарыны артырмагла түршүлүгу азалдыр ки, бунун да бөйүк тәчрүбәви әһәмијәти вардыр. Бор, манганс, мис элементләри шәкәр вә нишастанын синтезине, парчаланмасына тә'сир едир. Борун тә'сири алтында сулукарбонларын, хүсусән шәкәрләрин синтези вә йарпаглардан мејвә органларына һәрәкәт етмәсі сүр'әтләнір. Бунунда борун кенератив органларын формалашмасына, мејвәвермә габиљијәтінә вә мејвәэмәләкәлмә просеслерине тә'сири изаһ едилмиш олур [1].

Биткидә сулукарбонларын һәрәкәтінин сүр'әтләнмәси, бә'зи мүәллифләрин фикринчә, асан һәрәкәтә малик олан борлу шәкәр комплекс бирләшмәсінин әмәлә кәлмәси илә элагәдардыр. Тәкчә бор дејил, һәмчинин манганс, синк, мис вә молибден элементләри дә сулукарбонларын синтез олунмасына, һәрәкәтінә, хүсусән шәкәрләрин йарпагдан мејвә органларына вә кек системине дахил олмасына мүсбәт тә'сир едир. Апарылан тәчрүбәләрдән [2] мә'лум олумшудур ки, гарғыдалы тохумуну молибден, синк вә бор мәһілүлларында (1 г/л), исладыб сәп-

Жоду микрокүбрәләрин памбыг биткисинин јарпагларында шәкәрләрин
мигдарына тә'сири

дикдә сүпүркәдә моносахаридләрин вә сахарозаның мигдары һәм контрола, һәм дә биткиниң јарпаг вә көвдәсингәннән нисбәтән хејли олур ($1,52 - 2,91\%$). Јарпаг вә көвдәдә шәкәрләрин азалмасы меңчох олур.

Мүәյҗән едилмишdir ки, мангандың, бор вә мисин тә'сириндән кәләм контрола, һәм дә биткиниң јарпагларында шәкәрләрин мигдары нисбәтән 16 – 64% артыр [3].

Мангандың мис элементләри буғда биткисинин јарпагларында сахарозаның мигдарының контрола нисбәтән 1,43% артмасына сәбәп олур [4].

Мүрәккәб минерал күбрәје (нитрофоска) 1,5 – 2,0% мигдарында мангандырыбын истифадә етдикдә биткиләрин мәһсулу артмагла бәрабәр, тәркибиндә шәкәрләрин мигдары да јүксәлир. Мәсәлән, шәкәр чуғундурунда онун мигдары мангандың нитрофосканың тә'сириндән тәкчә нитрофоска верилмиш, варианта нисбәтән 0,1 – 0,5% артыг олмушdur [5].

Микроэлементләрин биткинде шәкәрләрин топланмасына мүсбәт тә'сири харичи өлкә алимләри тәрәфиндән дә өjrәнилмешdir [6].

Биткиләрин мүхтәлиф органларында шәкәрләрин топланмасына микроэлементләрин мүсбәт тә'сириән аид чохлу мә'lуматлар вардыр. Лакин гәjd етмәк лазымдыр ки, Азәрбајҹан ССР шәрәнтиндә јод елементинин вә кимја сәнајеси туллантыларындан һазырламыш полимикрокүбрәләрин биткиләрдә шәкәрләрин топланмасына нә чүр тә'сири етмәсindән аид тәдгигат ишләри апарылмамышдыр.

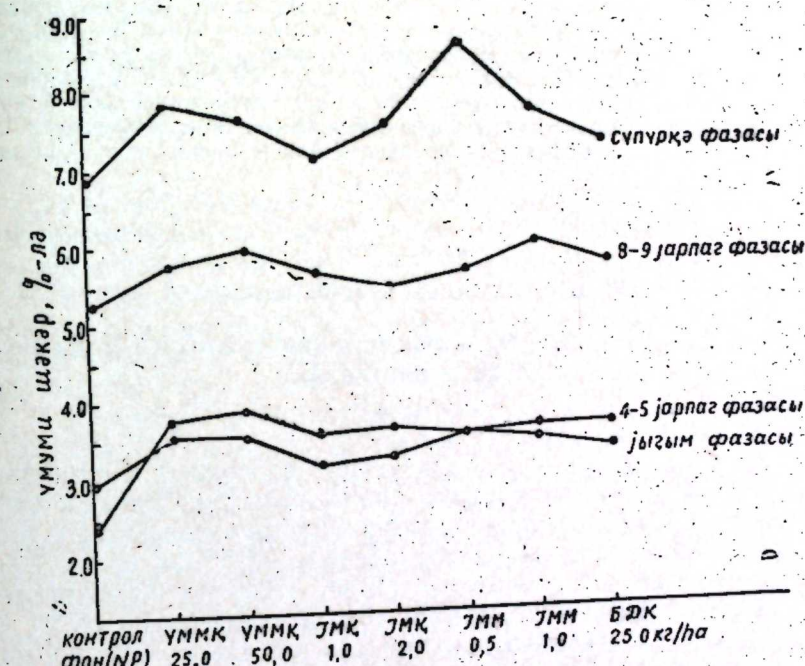
Памбыг вә гарғыдалы биткиләринин јарпагларында шәкәрләрин (моносахарид, дисахарид вә үмуми шәкәрләр) динамикасына јод тәркибли полимикрокүбрәләрин тә'сири бизим тәрәфимиздән өjrәнилмешdir. Памбыг биткисинде шәкәрләр Бертран үсулу илә тарла тәчрүбәсindән, гарғыдалы биткисинде исә векетасија тәчрүбәсindән көтүрүлмүш нүмунәләрдә (наваðа гурӯ һалда) тә'јин едилди. Памбыг биткиси үзрә тәчрүбәләр Учар рајонунун ачыг боз-чәмән, гарғыдалы биткиси үзрә исә Загатала рајонунун глеjләшмиш мешә-чәмән торпагларында ғојулмушdur.

Тәчрүбәләrimizdә ашағыдақы полимикрокүбрәләрин (PMK) тә'сири өjrәнилмешdir: YMMK (үзви минерал микрокүбрә), JMK (јод микрокүбрәси), JMM (јүксәк мәһсуул маддәси). Бундан әlavә, бор до-талит микрокүбрәси (BDK) вә калиум-јодид дә сынағдан кечирилмешdir.

Полимикрокүбрәләр Азәрбајҹан ССР ЕА Торпагшунаслыг вә Агрокимја Институтуның микроэлементләр лабораторијасында Бакы кимја сәнајеси туллантыларындан һазырламышдыр. Һәмми полимикрокүбрәләrin тәркибиндә бир чох физиологи микроэлементләр, о чүмләдән јод элементи олдугуга көрә буылар полимикрокүбрә адланыр. Јод тәркибли полимикрокүбрәләр памбыг биткисинин чичәкләмә фазасында, гарғыдалы биткисине исә сәпингабагы торпаға верилмишdir. Фон олараг һектара тә'сиредици маддә һесабы илә 90 кг азот вә 90 кг фосфор верилмишdir. Анализләrin иәтичәси көстәрдй ки, јод тәркибли полимикрокүбрәләр, биткиләрдә шәкәрләрин топланмасына мүсбәт тә'сири едир (чәдвәл, шәкил).

Чәдвәлдән көрүндүjу кими, бүтүн вариантында јод микрокүбрәләри шәкәрләрин артмасына мүсбәт тә'сири етмәклә, эн јүксәк көстәрчи һектара 1,0 кг KJ вә JMK верилдикдә алышмашдыр (үмуми шәкәрләр контрола нисбәтән 2,73 – 2,78% артмашдыр). YMMK-нин тә'сириндән үмуми шәкәрләрин мигдары 0,53% артыг олмушdur. Гарғыдалы јарпагында шәкәрләрин мигдары биткинин мүхтәлиф инкишаф фазаларында тә'јин едилмишdir (шәкил). Айдан олмушdur ки, гар-

Вариантлар	Моно-сахарид, %-лә	Дисахарид, %-лә	Үмуми шәкәрләр, %-лә	Контрола нисбәтән үмуми шәкәр артмасы, %-лә
Контрол-фон (N, P)	0,92	2,7	3,62	—
фон+KJ 0,5 кг/га	0,92	2,9	3,82	0,20
фон+KJ 1,0	1,30	5,1	6,40	2,78
фон+KJ 1,5	1,17	3,4	4,57	0,95
фон+JMK 0,5	1,17	3,8	4,97	1,35
фон+JMK 1,0	1,05	5,3	6,35	2,73
фон+JMK 1,5	1,17	3,1	4,27	0,65
фон+YMMK 25,0	1,05	3,1	4,15	0,53



Гарғыдалы биткисинин јарпагларында үмуми шәкәрин топланмасына полимикрокүбрәләрин тә'сири.

Гарғыдалы биткисинин 4 – 5 јарпаг фазасындан башлајараг сүпүркәэмәләкәлмә фазасына гәдәр үмуми шәкәрләрин мигдары артыр. Лакин јыгым фазасында үмуми шәкәрләрин мигдары јарпагларда азалараг јыгым фазасында топланан мигдардан да ашағы енмишdir. 4 – 5 јарпаг фазасында топланан мигдардан да ашағы енмишdir. Шүбһәсиз ки, бу просес биткинин соң инкишаф фазасында шәкәрләрин јарпаглардан дән мәһсулуна ахараг нишаста шәклиндә топланмасынан јарпаглардан дән мәһсулуна ахараг нишаста шәклиндә топланмасынан әлагәдәрдй. Беләликлә, шәкәрләрин битки органларында топланмасына микроэлементләр мүсбәт тә'сири едир ки, бунун да бөյүк әһәмијәттән ишләрдй.

Диаграмдан көрүндүjу кими, гарғыдалы биткисинин јарпагларында үмуми шәкәрләрин мигдары јод тәркибли микрокүбрәләрин тә'сириндән үмуми шәкәрләрин мигдары 1,16 – 1,49%, дән контрола нисбәтән биткинин 4 – 5 јарпаг фазасында 1,16 – 1,49%, 8 – 9 јарпаг фазасында 0,14 – 0,81%, сүпүркә фазасында 0,28 – 1,75%, јыгым фазасында исә 0,19 – 0,60% артмашдыр.

Векетасија евчији шәрәтиндә апарылмыш башга бир тәчрүбәдә 1 кг торпаға 0,5 — 1,0 мг несабы илә JMM (јүксәк мәңсул маддәси) верилмиш вариантында гарғыдалы жарпағында үмуми шәкәрин мигдара контрола нисбәтән 2,75 — 3,45%-ә гәдәр артышдыры.

Анализләrin нәтижәси көстәрди ки, јод тәркибли полимикрокубрәләр памбыг вә гарғыдалы биткисинин жарпагларында шәкәрләrin топланма динамикасына мүсбәт тә'сир етмәклә, онларын мәңсулуну да хејли артырыр. Буна көрә дә сох учуз баша кәләп јод тәркибли полимикрокубрәләрин истиналатда истифадә едилмәси иғтисади чәһәтдән фајдалыдыр.

ЭДДЕБИЙЛАТ

1. Школьник М. Я. Физиологическая роль микроэлементов у растений в свете новейших данных. Тр. Всесоюз. совещ. по микроэлементам. Рига, 1959. 2. Загритсенко П. Р. Влияние разных способов питания микроэлементами на углеводный обмен, содержание связанный воды, количество и качество урожая кукурузы. Тр. Всесоюз. совещ. по микроэлем. Рига, 1959. 3. Мэммэдов З. И. Абшерон шәрәтиндә микроэлементләрин тәрәвәз биткиләринин мәңсулларлыгына тә'сир Бакы, Азәриәш, 1964. 4. Абуталыбов М. Биткиләрин һәјатында вә мәңсулларлыгын јүкәлдилмәснәдә микроэлементләрин әһәмијәти. Бакы, Азәриәш, 1959. 5. Гавва И. А. Влияние сложных удобрений, содержащих микроэлементы, на урожай сельскохозяйственных культур и качества продукции. Физиология питания растений. Киев, 1964. 6. Sauch M. Q. a. Dugger W. W. The role of boron in the translocation of Sucrose. Plant physiol., 28, 1953.

Торнагшұнаслыг өз
Агрокимја Институту

Алынышдыр 5.1.1966

Ш. Күлиев, К. Гасanova, З. Мамедова

Влияние йодсодержащих полимикроудобрений на динамику сахаров в растениях

РЕЗЮМЕ

Нами было изучено влияние следующих йодсодержащих полимикроудобрений на динамику сахаров (моносахаридов, дисахаридов и общего сахара) в хлопчатнике и кукурузе: органо-минеральное микроудобрение (ОММУ), йодное микроудобрение (ИМУ) и вещество высокого урожая (ВВУ). Кроме этого, было испытано бордоталитовое микроудобрение (БДК) и химически чистый калий-йодид (КJ).

Результаты анализов показали, что под действием йодсодержащих полимикроудобрений, БДК и КJ в листьях хлопчатника накопление общего сахара было на 0,53 — 2,78% больше, чем в контроле. Внесение этих же микроудобрений увеличило общий сахар в листьях кукурузы на 0,14 — 1,75% по сравнению с контролем. Интенсивное накопление их в листьях кукурузы наблюдалось в фазе метелкообразования, а в период сбора урожая, количество сахаров резко уменьшилось в связи с оттоком сахара из листьев в зерно. Там уже происходит накопление в виде крахмала и других веществ.

Г. М. АСЛАНОВ, М. И. АТАКИШИЕВА, А. А. УМАЕВ

ПРОИЗВОДСТВО ВЕРЕВОК НА АПШЕРОНЕ¹ (XIX—начало XX вв.)

(Представлено академиком АН Азербайджанской ССР А. С. Сумбатзаде)

Население Азербайджана издавна занималось производством веревок, широко используя их в своей производственной и хозяйственной деятельности и в быту. Веревки производились из шелка, шерсти и различных технических растений: хлопка, льна, конопли и др.

Настоящая статья посвящена изучению производства веревок из „кэнап“ — конопли на Апшероне в XIX — начале XX вв. Следует отметить, что подобный вопрос был предметом специального изучения Ш. А. Гулиева² в Кубинском, Нухинском и Закатальском районах.

Не останавливаясь подробно на исторических сведениях выращивания конопли местным населением Азербайджана, отметим только, что в изучаемый период эта культура была распространена в Казахском Кубинском, Ленкоранском, Елизаветпольском уездах и в ограниченных размерах на Апшеронском полуострове³.

Скупка и транспортировка сырья. Мастера Апшерона покупали коноплю, — главным образом в селениях Сусай, Юхары-Гымыл, Герай, Узунмеша, Кюснет и других Кубинского уезда и на рынках гор. Баку. Покупалось сырье в пудах, стоимость каждого пуда колебалась от 4 до 5 руб. Перевозка купленного сырья производилась на арбах местного производства, и длилась она 3—4 дня. Расходы на перевозку накладывались на стоимость готовой продукции.

¹ Данная статья написана на основе этнографических сведений, полученных от информаторов: Алиева Гамбар Гадим оглы, 63 года, житель сел. Мардакяны; Алиева Бекали Гаджи Аслан оглы, 87 лет, житель того же селения; Гурбанова Джума Байрам оглы, 59 лет, из сел. Амиралдан Ках-Мугальского сельсовета Кахского района. Это село расположено в 4 км от гор. Ках по направлению к гор. Закаталы. В статье использованы также сведения, полученные из дореволюционной и советской исторической литературы и археологический материал, выявленный канц. истор. наук Г. М. Аслановым в 1964 г. во время раскопок в сел. Шувелян на Апшеронском полуострове.

² Ш. А. Гулиев, О народных способах возделывания конопли и использовании ее волокон и семян в хозяйстве. „Азерб. этнограф. сб.“, т. I, Баку, 1964, стр. 147—160.

³ Газ. „Кавказское сельское хозяйство“, 1901, № 389, стр. 409; № 392, стр. 454; № 459, стр. 728. И. Карап-Мурза. Веревочный промысел. Там же, 1903, № 510, стр. 1451—1452; Флора Азербайджана, т. III, Баку, стр. 140.

Обработка конопли. Мастера в бассейнах замачивали пучки купленной конопли⁴. Замачивание длилось 10—15 дней. Работа по отделению "лиф" от стебля должна была завершиться в течение одного дня. Поэтому в ней принимали участие все работоспособные члены семьи, на помощь приходили родственники и соседи. Во время обработки стеблей, т. е. сдирания луба, каждый стебель разделялся на 2—3 части. Содранный луб назывался "сырым". Потом луб связывали в пучки и вывешивали на солнце, а в дождливую погоду переносили под укрытие. Во время обработки стеблей можно было получить продукт разных сортов: получение каждого сорта зависело от периода нахождения стеблей в воде. Недодержка и передержка стеблей в воде в равной степени отрицательно сказывалась на сортности. Если стебли вынимали раньше необходимого срока, установленного многолетним опытом, то волокно отделялось с трудом, часто обрывалось и продукт получался второго сорта. Если же стебли передерживали в воде, то волокна прели и продукт получался третьего сорта. Для получения продукта первого сорта требовался большой опыт и выдержка необходимого срока замачивания конопли.

Мастера веревочного производства. В изучаемый период производством веревок занимались в некоторых селениях Апшерона. В сел. Мардакян получили известность имена мастеров веревочного производства—Гаджи Аслана, Гаджи Азиза, Гаджи Сеид Гусейна и других. Веревки производили также в сел. Маштаги, Гала, Туркян и т. д.

Орудия и процесс производства. Примитивный станок, на котором вырабатывали "зивэ"—веревку-простовивку, назывался "гамэт", т. е. стани, (рис. 1.) Станок изготавливали из дерева крепких

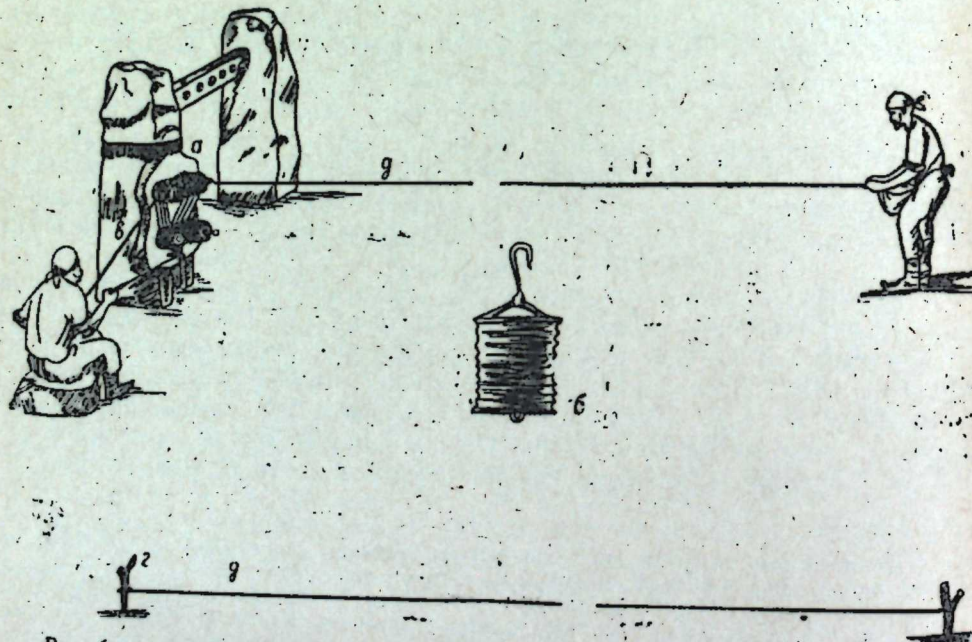


Рис. 1. а — станок; б — ролик; в — привод; г — колышек; д — простовивка.

пород. На Апшероне, в частности, преобладали изделия из дерева "тут"⁵. Станок имел форму женской фигуры на двух ножках—"ајаг" с выступом в верху—"губбэ", т. е. на вершине. В верхней части

⁴ Всестороннее описание всех циклов работы народного способа выращивания и обработки конопли имеется в вышеуказанной статье Ш. А. Гулиева.

"губбэ" делалось углубление называемое "боун"—шея. На станке имелось четыре "чарх"—ROLIKA. На верхнюю часть каждого ролика наглохо прикрепляли "гармаг"—крючок, который вращался вместе с роликом. Каждый ролик устанавливался на отдельный неподвижный "ох"—стержень. Несколько ниже роликов укрепляли "налга"—кольцо. На винтовую резьбу роликов в два круга продевалась веревка—привод, один конец которой проходил через упомянутое кольцо, другой же конец веревки находился в руках мастера, образуя таким образом замкнутый круг. Веревку через кольцо пропускали для того, чтобы во время работы она не соскачивала с резьбы роликов. Общий вид станка "гамэт" и названия его отдельных частей, тождественных названиям частей тела женщины является еще одним подтверждением связывания женской фигуры с плодородием, а в производстве—обилием⁶.

Второй станок, на котором скручивали веревку, назывался "карачу"—караджу (рис. 2). Этот термин—производное от двух фарсид-

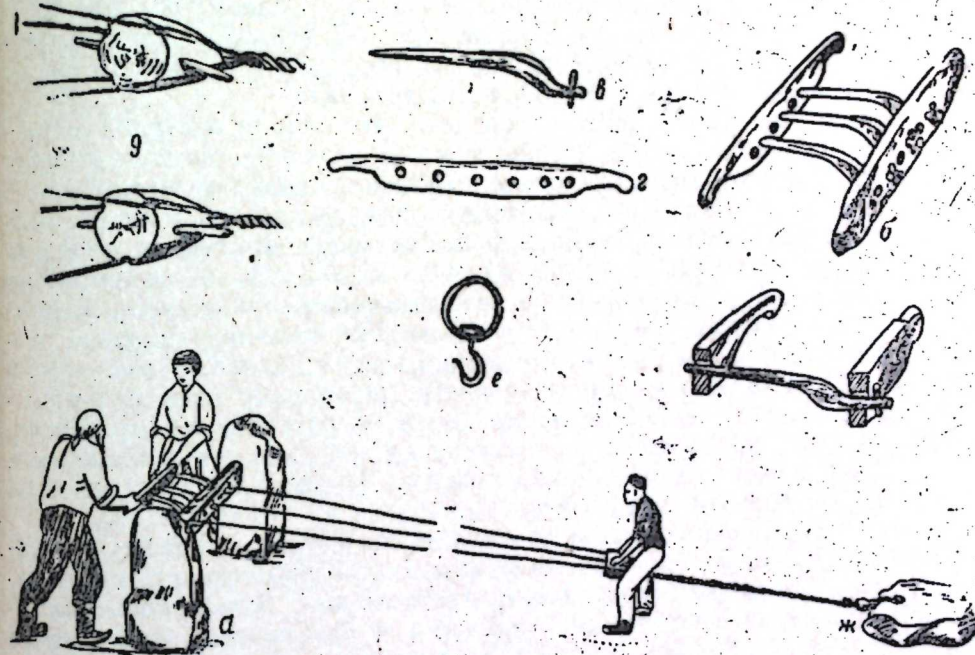


Рис. 2. а — тапан; б — перекладина; в — рычаг; г — рукоятка; д — колодка; е — крючок; ж — веревочный груз.

ских слов: "кар"—работа и "чу"—производящий работу. Станок состоит из двух основных частей—неподвижной и передвижной. К неподвижной части относятся два "тапан"—каменных четырехугольных столба (20×25 см) длиной около 1,5 м. Столбы устанавливались на одной линии на расстоянии метра друг от друга и на 50 см вкапывались в землю. Перед вкапыванием, в сделанные в верхней части столбов углубления вставлялся "дирэк"—деревянная перекладина шириной 10 см и толщиной 5 см. На перекладине делали 6 "коз"—отверстий, 10 см и толщиной 5 см. К передвижной части относился "гол"—диаметром 2—3 см каждый. К передвижной части устанавливали 3—4 рычага деревянный рычаг. Обычно, на перекладине устанавливали 3—4 рычага. Один конец каждого рычага вставлялся в отверстие перекладины.

⁶ Г. П. Кесаманлы, З. И. Ямпольский. Историко-археологический комплекс из села Ибрагимгаджили Азербайджанской ССР. "Советская археология", М., 1966, № 1, стр. 275—277.

и закреплялся деревяным шпунтиком, а другой конец входил в отверстие „эл дэстэки“—рукоятки, движением которой станок приводили в действие. Сюда же относился „гэлиб“—деревянная колодка с ручками, имеющая конусообразную форму с тремя или четырьмя канавками на поверхности. Более ранняя форма колодки состояла из двух крестообразно соединенных досок. Но в виду того, что эта форма колодки была непрочной и неудобной в работе, она быстро вышла из употребления. Крестообразная колодка продолжала бытовать при изготовлении различных веревок из шерсти. Далее, сюда относились „мидэвэр“—железное кольцо, со свободно вращающимся крючком и „кэндир даши“—веревочный груз, сделанный из большого грубого камня, весом около 20–25 кг. На камне с одного края имелось сквозное отверстие для укрепления „мидэвэр“.

Процесс производства состоял из трех последовательных этапов. Первый, подготовительный этап включал в себя следующие виды работ: „чырпмаг“—ручное трепание конопляных стеблей, которые затем укладывались рядами; прикрепление „гамэт“ к одному из „тапан“—столбов сверху и снизу при помощи веревки; вбивание двух „мыча“—деревянных колышек в землю на расстоянии одного метра от станка с промежутком в 25–30 м между ними.

Второй этап работы начинался с того, что один из мастеров усаживался около станка „гамэт“ и при помощи веревки-привода начинал вращать деревянные ролики станка. Обычно, приводом приводили в движение два или три ролика. После этого два или три мастера, смотря по тому, сколько вращалось роликов, надев фартуки и положив в них конопляное волокно, прикрепляли концы его, предварительно скрутив их вручную, к крючкам вращающихся роликов. Вращающийся ролик скручивал конопляное волокно. По мере скручивания волокон каждый мастер отступал от станка и, добавляя новые пучки сырья, удлинял производимую „зивэ“—простовивку. Когда простовивка достигала требуемой длины, вращение роликов останавливали. Простовивка снималась с каждого ролика и концами закреплялась за вбитые в землю деревянные колышки. На колышки закрепляли от трех до двенадцати простовивок.

Третий этап производства происходил на станке „караджу“ и начинался с того, что мастер, сняв с колышек три простовивки, один конец каждой из них при помощи небольшого деревянного шпунтика, прикреплял к трем „гол“—рычагам, а другие три конца вместе прикрепляли к „мидэвэр“, с предварительной установкой между простовивками колодки. Колодка устанавливалась около „мидэвэр“. После этого, два мастера, взявшись каждый с одной стороны „эл дэстэки“—ручки, вращением ее, приводили в движение станок. По мере движения „эл дэстэки“—руочки станка, каждая из простовивок „ешилир“—скручивалась. Во время этого процесса назначение колодки состояло в том, чтобы не допустить запутывания простовивок. Когда простовивки скручивались в достаточнй мере, мастер, крепко взявшись за ручки колодки, медленно передвигал ее вперед. В это время происходило скручивание трех простовивок в один „гол“ или четырех простовивок в „чијэ“. Скручивание простовивок заканчивалось тогда, когда мастер с колодкой в руках проходил всю их длину.

Таким образом, во время работы на станке „гамэт“ изготавливали „зивэ“, а затем на станке „караджу“ из двух простовивок скручивали „виш“—шлагат, из трех простовивок делали „гол“, из четырех простовивок изготавливали „чијэ“—бытовую веревку, из девяти простовивок получали „гују или“—веревку для колодцев, из двенадцати простовивок скручивали „браз“—канат.

Продажа готовой продукции. На Ашероне, как правило, широкой рыночной торговли веревочными изделиями не было. Мастера в основном изготавливали продукцию по заказу местного населения. Работа на заказ была выгодна для мастеров потому, что, зная назначение веревки, они изготавливали ее требуемой длины, без каких-либо потерь сырья. Хорошие качества производимых в сел. Мардакян веревок привлекали сюда внимание многих заказчиков из различных сел Ашеронского полуострова. Но наряду с производством и продажей веревок по заказу, в случае излишка сырья, мастера изготавливали веревки и на рынок.

Различные виды производимых на Ашероне веревок находили широкое применение в хозяйстве и быту местного населения. В животноводстве (для упряжи лошадей и быков, привязывания мелкого рогатого скота), рыболовстве (для изготовления сетей), судоходстве (для простых и парусных судов), для охоты, на мельницах (канатом поворачивали крылья мельницы к ветру), для различных видов орошения, бытовых нужд (развешивания белья, перевязывания различных предметов и т. д.) и для выполнения многих других хозяйственных и производственных процессов требовалась различные виды веревок.

:

Изучение производства веревок на Ашероне в XIX—начале XX вв. позволяет определить древность этого производства в Азербайджане. Основанием для этого является: во-первых, найденный Г. М. Аслановым на Ашероне во время археологических раскопок в 1964 г. „кэндир даши“—веревочный груз от станка „караджу“. По всей вероятности, этот камень относится к античному периоду. Во-вторых, на древность веревочного производства указывает и примитивность самого станка „караджу“, изготовленного из камня и дерева, без применения железа. Позже, железо использовалось для изготовления крючков, которые до этого выделялись из крепких пород дерева. В-третьих, древность этого производства подтверждают и сцены охоты, запечатленные на наскальных изображениях Кобыстана⁸ и Ашерона. Многочисленные рисунки здесь показывают использование человеком в эпоху бронзы, по всей вероятности, и веревки во время охоты с боло на животных.⁹ Наконец, на древность веревочного производства указывает и то, что существовавшие на Ашероне в далеком прошлом различные отрасли хозяйства и разные виды ремесел обусловливали развитие веревок с давних времен.

Поступило 9. VI 1966

Институт истории

⁸ И. М. Джадарзаде. Искусственное орошение и народные способы водоснабжения на Ашероне. Сб. „Вопросы этнографии Кавказа“, Тбилиси, 1952, стр. 114–157.

⁹ И. М. Джадарзаде. Древнейший период истории Азербайджана. В кн. „Очерки по древней истории Азербайджана“, Баку, 1956, стр. 32–35.

⁹ Г. М. Асланов. Археологические раскопки на Ашероне. Сб. „Материальная культура Азербайджана“. Баку, т. VI, 1965, стр. 67–73.

Г. М. Асланов, М. И. Атакишиева, А. А. Умаев

Ашеронда кэндир истеңсалы (XIX–XX əsrin əvvəlləri)

ХУЛАСӘ

Ашерон јарымадасынын Мәрдәкан кәндиндә „гамэт“, „карачу“ эл дәзкаһларында тәсәрүфат] вә мәишәтдә кениш сурәтдә истифадә олунан мұхтәлиф нөвлү кэндир, һазырлајырдылар.

Кәндирі-техники биткіләрдән бири олан кәнафдан истеңсал едирдиләр. Илк әvvәл кәнаф биткиси исламмага гојулур. Соңра онун сыйрымларыны бир-биринә чалајыб „гамәт“ дәзкаһында ешир вә беләликлә зивә әлдә едириләр. Ишин үчүнчү һиссәси буидан ибарәтдир ки, зивәләрпүр бир нечәсини көтүрүб „карачу“ дәзкаһында ешмәклә, зивәләрпүр сағындан асылы олараг чијә, гују или, гол вә браз һазырлајырдылар.

Шұвәлан гәсәбәсіндә археологи газынтылар заманы тапылмыш кәндир даши вә айры-айры дашлар үзәриндәki бә'зи тәсвиrlәр бу истеңсалатын Абшеронда чох гәдим дөврдән мөвчуд олмасыны көстәрән дәлилләрдән биридир.

АЗӘРБАЙЖАН ССР ЕЛМЛӘР АКАДЕМИЈАСЫНЫН МӘРУЗӘЛӘРИ

ДОКЛАДЫ АКАДЕМИИ НАУК АЗЕРБАЙДЖАНСКОЙ ССР

ТОМ XXII

№ 12

1966

АРХИТЕКТУРА

К. М. МАМЕДЗАДЕ

О СРЕДНЕВЕКОВОМ КУЛЬТОВОМ ПАМЯТНИКЕ В СЕЛЕ САГИЯН ШЕМАХИНСКОГО РАЙОНА

(Представлено академиком АН Азербайджанской ССР М. А. Усейновым)

На расстоянии 36 километров северо-западнее гор. Шемаха в селе Сагиян находится средневековое культовое здание.

Здание состоит из крестообразного зала с примыкающими к нему четырьмя небольшими помещениями перекрытыми полуциркульными сводами. Отсеки креста перекрыты сводами с полуциркульным очертанием. Центральное пространство, представляющее в плане квадрат, перекрыто куполом.

В основу всей планировки здания положена простейшая геометрическая фигура—квадрат. Вход в здание устроен с северо-восточной стороны, с видом на открытое пространство. В зал имеют входы четыре вспомогательных помещения. Три из них имеют маленький световой проем.

Материал купола и сводов—камень-известняк. Конструктивные места из тесаных камней (очертание арки, дверные проемы, барабан купола). Толщина стен 80 см.

Кладка сводов велась горизонтальными рядами. О. Халпахчян¹, исследовавший конструкции и формы в средневековой армянской архитектуре, отмечает, что подпружные арки применялись, очевидно, не только из конструктивных и производственных соображений, но и как элемент архитектурного членения пространства.

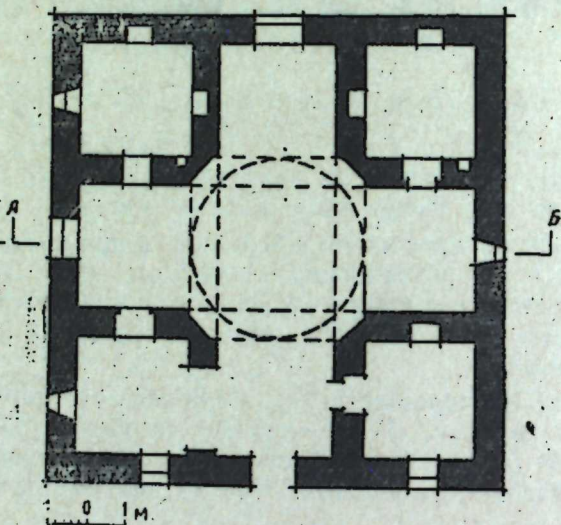
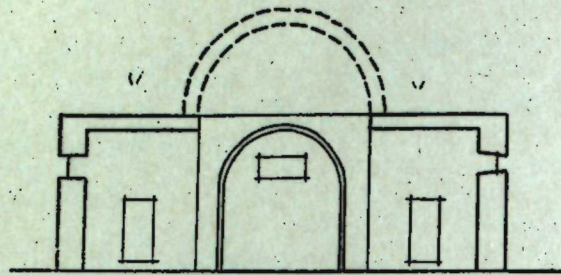
В настоящее время купола нет. Но остатки его показывают, что он также складывался горизонтальными рядами с уменьшением размера рядов к вершине. Конструктивная схема и архитектурная композиция здания тесно связаны друг с другом.

Принцип, заложенный в основу композиции (квадрат), определил собой статичность и уравновешенность всех форм помещения.

В отношении назначения этого здания следует отметить следующее.

¹ О. Халпахчян: Конструкция и форма в армянской архитектуре IV—XIV вв. Архитектура и строительство. М., 1960, стр. 12.

Некоторые ученые предполагают, что сагианский памятник восходит к более ранней архитектурной традиции. При обследовании его С. М. Казиевым и З. И. Ямпольским, местные старожилы (А. К. Никогосян и др.) сообщили, что традиционное наименование здания—“огнепоклонников” (грапашнар, грапашт). По наблюдениям обследователей,



Шемаха, сел. Сагиан
Кульовое здание: а — план; б — разрез А—Б.

целый ряд святилищ Азербайджана, восходящих с глубокой древности (в сел. Зых в Бузовны и др.), имеют аналогичную планировку, так же как и домусульманские (зороастрийские) храмы огнепоклонников².

Но различные варианты этой схемы, как указывает А. Саламзаде³, были широко распространены не только в культовом строительстве XVI—XIX вв., но применялись в общественных зданиях, в частности—банных более сложной планировки.

Данный памятник публикуется впервые.

Институт истории

Поступило 18. I 1966

² М. М. Дьяконов. Очерки истории древнего Ирана. М., 1961, стр. 300 и 415—со ссылкой на работы F. Sarre, E. Herzfeld'a, C. Huart'a, K. Erdman'a, A. Ghirschmand, S. Nafisi.

³ А. В. Саламзаде. Архитектура Азербайджана XIV—XIX вв., Баку, 1964, стр. 28, 198.

К. М. Мэммэдзадэ

Шамахы районунун Сафијан кәндидәкى орта эср дини абида һагында

ХҮЛӘСӘ

Шамахы районунун Сафијан кәндидә бир дини бина јерләшир. Бина планда әсасән ҳаҷшәкиlli залдан вә она битишк յарымдаирәви таflарла өртүлмүш дөрд кичик отагдан ибәрәтdir.

Бинанын конструктив схеми вә архитектура композијасы бир-бири лә сых бағлыдыр. Бинанын нә мәгсәдлә тикилмәси һагында бә'зи фикирләр ирәли сүрүлүр. Јерли әһали бу бинаны „атәшкәһлар“ (гра-нашпар) ады илә таныјыр.

Лакин бу бинанын мұхтәлиф вариантына, инчәсәнәтшүнаслыг доктору Э. Саламзадәниң көстәрдијинә көрә, иәни XVI—XIX әсрләрин дини биналар тикинтисиндә, һәтта ичтимай биналарда, о чүмләдән мүрәккәб планлы һамамларда тәсадүф олунур.

1966-ЧЫ ИЛДЭ «АЗЭРБАЙЧАН ССР ЕЛМЛЭР АКАДЕМИЯСЫНЫН
МЭТРУЗЭЛЭРИ» ЖУРНАЛЫНДА ДЭРЧ ЕДИЛМИШ МЭГАЛЭЛЭРИН
КӨСТЭРИЧИСИ

Ријазијјат

Атакишијева Р. Х. Банах фәзасында тамам кәсилмәз операторлу тәнлилүүчүн Бубнов-Галјоркин үсүлүнүн дајынглығы, № 1, сән. 7.

Бајрамов Р. А. Ики нәээрүү-групп теорем, № 4, сән. 8.

Бердышев В. И. Чебышев чохлуглары нагында мәсәләјә даир, № 9, сән. 3.

Гасымов М. К., Чәбиев Т. Т. Соңлу парчада Дирик тәнилийүүчүн ики спектрә көрә тәрс мәсәләнин һәлли, № 7, сән. 3.

Гасымов М. К. Өз-өзүнә гошма олмајан Шреденгер тәнилийүүчүн дағылма нәээрүүсү мәсәләсүнин һәлләринә көрә айрылып, № 10, сән. 9.

Әлиханова Р. И. Қасишин әмсалы 2-чи тәртиб квази-хәтти еллиптик тәнлик учун гоулумуш сәрһәд мәсәләсүнин Галјоркин үсүлүн ила һәлли, № 9, сән. 6.

Әмәнездә Р. І. Гејри-хөтли еластики материалдан гајрылмыш назик експен-трик һалгыны дајынглығы, № 6, сән. 3.

Искәндәрзәдә З. Э. Ҳәтти дајынлашмайын пејтрал һалында һәрәкәтии мотон дајынглығы, № 3, сән. 13.

Жагубов С. Џ. Банах фәзасында гејри-сабит дәјиши мәндеңнә областына малик олан дәјиши оператордан асылы јүксәк тәртиб диференциал тәнликләр учун Коши мәсәләсүнин һәлли, № 2, сән. 6.

Жагубов С. Џ. Банах фәзасында һиперболик тип диференциал тәнликләр учун Коши мәсәләсүнин һәлли, № 4, сән. 3.

Жагубов С. Џ. Абстракт фәзаларда квази-хәтти диференциал тәнликләр нагында, № 8, сән. 8.

Мәммәдов Ж. Ч., Соболевски П. Е. Е. Хиллин бир теореми нагында, № 7, сән. 10.

Мусајев М. А. Мүәյҗән бир һиссәси кечиричилүү малик олан аракәсмә ила айрылмыш лајларда мајенин оха симметрик ахыны, № 7, сән. 10.

Рамм А. Г. Банах фәзасында параметрдән асылы тәнликләр нагында бәзүү теоремләр вә оиларын тәтбиги, № 1, сән. 3.

Сәфәров Һ. Һ., Һүсейнова А. И. Фырланма чиесини икникомпонентли маје ила јуулмасында сәрһәд дајы, № 12, сән. 16.

Соболевски П. Ј. Һильберт фәзасында t дәјишишенин иззәрән өлчүлөн вә мус-бет мүәйҗән, өз-өзүнә гошма $A(t)$ операторлу тәнлик нагында, № 8, сән. 13.

Султанова З. Т. Ҳәтти тәнликләрдә чырлашмá һөтгөләри, № 11, сән. 3.

Төјмурев Ф. Д. Ениң далғанын блокдан экс олунмасы, № 10, сән. 13.

Худавердиев К. И. Бир синиф квази-хәтти икничи тәртиб һиперболик тип тәнликләр учун ярымда гоулумуш лимит сәрһәд мәсәләсүнин һәлли нагында

гәјри-локал варлыг вә јеканәлик теоремләри, № 5, сән. 3.

Һүсейнов Ә. И., Әбдулләхимов М. А. Бәзүү гејри-хәтти сүрүшмә ила гошма сәрһәд мәсәләләри нагында, № 8, сән. 32.

Чәбрайлов А. Ч. Диференциалланган функцияларын бәзүү хассәләри, № 4, сән. 11.

Чәбиев Т. Т. Мәхсүсийети олан Дирик тәнилийүүчүн тәрс мәсәлә, № 11, сән. 8.

Чәфәрова Н. М. Там өзбүр ифадәләр єнилийинин машина ислатынын бир

үсүл нагында, № 8, сән. 3.

Чәфәров Ә. С., Һәсәнов Һ. М. Бәзүү интеграл ифадәләрин интерполјасија чохадилләрини көмәжи ила дајынлашмасы тәртиби нагында, № 10, сән. 3.

Чәфәров Ә. С., Лабскер Л. Г. Бир синиф интеграл операторларла абстракт функцияларын мүнтәзәм дајынлашмасынын асимптотик шәкли, № 12, сән. 9.

Техники физика

Чалдан К. М. Дүзбучаглы ен көсикли нагилдә магнит саһә көркинијинин вә чөрөјән сыйхынын несабланмасы, № 2, сән. 14.

Истилеккечирмә

Бәширов М. Џ. Бәзүү икигат вә үчгат маје гарышыларынын истилеккечирмә эмсалынын концентрасија вә температурдан асылы олар тәдгиги, № 2, сән. 20.

Физика

Абдуллаев Һ. Б., Нәсиров Җ. Н., Османов Т. К. Sn Te бирләшмәсүннега галајын Sn_2Ge вә Pb илә эвәз едилмәсүннеге онун электрик вә истилек хассәләрине тә-сири, № 2, сән. 11.

Абдуллаев Һ. Б., Нәсиров Җ. Н., Османов Т. К. Sn Te—Sn (S.Se) системләриндә бәзүү бәрк мәнгулларын электро-физики хассәләрине тәдгиги, № 3, сән. 17.

Абдуллаев Һ. Б., Нәсиров Җ. Н., Османов Т. К. Sn Te—Cu(As, Sb) BI бәрк мәнгулларынын термоэлектрик хассәләрине тәдгиги, № 4, сән. 26.

Абдуллаев Һ. Б., Нәсиров Җ. Н., Фејзиев Җ. С. Sn Te бирләшмәсүннега галајы лантана эвәзетмәнин бирләшмәнин термоэлектрик хассәләрине тә-сирини тәдгиги, № 5, сән. 12.

Абдуллаев Һ. Б., Нәсиров Җ. Н., Фејзиев Җ. С. Ge Te бирләшмәсүннега галајы лантана эвәзетмәнин бирләшмәнин термоэлектрик хассәләрине тә-сирини тәдгиги, № 6, сән. 13.

Араслы Ҕ. Һ., Элијев М. И. Лекире олунмуш керманиум вә силициумда фононларын сәпилмасы, № 8, сән. 26.

Бағыров М. Э., Абасов С. А., Һүсейнов Т. И. Електрик көнәлмәсү заманы полистирол плёнкасынын механики мөһкәмлијине дәјишилмәсүннеге тәдгиги, № 11, сән. 16.

Валиев Л. М., Рустемов Ә. Һ., Қаримов И. К. Антиферромагнит ярымкөричичи $MnTe$ -үн электрик хассәләри, № 11, сән. 13.

Иманов Л. И., Зүлфүгарзәдә К. Ә., Бафадаров З. Э. Хлорбензол нормал бүтил спирти системинде диеlektrik релаксацијасы, № 3, сән. 20.

Мухтаров Һ. А. I, 1, 2-үчтөретан молекулунун дөнмә изомерләре арасында енержи фәрги, № 9, сән. 18.

Енергетика

Һүсейнов Ә. Һ. Енержисистемләрин эквивалентләшмәсүннеге осаслары нагында, № 5, сән. 8.

Чуварлы Ҕ. М., Дмитриев Ҕ. В. Електрик верилмис хәтти тәнилийиниң һәллиниң характеристик методун тәтбиги, № 3, сән. 23.

Чуварлы Ҕ. М., Муратов А. М. Нәһајәти ачыг олан хәттин индуктивликдән соира синусондол көркинијә гоулумасы, № 7, сән. 18.

Чуварлы Ҕ. М., Дмитриев Ҕ. В. Көркинији 110 кв олан шәбәкәләрдә бирфазлы гыса гапания чөрөјән мәнгүлдәшдүрүлмасы мәсәләси, № 9, сән. 15.

Кибернетика

Ибраһимова Н. К. Резонанслы системин дајынглылығы нагында, № 9, сән. 12.

Електрофизика

Мухтаров Һ. А., Мухтаров Е. Һ. I, 2-хлорфторетанын квадрупол сабитләри, № 10, сән. 17.

Давжанов Һ., Шантахински Ҕ. Һ., Тагиров В. И., Элијева Ҕ. С., Гулијев Ә. А. Толлиумла ашгарланмыш теллурин һөлл эмсалынын инверсијасы нагында, № 6, сән. 15.

Нэээри физика

Сеидов Ж. М., Эмиров М. Б. Антиферромагнетларин нэээрийжснэ дайр, № 2, сэх. 3.

Индродинамика

Чэлилов Г. Н. Лајын гејри-бирчинслийнин, нефт вэ сујун өзүлүүклэриндэки фэрги нэээрэ алдыгда гууларын сушамасынын ганунаујгуулуу һагтында, № 6, сэх. 8.

Термодинамика

Сатуржанс А. Б., Рачински М. З. Газ-контенсат јатагларынын лај супарынын ширинлэшмэснин сэбэблэри мэсэлэснэ дайр, № 2, сэх. 33.

Кимя

Бүнжададэ А. Э., Данилов Н. А., Парамонков Ж. Ж., Рапорт В. О. Активлашмэ температурунун Cv-Al-Mg-Si катализаторунун активлийнэ вэ полимерин хассэнэ тэсирин тэдгиги, № 10, сэх. 20.

Гарајева Ш. В., Шыхыев И. А., Эскэрэв Й. Ф. Шахэли асетилен окси菲尔эринин синтези вэ бэ'зи чеврilmэлэри, № 11, сэх. 21.

Зејналов Б. Г., Элиев Р. М. Узви туршулар вэ тиклохексаноллар эссында мүрэккбэ етерлэрин (пластификаторларын) синтези, № 11, сэх. 26.

Эфэндиев Й. Х., Шик Е. И. Радиум е'маллашма коллекторунун эмэлэхэлэх механизминэ дайр, № 2, сэх. 25.

Мендиев С. Ч., Бабаханов Р. Э., Эймэдов Ш. Т., Исмаильова Р. Э. Алкилтиклиохексил тэрэмэли пропанолларын синтези, № 6, сэх. 18.

Садыгов Ш. Г., Эймэдов Ш. Т., Солтанова В. А., Завжалов Ж. М. Бэ'зи алкилизопропенил вэ алкилизопропилтиклиохексанларын синтези, № 9, сэх. 35.

Садыгзадэ С. И., Чэлилов Р. А. Алифатик туршуларын аллил-металлилтиклиохексан вэ металлилтиклиохексана сэрбэст радикал реаксијасы үзэх бирлэшдирilmэс, № 8, сэх. 17.

Начыјев С. Н. Силициум үзви бирлэшмэлэринин јандырылмасы колориметријасына дайр, № 12, сэх. 27.

Нусејнов Ч. Э., Эймэдов Ш. Т., Мәнэррэмов М. Н., Юсифов Ч. Э. Сулфат туршусу иштиракы илэхлоручлубумил группунун нафталин вэ онун тэрэмэлэри нүвэснэ дахил едилмэс, № 10, сэх. 24.

Нусејнов Ч. Э., Эймэдов Ш. Т., Мәнэррэмов М. Н., Хэлилова Р. Э., Юсифов Ч. Э. Бир сырьа чохнувэли вэ конденслэшмиш ароматик карбоидрокенлэрин алкиллэшдирilmэс, № 9, сэх. 39.

Нусејнов М. М., Гэнбероват А., Мендиева З. К., Ярыјева З. Г. Бензолун $AlCl_3$ иштиракы илэ трихлоретенлэ конденслэшмэс, № 8, сэх. 38.

Нусејнов М. М., Саланов М. С., Казымова Т. Г. Сиклопентадијенин cis-4-тиклиохексан-1,2-дикарбон туршусунун аннидриди илэ дијен конденслэшмэс, № 2, сэх. 28.

Шамхал Мәммэдов, Гэнјев М. Г., Сүлејманова Ш. А., Осипов О. Б. Тут илек гурдларынын јемлэндирilmэснэдээ ефиран-3-үн тэтбиги барама мөнсүлдарлыгынын артмасы амнили кими, № 10, сэх. 29.

Шантактийски Й. Б., Элизадэ З. И., Гасымов Г. А. Конверсија олунмуш тэбии газын эсас һиссэлэри кими һидрокен вэ дэм газы илэ Дашкэсэн дэмир физикин редуксијасы, № 5, сэх. 17.

Шантактийски Й. Б., Байрамов Ш. П., Асланов Й. А. Алунитдэн голэви металларын су илэ чыхарылмасы, № 12, сэх. 22.

Узви кимя

Садыгзадэ С. И., Рзајева А. С. Оксисиркэ вэ β -оксипропион туршуларын мүрэккбэ винил ефиirlэринде эвэзедичилэрии сабуилашма реаксијасынын сүртнэ тэсирин, № 6, сэх. 28.

Сеидов Н. М., Нејберг С. М., Далин М. А. Етилен-пропилен еластомерийн хлорлашдырылмасы, № 4, сэх. 34.

Сеидов Н. М., Гэдиров Р. А. Катализатор иштиракы илэ дивинилин 1,5-тиклиопентадијен димерлэшмэс, № 5, сэх. 22.

Физики кимя

Зулфугаров З. И., Новрузов Э. Э. Хромоксиды катализаторлары вэ дашынчылары кимјэви тэрикибинин оиларын электрик кечиричлийнэ вэ термо ЕИГ-нэ тэсирин тэдгиги, № 6, сэх. 23.

Элекбэрэв С. Э., Чавадов С. П., Никитин Ж. С. Азэрбајчан киллэрийн бэ'зилэринин структур-сорбија хүсүсийтлэгэри, № 4, сэх. 38.

Мендиев С. Ч., Мэммэдов З. Ф., Нэриманбэјов О. А. Аллил спиртинин эсасы ионит иштиракы илэ санетиллэшмэс, № 9, сэх. 20.

Негрејев В. Ф., Казымов А. М., Солтанова С. Э. Алюминий хэли-тасинин гэлэвийн супензијаларынын коррозијасында нефтдэ һэлл олан инхибитор, № 3, сэх. 26.

Писман И. И., Нинаалов И. И., Далин М. А., Касјанов В. В. Флюорлашдырылмасы алуминийн оксидинин туршуулуг дээрэсчинин изомерлэшдричилгэний габилийжтэнэ тэсир, № 3, сэх. 30.

Электрокимя

Ашурлу З. И., Бабајан В. Г., Бағыров М. Э., Фетэлијев Ч. А. Електрик бошалмасынын тэсир илэ пропиленийн полимерлэшмэс, № 4, сэх. 29.

Чэфэрэв Е. Э., Мусаев А. М. Гэлэвийн стилендиамин-темраасетат электролитлэрдэн кадмиумийн електро чөкдүрүлмэс, № 9, сэх. 32.

Мономерлэр кимјасы

Исмајлов Р. Й., Элијев С. М., Мэммэдэлијев Н. М., Эймэдэдэ З. Э. Изопропенилтолуул вэ стиролун блокда сополимерлэшдирilmэс, № 9, сэх. 20.

Полимерлэр кимјасы

Бүнжададэ А. Э., Булатников Е. Л., Далин М. А. Полимерийн чөкүнтуүж дүшмэсийн шарантиндэ етилений алчагмолекуллу олефинлэрдэ биркэполимерлэшмэс, № 5, сэх. 14.

Кимја технолохијасы

Нағыјев М. Ф., Ибраимов Ч. Ш. Қапилјар конденсацисынын умуми сорбија просессийнде ролу, № 7, сэх. 14.

Нефтьхарма

Куидин С. А., Гурбанов Э. Г., Горијенко Г. Л., Нағыјев Э. М. Маил лајын гравитасија-газ режиминде дөври истисмарынын тэрчруба васитэсилэ өјрэнilmэс, № 12, сэх. 3.

Кеокимя

Ағамирзэјева Е. А. Балаханы-Сабунчы-Рамана нефт јатары ГА дэстэсчинин суда һэлл олуимуш газларынын дојма тэзижиги вэ компонент тэрикиби, № 6, сэх. 35.

Элијев А. А., Бүнжададэ З. Э. Курвода-Бабазөнэй-Нефтчала антиклинал зонасы палчыг вулканлары суларынын кимјэви тэрикибинин сэчийжснэ дайр (Курданы нефти-газлы вилајет), № 1, сэх. 16.

Нуријев Э. Н., Эфэндијев Й. Х. Нефт јатагларынын лај супарында һэлл олумш үзви маддэлэрин тэрикиби нағгийнда, № 8, сэх. 29.

Солтанов Э. Ч., Нусејнов Э. Л., Набиев О. Ш., Тумикjan Л. Г. Курвода структуре сүхурларында микроелементлэрни дајланысласына дайр, № 6, сэх. 31.

Кристаллокимя

Мендиев Н. М., Мэммэдов Р. М., Мэммэдов Х. С. $Bi_2(MoO_4)_3$ кристаллаша структуре, № 7, сэх. 22.

Газыма

Гурбанов С. Й., Расизадэ Ж. М. Газылан гуулун «бору кэмэри һэлгэви фэз» системиндэ килли мөнхлүүлүн орта температурунун тэжини, № 3, сэх. 3.

Нефт вэ газ јатагларынын ишләнилмәси

Абасов М. Т., Исаев Ф. И., Орчадиев Ф. И. Газоконденсат гарышынын һөрөктине дайр, № 4, с. 14.

Гулиев А. Э. Штусерин сәмәрәли профили нәзәрийесине дайр, № 11, с. 43.

Элиев Ш. Н. Бору майллициин ишләк акентин хүсүси сәфина тәсире, № 4, с. 21.

Сатуржанс А. Б., Шабаев С. Ф. Кеотермик тәдгигатларла әлагәдар ола-

рат гүуларда конвекция мәсәләсине дайр, № 9, с. 51.

Начиев А. М. Даңышын һүндүрлүккү еластики дайрәви лајда еластики мај-

ният геир-хатты ганунала һөрәкәти, № 3, с. 8.

Кеолокија

Абдуллаев Р. Н., Исмет А. Р., Багырбайова О. Д. Учтәпә-Гызылгаја гранитоидләрине К-Ач яши, № 3, с. 42.

Аллахвердиев Р. А. Басдырымыш Шорбитда Олигосен-Миосен структуру (Мәркәзи Гобустан), № 3, с. 46.

Аллахвердиев Р. А. Мәңсүллар гатын чинкильвары фасијасы нағында (Чејранкесінде депрессијасынын шимал борту), № 11, с. 34.

Бектаси С. Э., Пәнәни К. А. Қичик Гафгазын шимал-шәрг јамачынын ти-

тано-магнетитли гумдашыларынын кеокимјәви хүсүсијәтләри, № 11, с. 29.

Вазирова А. Д., Орчадиев Д. С. Асылы нефт вэ газ јатагларынын эмәл-

кәлмә шәрәнти нағында, № 10, с. 38.

Элиев М. М., Элиев Р. Э., Филина Н. И. Бејүк Гафгазын чәнуб-шәрг ииссәсине Сеноман вэ Маастрихт спор тозчуглары вэ полеонглим шәрәнти, № 2, с. 39.

Элиев М. М., Элиев О. Б., Элиулла. Х. Тутгунчайын јухары ахынындакы Тәбашир чекүнтулорини стратиграфиясына дайр, № 12, с. 37.

Әскәров Ф. И. Газах синклиниорине Уст Тәбашир вэ Палеоцен вулканик сүхурларынын сеолитләрина дайр, № 12, с. 48.

Мәммәдов Т. М. Шимали Гарабағда Сантоң јашлы эсаси еффузивләрә әлагәдар олан Исландия шпаты јатагларынын калситдашыјан јува вэ бошлугларынын типләри, № 10, с. 43.

Меделишиев П. А., Бәширов О. М. Азәрбајчанда Абшерон чекүнтуларине чиңәк галыгларынын тапылмасына дайр, № 1, с. 29.

Насибов Т. Н. Қәлбәчәр мулдасы илә Севан-Әкәр зонасынын башга структурларынын бирләшмә золағынын чиңәк филизләшмәсендә әһәмијәти нағында, № 10, с. 50.

Симхажев В. З. Шимали Дағыстанын Ашағы Тәбашир чекүнтулорини нефтлилијине һидрокеоложи шәрәнти, № 2, с. 44.

Сүлејманов С. М., Манулов Э. И. Чәнуби-шәрги Дашикәсэн јатағы кобалт филизине типләри вэ тәркibi, № 8, с. 41.

Тер-Карапетјанс Ж. Н. Абшерон јарымадасынын нејтрал гаты нағында, № 2, с. 48.

Начиев Р. А. Бир даңа гәдим Бакы амфитеатрынын сүрүшкәнләри нағында, № 5, с. 49.

Мүһәндиси кеолокија

Исмаилов Т. Э. Абшерон јарымадасындакы сүрүшмәләри тәснифатына дайр, № 4, с. 56.

Фајдалы газынтылар

Сейидов А. И., Элиев И. Ч., Хеирров М. Б. Азәрбајчаның қаолин јатагларында алунити олмасы нағында, № 4, с. 46.

Индрокеолокија

Сүлејманов Д. М., Листенгартеи В. А. Абшерон јарымадасында атмосфер чекүнтулорини кимҗәви тәркibi нағында, № 12, с. 42.

Начиев Р. А. Бакы амфитеатры индрорежим рајонунда аномал һадисе, № 12, с. 45.

Минералокија

Зулфугарлы Н. Ч., Әфәнидиев И. Х. Локинова Л. А. Мисарсен јатағынын јени минераллары нағында, № 9, с. 29.

Кристаллографија

Абдуллаев Ы. Г., Мәммәдов Х. С. Натриум пентaborатын фентенографик тәдгиги, № 1, с. 21.

Нефт қеолокијасы

Дадашов А. М. Готурдағ саһесини нефт-газлылығына дайр, № 5, с. 26.

Бајрамов Е. М. Нефт илә дојмуш лај сүхурларынын истилеккечирмә эмсалына յүкәж тәзілгү вэ температурин тәсире, № 5, с. 45.

Элиев Э. Ч. Дарвин банкасы-Күркән дәнизи: антиклинал зонасынын Мәңсүлдар гатынын өртән чекүнтуләрдә нефт вэ газ јатагларынын ахтарышлары мәсәләсендә дайр, № 4, с. 51.

Элиев Э. Ч., Баженов Ј. П. Һачынбай, Күр вэ Иори ҹајларарасы во Шәрги Күрчүстан гоншу зоналарынын тектоник әлагәләри мәсәләсендә дайр, № 8, с. 50.

Элиев Б. Г. Ҳәзәрјаны-Губа вилајеттине Тәләби-Гызылбурун тектоник зонасынын антиклинал структурларынын хүсүсијәтләри, № 8, с. 58.

Исмайлов Г. А., Хәлилов Н. И., Аббасов И. Э. Бакы Тагым әдәлларынын шимал һиссәсине тектоникасына дайр, № 7, с. 39.

Мәммәдов Ш. Н., Белов И. С. Гравитасија режимиnde јатагын душмә булагынын нефтвәрмә тәсире, № 11, с. 39.

Сәркисов А. А. Карбонатлы сүхур сөтнинде нефтиң јујулмасына температурин тәсире, № 6, с. 42.

Султанов Б. И. Конденсат сularынын мұхтәлиф фазалары вэ оиларын газ-конденсат јатагларынын сәтијаты һесабатында әһәмијәтті, № 8, с. 55.

Стратиграфија

Элизадә Г. Э., Гасымов К. М., Ресулов һ. Л. Азәрбајчаны Уст Плиосен дәврүнүн битки тәркibi нағында хәбәр, № 12, с. 30.

Элиев Р. Э. Чәнуби-шәрги Гафгазын Уст Тәбашир чекүнтулорини биостратиграфик бөлкүсү, № 9, с. 47.

Элиев Х. Ш., Порошини Л. А. Атачай дәрәсендә Айт Тәбашир чекүнтулорини стратиграфиясына дайр (Тәнки-Бешбармаг антиклинориси), № 3, с. 37.

Элиулла Х., Элиев О. Б. Тәртәр ҹајынын јухары ахынында дар вэ Азғы Палеосен чекүнтулорини иикишафына дайр (Кичик Гафгаз), № 11, с. 46.

Насиров Э. Ж. Азәрбајчаның һадруд вэ Җәбрајыл рајонларында Апт чекүнтулорини мөвчүд олмасы нағында (Кичик Гафгазын чәнуб-шәрг һиссәсі), № 7, с. 36.

Хәләфова Р. Э. Дағыстанын Сенон чекүнтулоридән иносерамлары бәзине иөвләри, № 2, с. 52.

Кеофизика

Гәнбәров Ј. һ., Қаримов Ј. М., Ахундов С. В. Күр чекәклијиндә јер габығы дәрин гатларынын гурулушунун өјрәнүлмәсендә экс олунан дағаларынын истифадә едилемәси нағында, № 1, с. 23.

Гулиев Ф. Т. 5 февраль 1964-чү ил Дашикәсэн зәлзәләси, № 1, с. 27.

Рәһимов Ш. С., Гулиев Ф. Т., Исламов К. Ш. 18 февраль 1963-чү ил Ағдам зәлзәләси, № 3, с. 34.

Рәһимов Ш. С., Гулиев Ф. Т., Исламов К. Ш. 10 мај 1963-чү ил Худат зәлзәләси, № 6, с. 40.

Петролокија

Мәммәдов М. М. Дәлидағ интрузиви мәркәзи һиссәсини филиз саһасини структурона дайр (Султанејдәр-Дәлидағ јарымда зонасы), № 1, с. 33.

Петрографија

Котина З. А. Гыздырылма зонасы керамик күтләни, минераложи тәркibi һиссәләриниң дәйшишмәси, № 5, с. 30.

Сейидов А. И., Иманов Э. М. Экорә дәстәсисини минераложи-петрографик горизонтлары нағында, № 7, с. 30.

Начиев Т. М. Гәдим Ҳәзәр террасында јени дидактика фаунасы (Кичик Һәрәми, Ширван), № 5, с. 35.

Литолокија

Элијев А. Н., Иср'аф илб'юв И. А., Листенгартен В. А., Шан-суваров А. С. Абшерон јарымадасынын шәргинин тәшкүл едән сүхурларын үст гатынын кеоложи-литоложи гурулушу нағтында, № 7, сән. 44.

Элијев Э. Н., Кәләнтәров А. И., Абдуллаев А. А. Коллектор сүхурларын литоложи тәркибинин фаз кечирчилигин тә'сири, № 1, сән. 36.

Мөһдијев Ш. Ф., Сүлејманов Д. М., Мкртчян Е. А. Минкәчевир су нөвзәсинин мусасири диг чөкүнтуләринде үзви гальглар, № 12, сән. 33.

Султанов Э. Ч., Султанов Ч. Э. Абшерон јашлы кил чөкүнтуләринин физики-механик хассаслырнин литоложи тәркибән асылылыры (Чәфәрабад раionу), № 5, сән. 40.

Сүлејманов Ч. М. Минкәчевир су нөвзәси диг чөкүнтуләриндә кил минералларынын јаýлмасы вә кенезисинин өјрәнилмәси нағтында, № 4, сән. 43.

Нефт һасилаты

Абасов М. Т., Кондрушкин Ю. М. вә Б. Гуулар шәбәкәсін сыйхынын жатағын нефтиң һиссәсінин су илә нәнајәт әнате олумасына тә'сири, № 8, сән. 46.

Нефт истисмары

Гәдимова К. С., Мәммәдов Н. Ж. Дәрин вә даңа дәрин дәринилек насос гүйуларында јералты аваданлыгларда сүртүмә гүвәләринин тәдгиги, № 3, сән. 54.

Лајлар физикасы

Сәркисов А. А., Бабалjan Г. А., Тагиров Н. Ч. Минерал сәтһиндән нефтин јујулмасына температурин тә'сири, № 3, сән. 50.

Јералты һидродинамика

Шелкачев В. Н., Ыачыјев Ш. Э., Влужин В. І. Гују ишә салышар-кен гејри-стационар сәнәни характеристизе едән бир групп функцијалар нағтында, № 7, сән. 26.

Мис јатагларынын ишләнмәси

Мәммәдов Ш. Н., Нуруллаев Т. Партајыш мүһитинин эсас дифференциал тәнилији вә онун һәллиниң эмәлә кәлән нәтиҗә, № 10, сән. 33.

Кеотермија

Горин В. А., Элијев С. А., Элијев А. А. Кеотермик фәаллыг Чәнуби Хәзәр чөкәклишин гәрб кәнарынын дәрин гатларында карбонидрокенләрин шағули миграцијасынын көстәричисидир, № 8, сән. 63.

Һидрокимја

Ағаларова Л. И. Балаханы-Сабунчы-Рамана нефт јатагында Сабунчы лајдәстаси сularынын һидрокимјеви дәјишилмәсинә даир, № 9, сән. 43.

Мөһдијев Ш. Ф., Рачински М. З., Ахундов А. Р. Абшерон нефт-газ әjalәtinin Мәңсүлдар гатында һидрокимјеви инверсијанын сәбәбләrinde даир, № 9, сән. 57.

Кеокимја

Мартиросјан Р. А., Пәнахи К. А. Даշкәсән титанлы-магнитлы туфлу сүхурларынын бәзи қеокимјеви хүсусијәтләри, № 9, сән. 73.

Чоғрафија

Рејфман Р. Л. Дүз, јаýлмыш вә чәм радиасијаларын иисбәти нағтында, № 6, сән. 45.

Палеонтологија

Қабакова Р. И. Азәрбајҹанын Ағчагыл тәбәгәләринде Micromelanidae фә силәсисинин яни чинси нағтында, № 9, сән. 66.

Мәммәдов Р. Н. Қичик Гафгаз гастроподларынын шағули јаýлмасы нағтында, № 9, сән. 69.

Мевлазадә Е. З. Құрва Иори чајларынын сағасинде Молладағдан Сармат чекүнтуләринин ширин су фаунасы (Гәрби Азәрбајҹан), № 1, сән. 39.

Поросина А. А. Шимали-шәрги Азәрбајҹанын Алт Тәбашир чекүнтуләринде Epis үзгешелеше чинси нағтында, № 9, сән. 62.

Чәфәрова Ч. Д. Азәрбајҹанын Мајкоп серијасы сүхурларында камбалалар, № 5, сән. 73.

Биокимја

Ахундов Э. К. Қалиум күбрәләринин јашыл чај յарпағы кејијүәти тә'сири, № 4, сән. 43.

Гулијев А. Э. Йығым мүддәти вә температурдан асылы олараг сојудучу камера саҳланылмыш алма сортларында шәкәрләрин вә гуру маддәсии мигдарынын дәјишилмәси, № 10, сән. 57.

Гурвич Н. Л., Непаридзе Н. И. Кориандр биткисинин тохумларынын нефломеријасы ѡолу илә аз чәкиде ефир յағынын мигдарынын тә'јин едилмәси, № 7, сән. 54.

Рзагулијева Д. М., Һәсәнов Э. С. Тәрүби атеросклероз заманы үзв вә тохумаларда аскорбин туршусу мигдарынын дәјишилмәси нағтында, № 3, сән. 90.

Хәлилов Г. Б., Юсифов Н. М. Бөјүән чамышларын ган зәрдабында сәрбәст амин туршуларынын дәјишилмәси, № 9, сән. 81.

Биофизика

Исмайлов С. Х., Козлов Ю. П., Һәсәнов Р. Э. Битки шишкеничеләрине гарышы мономерләр фәаллызынын кинетики характеристикасы барадә, № 7, сән. 74.

Агрокимја

Агајев Н. А. Загаталанын эсас торпаг типләринде мисин мутәхәррик формалы мигдары, № 6, сән. 58.

Ахундов Ф. И. Чәлтикалты батаглашмыш торпагда фосфорун чеврилмәси, № 4, сән. 69.

Ахундов Э. К. Минерал гидаланма шәрәнтидәй асылы олараг чај յарпағында һүчәрәләрни мигдары, № 5, сән. 53.

Гозденко Т. М. Гараға дүзинлији шәрәнтиндә нефт бој маддәсисин (НБМ) һомидор биткисинин мәңсүлүна вә кејијүәти тә'сириниң өјрәнилмәси, № 11, сән. 55.

Әләкбаров Р. Э., Әфәндиеva Н. Г. Аз мигдар нафтен туршуларынын фотометрик тә'јини, № 1, сән. 60.

Мусабәјов Э. С., Вердиев Г. З. Мухтәлиф фосфатларын памбыг биткиси тәрәфиндән мәнимсәнилмәси, № 10, сән. 53.

Расулов Ч. Картоф биткисинин никшишаф фазасындан асылы олараг гида маддәләрниң тәләби, № 2, сән. 62.

Тагијев С. Б. Нефт бој маддәсисин (НБМ). Бајаншире узум сортунун никшишафына вә мәңсүлүна тә'сириниң өјрәнилмәси, № 7, сән. 49.

Акарологија

Гулијев Г. Э. Ctenobelba вә Urubambates чинсләринин нұмајәндәләри, № 5, сән. 57.

Гулијев Г. Э. Орибатидләрни Азәрбајҹанда тапылмыш јени нұмајәндәләри, № 3, сән. 75.

Гулијев Г. Э. Oppidae Gorandejean 1954 аиласидән олар јени нөвләр, № 12, сән. 55.

Тибб

Абдуллаев М. Ч. Қәскин шуа хәстәлији заманы сүмүк сыйыгларынын сүмүк тохумасында фосфор вә калсиум радиоактив изотопларынын топланмасынын интенсивлији, № 11, сән. 51.

Асланзадә С. А. Үрек тач дамарларынын чатмамазлығы заманы мәркәзи синир системиниң функционал возијәти № 8, сән. 22.

Әфәндиеев А. М., Әлијев Н. М., Һәсәнов Э. С. Фосфоририодоксалаид јени реаксија вә онун спектрофотометрија илә өјрәнилмәси, № 6, сән. 49.

Майлов - Гасымов А. Д. Еркән һамилолик - токсикозлары заманы С витамининиң симпатик-адренал системиниң функцијасына тә'сири, № 1, сән. 72.

Удитсов Ю. И. Шәһәр вә кәнд јерләрнән мұхтәлиф ѡолу ишәндерүүлүк үшүн групларында көзүй вә көрмә функцијасынын вәзијәти нағтында, № 3, сән. 84.

Физиотерапия

Филиппов J. N., Иусейнов Д. М., Эфандиева Ф. М., Будагян А. Х., Журавлов А. И. Муалычэ палчынын тәркибиндәкі нафтен туршуларынын дәрі васигасилә көмәсі, № 6, сәх. 53.

Физиология

Гараев А. И., Ханукаев Е. М. Пәрпәтөүүнү (Portulaca Oleracea L.) бәзін препараттарының организмнин сулукарбонларға гарыш толерантлығынын тә'сири, № 2, сәх. 65.

Сейидзадә Э. М. Инкишаф етмәкдә олан тојуг ембрionунда глюкагонун әмәл кәлмәсі нағтында, № 10, сәх. 62.

Нејван физиологиясы

Гафулов М. С. Еркәк сичанларда фолликулини бөйрәкүстү вәзилярә, тәнасүл вәзилярине вә тәнасүл үзвүнә тә'сири, № 6, сәх. 69.

Нелминтолокия

Маммәдов А. М. Азәрбајчаның гәрб зонасында гүзуларын вә јашлы гојуларының нелминтаунасы, № 12, сәх. 59.

Бајтарлыг

Гәнијев М. Г., Гафаров М. Ш. Көвшәјән нејванларын мә’дә өнлүкләриндә карбамидин һәзми, № 4, сәх. 61.

Әлијев С. Ж. Азәрбајчанда дикроселјозун епизоотолокијасы, № 11, сәх. 58.

Әһмәдов Э. М., Муратов М. М. Поливитамин-антибиотик препарат олан витабомитсинин бузувларын паратив хәсталиги вахты ганын зәрдабындакы зулала вә зулал функциясына тә'сири, № 1, сәх. 76.

Битки физиологиясы

Ахундова Е. М.. Тут ярпагларында онларын јашларындан асылы олараг рибонуклеин туршуларынын вә азотун мигдары, № 8, сәх. 68.

Гул ијев Ш. М.; Ысекинова К., Маммәдов А. Зод тәркибли полимикрокубраларни биткиләрде шәкәрләрни динамикасына тә'сири, № 12, сәх. 67.

Сулејманов В. Н., Назарова Ш. И. Бој стимулаторларынын битки организмниндә нуклеин вә азот мубадиласине тә'сири, № 5, сәх. 69.

Тағызадә А. Х., Әлијева З. Н. Гида режиминин памбығын ярлаг вә репродуктив органларында витаминләрни синтезинде әһәмијјети, № 1, сәх. 63.

Битки систематикасы

Эскерова Р. Г. Cargoceras чинси Гафгазда, № 5, сәх. 62.

Әфандиев М. Р. Азәрбајчанда бә’зи биткиләрни јајылмасы нағтында јени мә’лumat, № 3, сәх. 69.

Хәлилов Е. Х. Талышда јени чәмәнјончасы иөвү (T. Issajeviiichai), № 11, сәх. 66.

Битки ситолокијасы

Агајева Ж. М., Фјодорова Ж. Ж. Диплоид вә полиплоид тутда икинүвәли һүчәрәләр вә амитоз нағтында, № 6, сәх. 73.

Агајев Ж. М., Рәһманова Р. Э. Ионлашдырычы шуаланма вә електрик импулслары илә тә'сир едилмис памбығ биткисіндә амитоз вә икинүвәли һүчәрәләрни тәдгигине даир, № 11, сәх. 61.

Мејвәләрин технолокијасы

Мендијева Т. Д. Бә’зи алма сортларында вә онлардан алынан ширәләрдә жетишмә дөврүндән асылы олараг кедән биокимјеви дәјишикликләр, № 7, сәх. 58.

Биткичилек

Бенбұдов Н. Э. Жемчилик мүнум елм саңасидир, № 3, сәх. 64.

Мешәчилик

Мустафаев Х. М. Торпағын јуулма дәрәчесинин вә мешәниң долулуғунун табии артма тә'сири, № 1, сәх. 52.

Сәфәров И. С. Сары адасында мешә биткилијинин јаранмасына даир, № 1, сәх. 68.

Кенетика

Абдуллаев И. К., Тағыјев С. Б. Кибереллинин кишишүзүм сортунун бој атмасына, инкишафына вә мәңсулуна тә'сиринин өјрәнилмәсі, № 1, сәх. 48.

Гулиев Ш. Б. Азәрбајчаның бир неңе јабаны вә мәдәни бүгде иевләри арасында һибридләшмәнин икинлик иәтичеләри, № 7, сәх. 62.

Мүфтизадә С. Г. Азәрбајчанда јени перспективли арпа сортлары, № 10, сәх. 66.

Оручелиев Н. Г. Абаш қалымни биолокијасына даир, № 10, сәх. 71.

Чәфәров Н. А. Чәкил ағачында тәбии дәјишикли-мутасија, № 9, сәх. 85.

Селексија

Абдуллаев И. К., Мусаев А. И. Гијметли десерт иикиләли чијәләк сорту «Бакы», № 5, сәх. 65.

Иусейнов С. Б. Қәдәбәј шәрәнтинде чуғундур көкмәјвәсинин бәјумә динамикасы, № 1, сәх. 56.

Торлагшұнаслығ

Абдуев М. Р., Нағыев П. Ж. Мил дүзүнүн Орчонкүдзе адина суварма системи шәрәнтинде торлагларын дуз режиминин дәјишиләсі, № 7, сәх. 66.

Әлијев Н. Э., Шәрифова Р. Н. Баш Гафгаз силсилеминин шәрг гуртаратачында литокен торлаглар, № 12, сәх. 64.

Кәрајзадә А. П. Битки күтләсінин торлаг-иглим шәрәнтиндән асылы олараг артма асылылығына даир, № 2, сәх. 57.

Маммәдов Р. Н. Азәрбајчан торлагларының магнезиумлу шоракәтлилији нағтында, № 3, сәх. 59.

Маммәдов Р. Н. Азәрбајчан торлагларының структурлуғунун вә сыйхының әкінчиликдә әһәмијјети, № 1, сәх. 43.

Торлаг биолокијасы

Бабабаев Л. А. Ләнкәран субтропик зонасында әсас торлаг типләри фаунасының характеристикасы, № 6, сәх. 63.

Нидробиологија

Бәдәлов Ф. Н. Хәзәр дәннинде температурин кәсқин дәјишиң гатынын зоопланктонун шағулы јајылмасына тә'сири, № 9, сәх. 78.

Фәрәчов Г. Р. Орта вә Чәнуби Хәзәрни гәрб саңилинин јени остракод иевләри, № 7, сәх. 70.

Микробиологија

Мусаев М. Э., Абушев Ф. А., Йудитскаја С. Х. Виноградов, Иран-Кичик Асија гум сичанлары вә аді тарла сичанының гарајара төрәдичисинә һассаслығы, № 4, сәх. 66.

Худавердиев Т. П. Нахчыван МССР шәрәнтинде Leptoconops (holoconops) mediterraneus Kleffer гансоручу ием милчәйинин чохалма јени нағтында, № 3, сәх. 82.

Радиобиологија

Иусейнов С. Н. Ионлашдырычы шуаланманың памбығда фотосинтез вә тәнәф-фүс процессларында тә'сири, № 3, сәх. 71.

Палеоботаника

Маммәдов А. Б. Theodosia Nalirkun, 1925 чинсинин тә'јин едилмәсінә даир материаллар, № 8, сәх. 72.

Тарих

Асланов Г. М., Атакишиева М. И., Умаев А. А. Абшеронда кәндир истеңсалы (XIX—XX əсрин əввəллəр), № 12, сəh. 71.
Вәлиев Т. Т. XX əсрин əввəллəрində Нахчыван гəзасы ипəк сənəjesini vəziyəti və isteñsalıñ xarakterinə daır, № 2, сəh. 71.
Әlijeva L. M. N. A. Tağıyevini toxuchu fabriki fəhlələriniñ saýs (1900—1916-chı illər), № 4, сəh. 78.
Әlijev F. M. XVIII əsrin 20-chı illərində Absheronda neft isteñsalynyň vəziyətinə daır, № 1, сəh. 79.

Мəmmədov C. A. Garapachalylar chyxshyň naggynda, № 3, сəh. 95.

Садыхзадə R. M. «Nobmazut» neft inñisary chəmiyətinde inkiilis kapitalynnyň iñtiarakы məsələsinə daır, № 5, сəh. 77.

Сəndzadə Ə. Ə. Bakıxanov naggynda bə'zi jeni mə'lumatlar, № 4, сəh. 90.

Tarverdiyev R. B. Azərbaycan SSR Ismaýllı raionu ərazisindəki Chavanshıp galası naggynda, № 4, сəh. 82.

Tahirzadə N. A. Peterburg universitetiniñ ilk azərbaychanlı mə'zunu A. Jadikarov (1823—1892), № 11, сəh. 69.

Нефт iшинин тарихи

Detin G. D., Malinski A. A. Kechmiş əsrin neft ustaları naggynda, № 3, сəh. 100.

Detin G. D., Malinski A. A. Duniyada Azərbaycanda gazylmış birinci neft təqüsusu nagtynda, № 5, сəh. 84.

Arxeologiya

Ismaýlov G. S. Gədim Azərbaycanda maldarlygыni inkiishaфына daır, № 11, сəh. 75.

Rəşid Kəjüshov. Jəni tipli dəsh bütłər, № 6, сəh. 77.

Etnografiya

Kərimov E. Ə. Azərbaycanyı etnografik kartografiyası tarihindən, № 8, сəh. 81.

Rəçəbəv G. Ə. «Ziyanlılgı» garşılyıglı jardım forması naggynda, № 9, сəh. 90.

Çavadov G. Ç. Çut və gışt terminləri naggynda, № 6, сəh. 80.

Ədəbiyyat tarihi

Guliyev B. Zəñir Farijabının vəfat tarihinə daır, № 8, сəh. 77.

Fəlsəfə

Rzaiev A. G. M. Kazembəj və Amerika fəlsəfə chəmiyəti, № 2, сəh. 69.

Şərgşunastry

Gurbanəli Məmmədzadə. Əmir İərəvinniñ Mañmud Şəbüstərijə kəndəriji fəlsəfəsi suallarınya aid məktubu və «Külşəniraz»da eñ eksini tapan həmin suallarıny saýs naggynda, № 7, сəh. 83.

Sima Kərimzadə. Namə'lum həkkak və xəttat Sejid Taħa və Nəziri, № 4, сəh. 86.

İaçyjev M. I. Xagani Shırvani haрадa doqulmuşdur, № 5, сəh. 81.

Ədəbiyyatşunastry

Səndzadə Ə. Ə. M. J. Lermontovun jazdygы «Aşyg Gərib» dastanınyň mətني naggynda, № 7, сəh. 88.

Inçəsənat

Gaziyev A. J. Bədii ələzəmalaryň müzəñibi naggynda, № 7, сəh. 78.

Arxitektura

Duxovny V. Motellərin klassifikasiyası və jərləşdirilməsiniñ ba'zi məsələləri, № 10, сəh. 76.

Məmmədzadə K. M. Şamaxı raionunun Safiyan kəndindəki orta dini abidə naggynda, № 12, сəh. 77.

УКАЗАТЕЛЬ

СТАТЕЙ, ОПУБЛИКОВАННЫХ В ЖУРНАЛЕ «ДОКЛАДЫ АКАДЕМИИ НАУК АЗЕРБАЙДЖАНСКОЙ ССР» В 1966 ГОДУ

Математика

Alihanova R. I. Reşenije kraevoy zadaciñ dla kvazilinejnogo ellipiticheskogo uравнения vtorogo porjadka s razryvnymi koefitsientami metodom Galerkiна, № 9, str. 6.

Ameizade R. Yu. Ustoychivost' eksentricheskogo tonkogo kol'zya, izgotovленного iz nelinejno-uprugogo materiala, № 6, str. 3.

Atakişieva R. X. Ustoychivost' metoda Bubnova—Galerkiña dla uравнения s viołne nепрерывным, operatorm v banakhovom prostoranstve, № 1, str. 7.

Bayramov R. A. Dve teoretičko-gruppovye teoremy, № 4, str. 8.

Berdышev B. I. K voprosu o chebyševskix množestvax, № 9, str. 3.

Gasymov M. G. O razloženii po rešenijam zadaci teorii rasseyania dla nesamosopriyazhennogo uравнения Šredingera, № 10, str. 9.

Gasymov M. G. i Djabiiev T. T. Rešenije obraztnej zadaci po dvum spektram dla uравнения Diraka na konichnom otrezke, № 7, str. 3.

Guseynov A. I., Abduragimov M. A. O nekotoryx nelinejnyx zadachax sопryjazhennija so smesheniem, № 8, str. 32.

Djabiev T. T. Obraztnej zadaca uравnienia Diraka s osobennostyu, № 11, str. 8.

Djabraилov A. D. Nekotorye svojstva differenciruyemyx funkций, № 4, str. 11.

Djafarov A. S. i Gasanov G. M. O poriadke priблиženija nekotoryx integrallnyx vyraženij posredstvom interpolacionnyx polinomov, № 10, str. 3.

Djafarov A. S., Labsker L. G. Asimptoticheskij vid ravnomernej approximacii abstraktnix funkций odinim semejstvom linejnyx integrallnyx operatorov, № 12, str. 9.

Djafarov H. M. Ob oñem sposebse dokazatel'stva toždestvennosti celyx algabraičeskix vyraženij na machine, № 8, str. 3.

İskenderzadə Z. A. Monotonija ustoychivost' dvizhenija v sluchae neitralnosti linejnogo priблиženija, № 3, str. 13.

Mamedov Ya. D., Sobolevskij P. E. Ob oñoj teoreme E. Hille, № 7, str. 7.

Musaev M. A. Osesimmetrichnoe techenie v plastakh, razdеляющихся častično proniçaemyimi peremyckami, № 7, str. 10.

Ramm A. G. Nekotorye teoremy ob uравnienijax s parametrom v banakhovom prostoranstve i ih priложenii, № 1, str. 3.

Safarov G. G., Guseynova A. I. Pograničnyj slой na tele vraschenija pri obtekaniyu dvojkomponentnoj židkostyu, № 12, str. 16.

Sobolevskij P. E. Ob uравnienijax $v(t) + A(t)v'(t) = f(t)$ v gilbertovom prostoranstve s polozitel'no opredelennym samosopriyazhennym operatorm A(t), izmerimno zavisimym ot t, № 8, str. 13.

Sultanova Z. T. Toчки vyroždenija v linejnyx sistemakh, № 11, str. 3.

Teymurov F. D. Otrazhenije poperечnoj volny na bloku, № 10, str. 13.

Hudaverdiyev K. I. Nelokal'nye teoremy sushchestvovaniia i edinstvennosti rešenija predelnoj kraevoy zadaci na polubeskonečnosti prямoy dla oñogo klasa kvazilinejnyx hiperboličeskix uравnienij vtorogo porjadka, № 5, str. 3.

Якубов С. Я. Разрешимость задачи Коши для дифференциальных уравнений высших порядков в банаховом пространстве с переменными операторами, имеющими непостоянную область определения, № 2, стр. 6.

Якубов С. Я. Исследование задачи Коши для дифференциальных уравнений гиперболического типа в банаховом пространстве, № 4, стр. 3.

Якубов С. Я. О квазилинейных дифференциальных уравнениях в абстрактных пространствах, № 8, стр. 8.

Кибернетика

Ибрагимова Н. К. Об устойчивости некоторых систем при наличии резонанса, № 9, стр. 12.

Энергетика

Гусейнов Ф. Г. Об основах эквивалентирования энергосистем, № 5, стр. 8.
Джуварлы Ч. М., Дмитриев Е. В. Применение метода характеристик к решению уравнения линии электропередач, № 3, стр. 23.

Джуварлы Ч. М., Дмитриев Е. В. К вопросу ограничения токов однофазного короткого замыкания в сети 110 кв, № 9, стр. 15.

Джуварлы Ч. М., Мурадов А. М. Включение разомкнутой на конце линии через индуктивность на синусоидальное напряжение, № 7, стр. 18.

Физика

Абдуллаев Г. Б., Насиров Я. Н., Османов Т. Г. Влияние частичного замещения олова на Si, Ge и Pb на электрические и тепловые свойства SnFe, № 2, стр. 11.

Абдуллаев Г. Б., Насиров Я. Н., Османов Т. Г. Исследование электрофизических свойств некоторых твердых растворов в системах Sn-T-Sn (Si, Se), № 3, стр. 17.

Абдуллаев Г. Б., Насиров Я. Н., Османов Т. Г. Исследование термоэлектрических свойств некоторых твердых растворов SnTe-Cu(As, Sb, Bi)Te, № 4, стр. 26.

Абдуллаев Г. Б., Насиров Я. Н., Фейзиев Я. С. Влияние частичного замещения олова лантаном на термоэлектрические свойства SnFe, № 5, стр. 12.

Абдуллаев Г. Б., Насиров Я. Н., Фейзиев Я. С. Влияние частичного замещения германия лантаном на термоэлектрические свойства GeFe, № 6, стр. 13.

Араслы Д. Г., Алиев М. И. Рассеяние фононов в легированных кремни и германий, № 8, стр. 26.

Багиров М. А., Аббасов С. А., Гусейнов Т. И. Исследование изменения механической прочности полистирольной пленки при электрическом старении, № 11, стр. 16.

Валиев Л. М., Рустамов А. Г., Керимов И. Г. Электрические свойства антиферромагнитного полупроводника MnFe, № 11, стр. 13.

Иманов Л. М., Зульфугарзаде К. Э., Бафадаров З. А. Диэлектрическая релаксация в системе хлорбензол-н-бутиловый спирт, № 3, стр. 20.

Мухтаров И. А. Разность энергии поворотных изомеров молекулы 1, 1, 2-трифторметана, № 9, стр. 18.

Техническая физика

Чальян К. М. Расчет распределения напряженности магнитного поля и плотности тока в токопроводе прямоугольного сечения, № 2, стр. 14.

Теоретическая физика

Сейдов Ю. М., Эмиров М. Е. К теории антиферромагнетизма, № 2, стр. 3.

Электрофизика

Давжанов Х., Шахтахтинский М. Г., Тагиров В. И., Алиева Б. С., Кульев А. А. Об инверсии коэффициента Холла теллура, легированного таллием, № 6, стр. 15.

Мухтаров И. А., Мухтаров Э. И. Квадрупольные постоянные молекулы 1,2-хлорфторметана, № 10, стр. 17.

Химия

Буният-заде А. А., Даилова Н. А., Парамонов Е. Я., Рапорт В. О. Влияние температуры активации Cr-Al-Mg-Si катализатора на его активность и свойство полученного полимера, № 10, стр. 20.
Гаджиев С. Н. К калориметрии горения элементоорганических соединений, № 12, стр. 45.

Гараева Ш. В., Шихнев И. А., Аскеров Г. Ф. Синтез и некоторые превращения разветвленных ацетиленовых оксиэфиров, № 11, стр. 21.

Гусейнов Д. А., Ахмедов Ш. Т., Магеррамов М. Н., Халилова Р. А., Юсифов Ч. А. Аллилирование нафталина, α -метилинафталина, тетралина, аценафтина, дифенила и флуорена аллиловым спиртом в присутствии кислых катализаторов, № 9, стр. 39.

Гусейнов Д. А., Ахмедов Ш. Т., Магеррамов М. Н., Юсифов Ч. А. Введение хлортретицибутильной группы в ядро нафталина и его производных в присутствии серной кислоты, № 10, стр. 24.

Гусейнов М. М., Камбарова Т. А., Мехтиева З. К., Яриева З. Г. Конденсация трихлорэтилена с бензолом в присутствии хлористого алюминия, № 8, стр. 38.

Гусейнов М. М., Салахов М. С., Кязимова Т. Г. Диеновая конденсация гексахлорциклогептадиена с ангидридом цис- Δ^1 циклогексен-1,2-дикарбоновой кислоты, № 2, стр. 28.

Зейналов Б. К., Алиев Р. М. Синтез сложных эфиров (пластификаторов) на основе синтетических кислот, № 11, стр. 26.

Мамедов Шамхал, Ганиев М. К., Сулайманова Ш. А., Осипов О. Б. Применение эфира-3 повышает урожай коконов тутового шелкопряда, № 10, стр. 29.

Мехтиев С. Д., Бабаханов Р. А., Ахмедов Ш. Г., Исмаилова Р. А. Синтез алкилциклогексизамещенных пропанолов, № 6, стр. 18.

Садых-заде С. И., Джалилов Р. А. Свободорадикальное присоединение алифатических кислот к аллил-метилаллилциклогексану и металлилциклогексану (синтез индивидуальных нафтеновых кислот), № 8, стр. 17.

Садыхов Ш. Г., Ахмедов Ш. Т., Солдатова В. А., Завьялов Ю. М. Синтез некоторых алкилизопропенил- и алкилизопропилицогексанов, № 9, стр. 35.

Шахтахтинский Г. Б., Ализаде З. И., Касумов К. А. Восстановление дашкесанской железной руды водородом и окисью углерода, как основными составляющими консервированного природного газа, № 5, стр. 17.

Шахтахтинский Г. Б., Байрамов Ш. П., Асланов Г. А. Извлекаемость щелочных металлов из алюнитов путем водной вытяжки, № 12, стр. 22.

Шахтахтинский Г. Б., Валиев Б. С., Асланов Г. А. Арсенатный метод йодометрического определения иттрия в присутствии скандия, № 1, стр. 12.

Эфендиев Г. Х., Шик Э. И. О механизме образования радиевого эманирующего коллектора, № 2, стр. 25.

Физическая химия

Алекперова С. А., Джавадов С. П., Никитин Ю. С. Структурно-сорбционная характеристика глин некоторых месторождений Азербайджанской ССР, № 4, стр. 38.

Зульфугаров З. Г., Новрузов А. А. Исследование влияния химического состава носителей и хромокисльных катализаторов полимеризации на их электропроводность и термоэзд, № 6, стр. 23.

Мехтиев С. Д., Мамедов З. Ф., Нариманбеков О. А. Цианэтилирование аллилового спирта над основными ионитами, № 9, стр. 25.

Негреев В. Ф., Кязимов А. М., Султанова С. А. Нефтерастворимые ингибиторы коррозии алюминиевого сплава в щелочных суспензиях, № 3, стр. 26.

Письман И. И., Ниязалиев И. И., Далин М. А., Касьянов В. В. Влияние кислотности фторированной оксида алюминия на ее изомеризующую способность, № 3, стр. 30.

Органическая химия

Садых-заде С. И., Рзаева А. С. О влиянии природы заместителей в сложных виниловых эфирах оксикусусной и β -оксипропионовой кислот на скорость омыления, № 6, стр. 28.

Сейдов Н. М., Кадыров Р. А. Каталитическая димеризация дивинила в циклооктадиен-1, 5, № 5, стр. 22.

Сейдов Н. М., Найберг Ц. М., Далин М. А. Хлорирование этилен-пропиленового эластомера, № 4, стр. 34.

Кристаллохимия

Мехтиев К. М., Гамидов Р. М., Мамедов Х. С. Кристаллическая структура $\text{Bi}_2(\text{MoO}_4)_3$, № 7, стр. 22.

Химическая технология

Нагиев М. Ф., Ибрагимов Ч. Ш. Роль капиллярной конденсации в общем процессе сорбции, № 7, стр. 14.

Кристаллография

Абдуллаев Г. К., Мамедов Х. С. Рентгенографическое исследование пен-табората натрия, № 1, стр. 21.

Химия мономеров

Исмайлова Р. Г., Алиев С. М., Мамедалиев Г. М., Ахмедзаде З. А. Сополимеризация изопропенилтолуола и стирола в блоке, № 9, стр. 20.

Химия полимеров

Буният-заде А. А., Булатникова Э. Л., Далин М. А. Сополимеризация этилена с низшими олефинами в условиях выпадения полимера в осадок, № 5, стр. 14.

Геохимия

Агамирзоева Э. А. Упругость и компонентный состав воднорастворенных газов подкирмакинской свиты Балаханы-Сабунчи-Раманинского месторождения, № 6, стр. 35.

Алиев Ад. А., Буният-заде З. А. К характеристике химического состава вод грязевых вулканов Кюровдаг-Бабазанай-Нефтечалинской антиклинальной зоны (Прикуринская нефтегазоносная область), № 1, стр. 16.

Мартиросян Р. А., Панахи К. А. Некоторые черты геохимии титанистых магнетитовых туфогенных фаций Дашкесана, № 9, стр. 73.

Нуриев А. Н. и Эфендиев Г. Х. О составе органических веществ, растворенных в пластовых водах нефтяных месторождений, № 8, стр. 29.

Султанов А. Д., Гусейнов А. Л., Наибов О. Ш., Тумикян Л. Г. К вопросу о распределении микроэлементов в породах Кюровдагской структуры, № 6, стр. 31.

Электрохимия

Ашурлы З. И., Бабаян В. Г., Багиров М. А., Фатализаде Ч. А. Полимеризация пропилена в электрическом разряде, № 4, стр. 29.

Джафаров Э. А. и Мусаев А. М. Электроосаждение кадмия из щелочных этилен-диаминтетрацетатных электролитов, № 9, стр. 32.

Гидрохимия

Агаларова Л. И. К гидрохимической характеристике сабунчинской свиты Ленинского нефтяного месторождения, № 9, стр. 43.

Мехтиев Ш. Ф., Рачинский М. З., Ахундов А. Р. К вопросу о причинах гидрохимической инверсии в продуктивной толще Ашхеронской нефтегазоносной области, № 9, стр. 57.

Разработка нефтяных и газовых месторождений

Аббасов М. Т., Гасанов Ф. Г., Оруджалиев Ф. Г. О фильтрации газо-конденсатной смеси, № 4, стр. 14.

Алиев Ш. Н. Влияние угла наклона подъемной трубы на показатели работы воздушного подъемника, № 4, стр. 21.

Гаджиев Л. М. Движение упругой жидкости в упругом круговом пласте с переменной мощностью при нелинейном законе фильтрации, № 3, стр. 8.

Кулиев А. Э. К теории рационального профиля сопла, № 11, стр. 43.

Разработка нефтяных и газовых скважин

Цатурянц А. Б., Шабанов С. Ф. К вопросу о конвекции в скважинах в связи с геотермическими исследованиями, № 9, стр. 51.

Разработка рудных месторождений

Мамедов Ш. Н., Нуруллаев Т. Основное дифференциальное уравнение взываемой среды и следствия, вытекающие из его решения, № 10, стр. 33.

Добыча нефти

Куидин С. А., Курбанов А. К., Корниенко Г. Л., Нагиев А. М. Экспериментальное изучение периодической эксплуатации наклонного пласта на гравитационно-газовом режиме, № 12, стр. 3.

Абасов М. Т., Кондрушкин Ю. М., Листенгарден Б. М., Султанов Ч. А. Влияние плотности сетки скважин на конечный охват заводнением нефтенасыщенного объема залежей, № 8, стр. 46.

Бурение

Гурбанов С. Г., Расизаде Я. М. Определение средней температуры промывочной жидкости в системе «колонна труб — кольцевое пространство» бурящейся скважины, № 3, стр. 3.

Кадымова К. С., Мамедов Н. Я. Исследование сил трения в подземной части глубиннонасосной установки в глубоких и сверхглубоких скважинах, № 3, стр. 54.

Геология

Абдуллаев Р. Н., Исмет А. Р., Багирбекова О. Д. Абсолютный возраст участка-кызылканских гранитоидов, № 3, стр. 42.

Алиев М. М., Алиев О. Б., Алиулла X. К стратиграфии меловых отложений верховьев р. Тутхун (Малый Кавказ), № 12, стр. 37.

Алиев М. М., Алиев Р. А., Филина Н. И. Спорово-пыльцевые комплексы и палеоклиматические условия сеномана и маастрихта юго-востока Большого Кавказа, № 2, стр. № 39.

Аллахвердиев Р. А. О погребенной шорбитдагской олигоцен-миоценовой структуре (Центральный Кобыстан), № 3, стр. 46.

Аллахвердиев Р. А. О «щебневидной» фации продуктивной толщи (северный борт Джейранкечмезской депрессии), № 11, стр. 34.

Аскеров Ф. Г. Верхнемеловые и палеогеновые цеолиты Казахского прогиба, № 12, стр. 48.

Бекташи С. А., Панахи К. А. Особенности геохимической специализации титано-магнетитовых песчаников северо-восточного склона Малого Кавказа, № 11, стр. 29.

Везирова А. Д., Оруджева Д. С. Об условиях формирования «висячих» залежей нефти и газа, № 10, стр. 38.

Гаджиев Р. А. Еще о древних оползнях бакинского амфитеатра, № 5, стр. 49.

Мамедов Т. М. Типы кальцитодержащих гнезд и погребов месторождения исландского шпата, связанного с основными сантонскими эфузивами северного Карабаха, № 10, стр. 43.

Мчедлишвили П. А., Баширов О. М. О находке остатков цветка из ашхеронских отложений Азербайджана, № 1, стр. 29.

Насибов Т. Н. О значении полосы сочленения кельбаджарской наложенной мульды с другими структурами Севано-Акеринской зоны в локализации ртутного оруденения (Малый Кавказ), № 10, стр. 50.

Симхаев В. З. Гидрогеологические условия нефтеносности нижнемеловых отложений Северного Дагестана, № 2, стр. 44.

Сулейманов С. М., Махмудов А. И. Типы и состав кобальтовых руд Южно-Дашкесанского месторождения, № 8, стр. 41.

Тер-Карапетянц Ж. Н. О нейтральном или гелиотермическом слое Ашхеронского полуострова, № 2, стр. 48.

Геология нефти

Алиев А. Д. К вопросу поисков залежей нефти и газа в подстилающих продуктивную толщу отложениях антиклинальной зоны б. Дарвина-Гюргианские моря, № 4, стр. 51.

Алиев А. Д., Баженов Ю. П. К вопросу о тектонических соотношениях сложных зон Аджиноура, междуречья Курьи и Иори и Восточной Грузии, № 8, стр. 50.

Алифов Г. К. Особенности антиклинальных структур Талаби-Кызыл-Бурунской тектонической зоны Прикаспийско-Кубинской области, № 8, стр. 58.

- Байрамов Э. М. Влияние нефтенасыщенности горных пород на коэффициент теплопроводности при высоких давлениях и температурах, № 5, стр. 45.
 Дадашев А. М. О нефтегазоносной площади Котурдаг, № 5, стр. 26.
 Исмайлова К. А., Халилов Н. Ю., Аббасов И. А. К тектонике северной части Бакинского архипелага, № 7, стр. 39.
 Мамедов Ш. Н., Белов И. С. Влияние угла падения залежи на нефтеотдачу при гравитационном режиме, № 11, стр. 39.
 Саркисов А. А. Влияние температуры на отмыкание нефти с поверхности карбонатных пород, № 6, стр. 42.
 Султанов Б. И. Различные фазы конденсационных вод и их значение при подсчете запасов газоконденсатных залежей, № 8, стр. 55.

Инженерная геология

- Исмайлова Т. А. К вопросу типизации оползней Апшеронского полуострова, № 4, стр. 56.

Физика пласта

- Саркисов А. А., Бабалян Г. А., Таиров Н. Д. Влияние температуры на отмыкание нефти с поверхности минералов, № 3, стр. 50.

Стратиграфия

- Алиев Р. А. Биостратиграфическое расчленение верхнего мела Юго-Восточного Кавказа, № 9, стр. 47.
 Алиев Х. Ш., Порошина Л. А. К стратиграфии нижнемеловых отложений долины реки Атакай, № 3, стр. 37.
 Ализаде К. А., Касумова Г. М., Расулов Г. Л. Сообщение о составе флоры верхнеплиоценовой эпохи Азербайджана, № 12, стр. 30.
 Алиюлла Х., Алиев О. Б. О присутствии датских и нижнепалеоценовых отложений в верхнем течении р. Тертер (Малый Кавказ), № 11, стр. 46.
 Насиров А. Я. О присутствии аптских отложений в Гадрутском и Джебраильском районах Азербайджана (юго-восточная часть Малого Кавказа), № 7, стр. 36.
 Халафова Р. А. Новые виды иноцерамов из сенонских отложений Дагестана, № 2, стр. 52.

Петрология

- Мамедов М. М. К структуре рудного поля центральной части Далидагского интрузива (Султангейдар-Далидагская зона разлома), № 1, стр. 33.

Петрография

- Катина З. А. Изменение минеральных составных частей керамической массы при нагревании, № 5, стр. 30.
 Сейдов А. Г., Иманов И. М. О минералогическом-петрографических горизонтах акеринской свиты (Малый Кавказ), № 7, стр. 30.

Палеонтология

- Гаджиев Т. М. Новая фауна дидакти из древнекаспийских террас (М. Харми, Ширван), № 5, стр. 35.
 Джафарова Ж. Д. Камбалы в отложениях майкопской серии Апшеронского полуострова, № 5, стр. 73.
 Кабакова Р. И. О новом роде семейства *Micromelanidae* в акчагыльских слоях Азербайджана, № 9, стр. 66.
 Мамедзаде Р. Н. О диапазоне вертикального распространения верхнемеловых брюхоногих Малого Кавказа, № 9, стр. 69.
 Мовлазаде Э. З. Пресноводные элементы сарматской фауны г. Молладаг между речьями Куры и Иори (Западный Азербайджан), № 1, стр. 39.
 Порошина Л. А. О новом роде *Epistominitella* из нижнемеловых отложений северо-восточного Азербайджана, № 9, стр. 62.

Геофизика

- Ганбаров Ю. Г., Керимов Ю. М., Ахундова С. В. Об использовании отраженных волн для изучения глубинного строения земной коры в Курильской впадине, № 1, стр. 23.

- Кулиев Ф. Т. Дашибесанская землетрясение 5 февраля 1964 года, № 1, стр. 27.
 Рагимов Ш. С., Кулиев Ф. Т., Исламов К. Ш. Агдамское землетрясение 18 февраля 1963 г., № 3, стр. 34.
 Рагимов Ш. С., Кулиев Ф. Т., Исламов К. Ш. Худатское землетрясение 10 мая 1963 года, № 6, стр. 40.

Гидрогеология

- Гаджиев Р. А. Аномальные явления в гидрорежимном районе бакинского амфитеатра, № 12, стр. 45.
 Сулейманов Д. М., Листенгарден В. А. О химическом составе атмосферных осадков Апшеронского полуострова, № 12, стр. 42.

Минералогия

- Зульфугарлы Н. Д., Эфендиев Г. Х., Логинова Л. А. Новые минералы медно-мышьякового месторождения, № 9, стр. 29.

Литология

- Алиев А. Г., Исраилбеков И. А., Листенгарден В. А., Шахсултанов А. С. О геолого-литологическом строении поверхностной толщи пород восточной части Апшеронского полуострова, № 7, стр. 44.

- Алиев А. Г., Калантаров А. И., Абдуллаев А. А. Влияние литологического состава пород-коллекторов на фазовую проницаемость, № 1, стр. 36.

- Мехтиев Ш. Ф., Сулейманов Д. М., Мкртычян Э. А. Органическое вещество в современных донных осадках Мингечаурского водохранилища № 12, стр. 33.

- Сулейманов Д. М. К вопросу распределения и генезиса глинистых минералов в донных осадках Мингечаурского водохранилища, № 4, стр. 43.

- Султанов А. Д., Султанов Д. А. Зависимость физико-механических свойств глинистых пород апшеронского возраста от их литологического состава (район Джалафабад), № 5, стр. 40.

Термодинамика

- Цатурия А. Б., Рачинский М. З. К вопросу о причинах опреснения пластовых вод газоконденсатных месторождений, № 2, стр. 33.

Гидродинамика

- Джалилов К. Н. О закономерности обводнения скважин с учетом неоднородности пласта и различия вязкостей нефти и воды, № 6, стр. 8.

Подземная гидродинамика

- Щелкачев В. Н., Гаджиев Ш. А., Влюшин В. Е. Об одном классе функций, характеризующих нестационарное поле при включении линейных круговых стоков и источников, № 7, стр. 26.

Геотермия

- Горин В. А., Алиев С. А., Алиев А. А. Геотермическая активность как показатель вертикальной миграции глубинных углеводородов западного борта Южно-Каспийской впадины, № 8, стр. 63.

Теплопроводность

- Баширов М. Я. Экспериментальные исследования теплопроводности двойных и тройных жидких смесей в зависимости от концентраций и температуры, № 2, стр. 20.

Полезные ископаемые

- Сейдов А. Г., Алиев И. Д., Хеиров М. Б. О присутствии алюнита в каолиновых месторождениях Азербайджана, № 4, стр. 46.

География

- Рейфман Р. Л. О соотношении прямой, рассеянной и суммарной радиации над Южным Каспием, № 6, стр. 45.

Палеоботаника

Мамедов А. Б. Материалы к уточнению объема рода *Theodossia* Nalivkin, 1925, № 8, стр. 72.

Цитология растений

Агаев Ю. М., Рахманова Р. А. К исследованию амитоза и двуядерных клеток у хлопчатника, подвергнутого воздействию ионизирующих излучений и электрических импульсов, № 11, стр. 61.

Агаев Ю. М., Федорова Е. Е. О двуядерных клетках и амитозе у диплоидной и полиплоидной шелковицы, № 6, стр. 73.

Почвоведение

Абдуев М. Р. и Нагиев П. Ю. Изменение солевого режима почв в условиях оросительной системы им. Орджоникидзе Мильской степи, № 7, стр. 66.

Алиев Г. А., Шарифова Р. Г. Литогенные почвы в восточной оконечности Главного Кавказского хребта, № 12, стр. 64.

Герайзаде А. П. О зависимости прироста растительной массы от почвенно-климатических условий, № 2, стр. 57.

Мамедов Р. Г. Значение структуры и сложения почв Азербайджана в практике земледелия, № 1, стр. 43.

Мамедов Р. Г. О магниевой солонцеватости почв Азербайджана, № 3, стр. 59.

Биология почв

Бабабекова Л. А. Характеристика фауны основных типов почв Ленкоранской субтропической зоны, № 6, стр. 63.

Агрономия

Агаев Н. А. Содержание подвижной меди в основных типах почв Закатальского района, № 6, стр. 58.

Александров Р. А., Эфендиева Н. Г. Экстракционно-фотометрический метод определения малых количеств нафтеновых кислот, № 1, стр. 60.

Ахундов А. К. Содержание клетчатки в чайном листе в зависимости от условий минерального питания № 5, стр. 53.

Ахундов Ф. Г. Превращение фосфора в болотной почве, занятой под культуру риса, № 4, стр. 69.

Гвозденко Т. М. Изучение влияния нефтяного ростового вещества (НРВ) на урожай и качество томатов в условиях Карабахской низменности, № 11, стр. 55.

Мусабекова Э. С., Вердиев К. З. Сравнительная усвояемость хлопчатником различных фосфатов, № 10, стр. 53.

Расулов Д. Потребление питательных элементов картофелем по фазам развития, № 2, стр. 62.

Тагиев С. Б. Влияние НРВ на развитие и урожайность винограда сорта Баян Ширей, № 7, стр. 49.

Биохимия

Ахундов А. К. Влияние калия на качество зеленого чайного листа, № 4, стр. 73.

Гурвич Н. Л. и Непаридзе Н. И. Определение эфирного масла в малых навесках кориандра нефелометрированием, № 7, стр. 54.

Кулиев А. А. Изменение содержания сахаров и сухих веществ у зимних сортов яблок в зависимости от сроков сбора и температуры хранения, № 10, стр. 57.

Рзакулиева Д. М., Гасанов А. С. О характере изменения содержания аскорбиновой кислоты в органах и тканях при экспериментальном атеросклерозе, № 3, стр. 90.

Халилов К. Б., Юсифов Н. М. Изменение свободных аминокислот в сыворотке крови растущих буйволов, № 9, стр. 81.

Биофизика

Исмаилова С. Х., Козлов Ю. П., Гасанов Р. А. Кинетические характеристики противоопухолевой активности мономеров в культуре растительной ткани, № 7, стр. 74.

Радиобиология

Гусейнов С. Г. Влияние предпосевного облучения семян хлопчатника на фотосинтез и дыхание, № 3, стр. 71.

Гидробиология

Бадалов Ф. Г. Влияние слоя температурного скачка на распределение зоопланктона в условиях Каспийского моря, № 9, стр. 78.

Фараджев Г. Р. Новые виды остракод западного побережья Среднего и Южного Каспия, № 7, стр. 70.

Микробиология

Мусаев М. А., Абушев Ф. А., Юдицкая С. Х. Чувствительность песчанок (Виноградова, персидских и малоазийских) и полевок обыкновенных к возбудителю сибирской язвы, № 4, стр. 66.

Худавердиев Т. П. О месте выплода *Leptoconops (Holoconops) Mediteraneus* кровососущих мокрецов в условиях Нахичеванской АССР, № 3, стр. 82.

Растениеводство

Бехбутов А. А. Кормоводство — важная отрасль науки, № 3, стр. 64.

Лесоводство

Мустафаев Х. М. Влияние степени смытости почв и плотности леса на естественное возобновление, № 1, стр. 52.

Сафаров И. С. становление лесной растительности на острове Сара, № 1, стр. 68.

Систематика растений

Аскерова Р. К. Род *Carpoceras* Boiss. на Кавказе, № 5, стр. 62.

Халилов Э. Х. Новый вид клевера из Талыша (*T. Issaejevii chal*) № 11, стр. 66.

Эфендиев М. Р. Новые данные о распространении некоторых растений в Азербайджане, № 3, стр. 69.

Физиология растений

Ахундова Э. М. Содержание азота и рибонуклеиновой кислоты в листьях перспективных сортов шелковицы в связи с их месторасположением на побеге, № 8, стр. 68.

Кулиев Ш., Гасанова К., Мамедова З. Влияние йодсодержащих полимикроудобрений на динамику сахаров в растениях, № 12, стр. 55.

Сулейманов В. Г., Назарова Ш. И. Влияние стимуляторов роста на нуклеиновый и азотистый обмен растений, № 5, стр. 69.

Таги-заде А. Х. и Алиева З. Н. Значение режима питания на синтез витаминов в листьях и репродуктивных органах хлопчатника, № 1, стр. 63.

Гельминтология

Мамедов А. М. Гельминтофауна ягнят и взрослых овец в Западном Азербайджане, № 12, стр. 59.

Акарология

Кулиев К. А. Новые представители панцирных клещей из Азербайджана, № 3, стр. 75.

Кулиев К. А. Представители родов *Ctenobelba* и *Urubambates* (*Oribatell*) № 5, стр. 57.

Кулиев К. А. Новые виды из семейства *Oppidae* Grapt., № 12, стр. 55.

Физиология

Караев А. И. и Ханукаев Э. М. Влияние некоторых препаратов партулака городского (*Portulaca oleracea L.*) на толерантность организма к углеводам, № 2, стр. 65.

Сейд-заде Э. М. О глюкагенообразовании у развивающегося куриного эмбриона, № 10, стр. 62.

Физиология животных

Гафулов М. С. Влияние фолликулина на надпочечники, половые железы и половые органы у крыс-самцов, № 6, стр. 69.

Медицина

Абдуллаев М. Д. Интенсивность поглощения радиоактивных изотопов фосфора и кальция костной тканью при переломах, осложненных острой лучевой болезнью, № 11, стр. 51.

Аслан-заде С. А. Функциональное состояние центральной нервной системы при коронарной недостаточности, № 8, стр. 22.

Майлова-Касумова А. Д. Значение витамина С в регуляции симпатико-адреналовой системы у беременных, страдающих раним токсикозом беременности, № 1, стр. 72.

Удинцов Е. И. О состоянии глаз и зрительной функции у детей разных возрастных групп в городе и в сельской местности, № 3, стр. 84.

Эфендиев А. М., Алиев А. М., Гасанов А. С. Новая реакция на фосфорилидоксаль и ее спектрофотометрическое изучение, № 6, стр. 49.

Физиотерапия

Филиппов Ю. Н., Гусейнов Д. М., Эфендиева Ф. М., Будагян А. Х., Журавлев А. И. Проникновение нафтеновых кислот, содержащихся в лечебных грязях, через кожу, № 6, стр. 53.

Ветеринария

Алиев С. Ю. Эпизоотология дикроцелиоза животных в Азербайджанской ССР, № 11, стр. 58.

Ахмедов А. М., Мурадов М. М. Влияние поливитаминно-антибиотического препарата витабиомицина на белки и белковые фракции сыворотки крови телят при паратифе, № 1, стр. 76.

Ганиев М. К., Кафаров М. Ш. Метаболизм карбамида в поджелудках животных, № 4, стр. 61.

Генетика

Абдуллаев И. К., Тагиев С. Б. Изучение влияния гиббереллина на рост, развитие и урожай винограда сорта кишмиши розовый, № 1, стр. 48.

Джафаров Н. А. Естественная изменчивость — мутация у шелковицы, № 9, стр. 85.

Кулиев Ш. Б. Двухгодичная гибридизация между некоторыми дикими культурными видами пшениц Азербайджана, № 7, стр. 62.

Муфтазаде С. Г. Новые перспективные сорта ячменя Азербайджана, № 10, стр. 66.

Оруджалиев Н. Г. К биологии белокачанной капусты, № 10, стр. 71.

Селекция

Абдуллаев И. К., Мусаев А. И. Ценный десертный сорт крупноплодной земляники «Бакы», № 5, стр. 65.

Гусейнов С. Б. Динамика роста корнеплода свеклы в условиях Кедабекского района, № 1, стр. 56.

Технология плодов

Мехтиева Т. Д. Изучение биохимических свойств некоторых сортов яблок и яблочных соков в связи со степенью зрелости плодов, № 7, стр. 58.

История нефтяного дела

Детин Г. Д., Малинский А. А. О мастерах нефти прошлого века, № 3, стр. 100.

Детин Г. Д., Малинский А. А. О первой в мире нефтяной скважине, пробуренной в Азербайджане, № 5, стр. 84.

История

Алиев Ф. М. О состоянии нефтедобычи на Апшероне в 20-е годы XVIII столетия, № 1, стр. 79.

Алиева Л. М. Численность рабочих бакинской текстильной фабрики Тагиева (1900—1916 гг.), № 4, стр. 78.

Асланов Г. М., Атакишиева М. И., Умаев А. А. Производство веревок на Апшероне (XIX — начало XX вв.), № 12, стр. 71.

Велиев Т. Т. О положении шелковой промышленности и характере производства в Нахичеванском уезде в начале XX века, № 2, стр. 71.

Мамедов С. А. О выступлении карапачачинцев, № 3, стр. 95.

Садыхзаде Р. М. К вопросу об участии английского капитала в нефтяном монополистическом объединении «Нобмазут», № 5, стр. 77.

Таирзаде Н. А. Ага бек Едигаров (1823—1892) — первый азербайджанец — воспитанник Петербургского университета, № 11, стр. 69.

Тарвердиев Р. Б. О крепости Джаванширкала на территории Исмаиллинского района Азербайджанской ССР, № 4, стр. 82.

Археология

Геюшев Рашид. Каменные идолы нового типа, № 6, стр. 77.

Исмайлов Г. С. Новые данные о развитии крупного рогатого скота в древнем Азербайджане, № 11, стр. 75.

Литературоведение

Сейдзаде А. А. О тексте сказки «Ашик Қарыб», записанной М. Ю. Лермонтовым, № 7, стр. 88.

Экономика

Абдулкасимзаде Г. Я. Об обеспечении оборудованием бакинских электростанций до революции, № 1, стр. 84.

Востоковедение

Гаджиев М. И. Где родился Хагани Ширвани? № 5, стр. 81.

Керимзаде Сима. Неизвестный резчик уstad Сейид Таха и каллиграф Назири, № 4, стр. 86.

Мамедзаде Гурбанали. Число вопросов, отраженных в «Гюльшан-Раз», № 7, стр. 83.

Философия

Рзаев А. К., М. Қазем-бек и американское философское общество, № 2, стр. 69.

Искусство

Казиев А. Ю. Об орнаменталистике художественной рукописи, № 7, стр. 78.

Этнография

Джавадов Г. Д. О терминах «джут» и «хыш», № 6, стр. 80.

Керимов Э. А. Из истории этнографического картографирования Азербайджана, № 8, стр. 81.

Раджабов Г. А. Об институте взаимопомощи «эзиялыг», № 9, стр. 90.

Архитектура

Духовный В. Некоторые вопросы размещения и классификации мотелей, № 10, стр. 76.

Мамедзаде К. М. О средневековом культовом памятнике в селе Сагиан Шемахинского района, № 12, стр. 77.

История литературы

Кулиев Б. К вопросу о кончине Захира Фарийаби, № 8, стр. 77.

Сейдзаде А. А. Некоторые новые данные о Бакиханове, № 4, стр. 90.

МУНДЭРИЧАТ

Нефт иштесалы

С. А. Кундин, Э. Г. Гурбанов, Г. Л. Корниенко, Э. М. Нагиев. Майлайын гравитасия — газ режиминде дөврү истишмарынын тәч-
рубә васитесида өйткілмәсі 3

Ријазијат

Э. С. Чәфәров, Л. Г. Лабсекер. Бир синиф интеграл операторларла
абстракт функцияларының мүнгэзэм жаһылашмасының асимптотик шәкли 9
Н. И. Сәфәров, А. И. Гүсейнова. Фырланма чысмий иккикомпонентли
маје илә јујұмасында сәрбәд лайы 16

Кимж

Н. Б. Шахтахтиński, Ш. П. Бајрамов, Н. А. Асланов. Алунит-
дән тәләви металларының илә чыхарылмасы 22
С. Н. Һачыев. Елемент үзүн бирләшмәләриның жаңдырылмасы кало-
риметриясына даир 27

Стратиграфия

Г. Э. Элизадә, К. М. Гасымова, Н. Л. Рәсүлов. Азәрбајчаның Уст
Плиосен дөврүнүң битки тәркиби һағында хәбер 30

Литолокија

Ш. Ф. Мендиев, Д. М. Сүлејманов, Е. А. Мкртычян. Мин-
кәчевир су нөвзәсінин мұасир дәп чекүнтуләриндә үзүн галылар 33

Кеолокија

М. М. Элиев, О. Б. Элиев, Х. Элиулла. Тутгунчајының жуҳары
ахынындакы Тәбашир чекүнтуләринин стратиграфиясына даир 37

Нидрокеолокија

Д. М. Сүлејманов, В. А. Листенгарден. Абшерон жарымадасында
атмосфер чекүнтуләринин кимжән тәркиби һағында 42
Р. А. Һачыев. Бакы амфитеатры нидорежим рајонунда аномал һадисә 45

Кеолокија

Ф. Әскәров. Газах синклиниоринин Уст Тәбашир вә Палеоцен
вулканик сүхурларының сеолитләриңін даир 48

Акаролокија

Г. Э. Гулиев. *Oppidae Grandjean*, 1954 айласиндер олак жени нөвләр 55

Бельмитолокија

А. М. Мәммәдов. Азәрбајчаның Гәрб зонасында гузуларын вә јашлы
гојуиларын, бельмитфаунасы 59

Торпагшұнаслығ

Н. Э. Элиев, Р. Н. Шәрифов. Баш Гағаз силсиленин шәрг гур-
тарағында литокен торпаглар 64

Битки физиолокијасы

Ш. М. Гулиев, К. Һәсәнова, З. Мәммәдова. Жод тәркибли поли-
микроқүбрәләриңін биткіләрдә шәкәрләриңін динамикасына тоғыры 67

Тарих

Г. М. Асланов, М. И. Атакишиева, А. А. Умаев. Абшеронда
кәндир иштесалы (XIX—XX әсрдің әввәлләре) 71

Архитектура

К. М. Мәммәдзәдә. Шамахы рајонунун Сагијам кәндидәкі орта әср
дүни айда һағында 77

СОДЕРЖАНИЕ

Добыча нефти

С. А. Кундин, А. К. Курбанов, Г. Л. Корниенко, А. М. Нагиев. Экспериментальное изучение периодической эксплуатации наклонного пласта на гравитационно-газовом режиме 3

Математика

А. С. Джәфаров, Л. Г. Лабсекер. Асимптотический вид равномерной аппроксимации абстрактных функций одним семейством линейных интегральных операторов 9

Г. Г. Сафаров, А. И. Гүсейнова. Пограничный слой на теле вращения при обтекании двухкомпонентной жидкостью 16

Химия

Г. Б. Шахтахтинский, Ш. П. Бајрамов, Г. А. Асланов. Из-
влекаемость щелочных металлов из алунитов путем водной вытяжки 22

С. Н. Гаджиев. К калориметрии горения элементоорганических соединений 27

Стратиграфия

К. А. Ализаде, Г. М. Қасумова, Г. Л. Расулов. Сообщение о со-
ставе флоры верхнеплиоценовой эпохи Азербайджана 30

Литология

Ш. Ф. Мехтиев, Д. М. Сүлејманов, Э. А. Мкртычян. Органи-
ческое вещество в современных донных осадках Мингечаурского водохра-
нилища 33

Геология

М. М. Алиев, О. Б. Алиев, Х. Алиулла. К стратиграфии меловых
отложений верховьев р. Тутхун (Малый Кавказ) 37

Гидрогеология

Д. М. Сүлејманов, В. А. Листенгарден. О химическом составе
атмосферных осадков Апшеронского полуострова 42
Р. А. Гаджиев. Аномальные явления в гидрорежимном районе Бакин-
ского амфитеатра 45

Геология

Ф. Г. Аскеров. Верхнемеловые и палеогеновые цеолиты Казахского про-
гиба 48

Акарология

К. А. Кулев. Новые виды из семейства *Oppidae Grandjean* 55

Гельминтология

А. М. Мамедов. Гельминтофауна ягнят и взрослых овец в Западном
Азербайджане 59

Почвоведение

Г. А. Алиев, Р. Г. Шарифова. Литогенные почвы в восточной окон-
ечности Главного Кавказского хребта 64

Физиология растений

Ш. Кулев, К. Гасанова, З. Мамедова. Влияние подсодержа-
щих полимикроудобрений на динамику сахаров в растениях 67

История

Г. М. Асланов, М. И. Атакишиева, А. А. Умаев. Производство
веревок на Апшероне (XIX — начало XX вв.) 71

Архитектура

К. М. Мамедзаде. О средневековом культовом памятнике в селе Са-
гиян Шемахинского района 77

Сдано в набор 20/XII-66 г. Подписано к печати 10/III-67 г. Формат бумаги
70×108. Бум. лист. 3,25. Печ. лист. 8,91. Уч.-изд. лист. 8,41, ФГ 10060.
Заказ 197. Тираж 840. Цена 40 коп.

Типография «Наука» Комитета по печати при Совете Министров
Азербайджанской ССР, Баку, Рабочий проспект, 96.